

Fouilles et investigations à Ereruyk, vol. 2

Patrick Donabédian, Damien Martinez, Paul Bailet, Christophe Jorda, Fabien Krähenbühl, Georges Marchand

► **To cite this version:**

Patrick Donabédian, Damien Martinez, Paul Bailet, Christophe Jorda, Fabien Krähenbühl, et al.. Fouilles et investigations à Ereruyk, vol. 2: Mission archéologique franco-arménienne du LA3M. Rapport de la campagne de 2013. Volume 2: Etude anthropologique des sépultures. 2013. halshs-00906307

HAL Id: halshs-00906307

<https://halshs.archives-ouvertes.fr/halshs-00906307>

Submitted on 19 Nov 2013

HAL is a multi-disciplinary open access archive for the deposit and dissemination of scientific research documents, whether they are published or not. The documents may come from teaching and research institutions in France or abroad, or from public or private research centers.

L'archive ouverte pluridisciplinaire **HAL**, est destinée au dépôt et à la diffusion de documents scientifiques de niveau recherche, publiés ou non, émanant des établissements d'enseignement et de recherche français ou étrangers, des laboratoires publics ou privés.

ՀԱՅՄԻ հայ-ֆրանսիական հնագիտական արշավախումբը Երերույքում
ՊԵՂՈՒՄՆԵՐ ԵՒ ՀԵՏԱԶՈՏՈՒԹՅՈՒՆՆԵՐ ԵՐԵՐՈՒՅՔՈՒՄ
2013 թ. գիտարշավի հաշվետվություն

(2013 թ. օգոստոսի 26 – սեպտեմբերի 20)



**FOUILLES ET INVESTIGATIONS
À ERERUYK**

MISSION ARCHÉOLOGIQUE FRANCO-ARMÉNIENNE DU LA3M

RAPPORT DE LA CAMPAGNE DE 2013

Vol. 2: Étude anthropologique des sépultures



PAR:
PAUL BAILET

MISSION ERERUYK

Rapport de fouilles et d'investigations

Campagne 2013

ERERUYK

SITE PALÉOCHRÉTIEN ET MÉDIEVAL

(Chirak, Arménie)

Vol. 2

Étude anthropologique des sépultures

Par

Paul Bailet

Laboratoire d'Archéologie Médiévale et Moderne en Méditerranée (LA3M), UMR 7298

CNRS / Aix-Marseille Université

Ministère des Affaires Etrangères et Européennes

Illustration de couverture :

-en haut : l'aire funéraire située au sud de la basilique d'Ereruyk, depuis le nord-est (cliché : D. Martinez, LA3M, 2013).

-en bas : sépultures mises au jour au sud de la basilique (cliché : D. Martinez, LA3M, 2013.)

SONDAGE 3 A

SITE : ERERUYK	Date : 03/09/13	Age : Entre 4,75 et 7,8 ans	Secteur : Sond 3A S N° US : 1168
Sép. primaire <input type="checkbox"/>	Sign. externe <input type="checkbox"/>	Mobilier :	
Sép. second. <input type="checkbox"/>	Str. interne <input type="checkbox"/>		
Sép. perturbée <input checked="" type="checkbox"/>	Mobilier <input type="checkbox"/>		

<p>LEGENDE DES DIAGRAMMES DENTAIRES</p> <ul style="list-style-type: none"> <input style="border: 1px solid black; width: 15px; height: 15px; display: inline-block; vertical-align: middle;" type="checkbox"/> Dent présente au niveau occlusal <input style="border: 1px solid black; width: 15px; height: 15px; display: inline-block; vertical-align: middle;" type="checkbox"/> Dent présente, en éruption <input style="border: 1px solid black; width: 15px; height: 15px; display: inline-block; vertical-align: middle;" type="checkbox"/> Dent présente mais non sortie <input checked="" style="border: 1px solid black; width: 15px; height: 15px; display: inline-block; vertical-align: middle;" type="checkbox"/> Dent isolée et identifiée avec certitude <input style="border: 1px solid black; width: 15px; height: 15px; display: inline-block; vertical-align: middle;" type="checkbox"/> Elément isolé et identifié en cours de calcification <input style="border: 1px solid black; width: 15px; height: 15px; display: inline-block; vertical-align: middle;" type="checkbox"/> Dent isolée dont l'identification n'est que supposée <input checked="" style="border: 1px solid black; width: 15px; height: 15px; display: inline-block; vertical-align: middle;" type="checkbox"/> Agénésie dentaire <input checked="" style="border: 1px solid black; width: 15px; height: 15px; display: inline-block; vertical-align: middle;" type="checkbox"/> Dent perdue ante mortem (Résorption alvéolaire) 	
---	--

	Cervicales	Thoraciques	Lombaires
	1	1	1
	2	2	2
	3	3	3
	4	4	4
	5	5	5
	6	6	6
	7	7	7
		8	
		9	
		10	
		11	
		12	

Commentaire :

<input checked="" type="checkbox"/> Région présente et identifiée avec certitude
<input type="checkbox"/> Région fragmentée
<input type="checkbox"/> Situation exacte inconnue

UMR 5009 CNRS d'après T. S. Goussard et C. Meilijohn, modifié par F. Goussard, H. Dubeyet, M. Guillou, info.mediation@m.courtesy.edu (A.R.N.)

▣ SOND 3A S - SEP 55 us 1168 :

Description anthropologique :

Age au décès : immature entre 4,75 et 7,8 ans.

Stade dentaire (cf. fig. 1&2) :

Les canines supérieures Dr et G déciduales (53-63) croissance terminée et apex non détruit par la canine définitive.

Les canines inférieures G et Dr déciduales (73-83) croissance terminée et apex non détruit par la canine définitive.

Les premières et deuxièmes molaires supérieures déciduales Dr et G (54-55-64-65) croissance terminée.

Les premières et deuxièmes molaires inférieures déciduales G et Dr (74-75-84-85) croissance terminée.

Les premières molaires supérieures Dr et G définitives (16-26) croissance terminée.

Les premières molaires inférieures G et Dr définitives (36-46) croissance terminée.

Les deuxièmes molaires supérieures Dr et G définitive (17-27) encore incluses.

Les deuxièmes molaires inférieures G et Dr définitive (37-47) encore incluses.



Fig. 1&2 : stade de développement dentaire sur le maxillaire et la mandibule

Sexe : masculin possible

Courbe aile iliaque prononcée - Grande échancrure relativement fermée

Type de sépulture : secondaire perturbée

Altitude supérieure maximale :

Altitude supérieure minimale :

Position du squelette :

Inconnue : sépulture perturbée par la mise en place de la sépulture 61 dont les ossements ventilés sur les dalles de l'US 1169.

- Mensurations de l'os coxal (cf. fig. 3) : masculin possible (courbe aile iliaque sinueuse - grande échancrure relativement fermée légèrement supérieure à 90 °)

A-B (b2)	A-C	B-C	H-C (b1)	b3	b4
23.7 mm	15.1 mm	9.8 mm	7.8 mm	92 mm	79.2 mm

Branche ischio-pubienne du coxal Dr fusionnée et branche pubienne avec acétabulum non fusionnée



Fig. 3 : mensurations sur l'os coxal Dr

SITE : Ereruyk 13	Date : 06/09/13	Adulte jeune Sexe masculin	Secteur : SOND 3A
			N° Tombe : 61
			N° US : 1303

Sép. primaire <input checked="" type="checkbox"/>	Esp. vide <input checked="" type="checkbox"/>	Sign. externe <input type="checkbox"/>	Mobilier :
Sép. second. <input type="checkbox"/>	Espace colmaté <input type="checkbox"/>	Str. interne <input checked="" type="checkbox"/>	
Sép. perturbée <input type="checkbox"/>	Esp. ? <input type="checkbox"/>	mobilier <input type="checkbox"/>	

LEGENDE DES DIAGRAMMES DENTAIRES

- I Dent présente au niveau occlusal
- E Dent présente, en éruption
- N Dent présente mais non sortie
- L Dent isolée et identifiée avec certitude
- ? Dent isolée dont l'identification n'est que supposée
- X Agénésie dentaire
- X Dent perdue ante mortem (Résorption alvéolaire)

Commentaire :

- Région présente et identifiée avec certitude
- Région fragmentée
- Situation exacte inconnue
- Droite ou Gauche ?

UMR 5800 CHMIS d'après T.S. Coratandis - Westerman m et C. Avelle | ph.n. modifié par M. Guilbon, P. Sallier et F. Courte ud. Infirmier Bénin, M. Coutou mau (AFAN)

▣ SOND 3A - SEP 61 us 1303 :

Description anthropologique :

Age au décès : adulte jeune

Sexe : masculin

Stature estimée : 170 cm +/- 5 cm

Type de sépulture : individuelle primaire

Altitude supérieure maximale :

Altitude supérieure minimale :

Position du squelette :

- Décubitus dorsal.
- Tête à l'ouest, vue en face latérale G.
- Membres supérieurs symétriques :
 - membre supérieur G fléchi (adduction), coude proche du corps, angle à environ 90°, main en pronation posée sur le coude Dr (position moyenne).
 - membre supérieur Dr fléchi (abduction), coude légèrement détaché du corps, angle à environ 45°, main à la verticale de la partie médiane du grill costal G (position haute).
- Membres inférieurs symétriques en extension, genoux serrés, pieds joints probablement verticaux contre la paroi Est

Lésions pathologiques macroscopiques :

Possibilité d'un traumatisme crânien intéressant la partie postérieure du neurocrâne au niveau de la région du chignon occipital se présentant sous forme d'un enfoncement oblongue (2 mm x 9 mm) dont les rebords sont mous (cf. fig. 4).



Fig. 4 : traumatisme probable à l'arrière du neurocrâne

Présence de lignes d'hypoplasie dentaire (cf. fig. 5) au niveau des canines supérieures et inférieures G et Dr (13-23-33-43) et dépôt de tartre accompagné d'une parodontolyse nette.



Fig. 5 : pathologies dentaires

Présence d'une hernie de Schmorll sur le plateau supérieur de la première lombaire (cf. fig. 6).



Fig. 6 : hernie de Schmorll sur la L1

Description taphonomique :

- Phase initiale de décomposition : vide à colmatage progressif

- Le crâne : en position secondaire et visible en face latérale G est venu se poser sur l'épaule Dr. Connexions crâne-atlas déplacée, atlas-axis et temporo-mandibulaire lâches, mandibule ouverte.

- Le rachis : mis à part C1 et C2 (position secondaire) le bloc cervical C3-C7 est en connexion étroite et visible en face antérieure. La jonction T4-T5 est lâche induisant une torsion du bloc médian des thoraciques vers la gauche, les autres thoraciques sont en connexion étroite et l'ensemble des vertèbres sont visibles en face antérieure. Le bloc lombaire est en connexion étroite visible en face antérieure. Le sacrum a légèrement basculé vers l'arrière de sorte qu'il est visible en face antéro-supérieure.

- La ceinture scapulaire : un effet de compression (dalle nord ouest) apparaît au niveau de la ceinture scapulaire G de sorte que la scapula est visible en face latérale, la clavicule G est visible en face antérieure. La scapula Dr est visible en face antérieure et la jonction scapulo humérale est étroite, la clavicule Dr a subi une rotation axiale vers le bas (position secondaire) de sorte qu'elle est visible en face supérieure.

- Le thorax : montre des signes de compression (présence potentielle d'un linceul) notamment à Dr avec mise à plat partielle des côtes visibles en face antéro-supérieures pour la plupart. Les

connexions costo-vertébrales sont étroites. Le manubrium est resté en équilibre sur le bloc thoracique avec une connexion lâche pour la jonction manubrio-claviculaire G et étroite pour la Dr. Le sternum est légèrement déconnecté du manubrium et en équilibre sur les thoraciques.

- Le membre supérieur G : l'humérus en position secondaire a subi une rotation axiale vers la partie médiane du corps induite par la surélévation de l'épaule G, il est visible en face postérieure et l'articulation du coude est lâche. Les radius ulna (position secondaire) se croisent dans leur tiers distal et sont visibles en face postérieure. Les articulations carpienne et métacarpo-phalangienne sont disloquées, la main semblait être en pronation sur le coude Dr.

- Le membre supérieur Dr : humérus en position primaire est visible en face antérieure avec l'articulation du coude étroite. Les avant-bras sont parallèle en connexion stricte et visibles en face postérieure. Les articulations carpienne et métacarpo-phalangienne sont disloquées et se trouvent en dessous des tiers distaux des ulna et radius. Ce qui impliquerait une position semi-verticale de l'avant-bras à l'origine puis un détachement des connexions labiles avec effondrement de la main et dan un second temps détachement de l'articulation du coude impliquant un dépôt des avant-bras sur l'ensemble os de la main.

- La ceinture pelvienne : l'os coxal G est en connexion stricte avec le sacrum conséquence de la contrainte induite par la dalle nord ouest, il est visible en face antérieure. L'os coxal Dr est en connexion lâche avec le sacrum, il est visible en face interne. Les jonctions coxo-fémorales sont strictes.

- Le membre inférieur G : fémur en position primaire bloqué au niveau du grand trochanter par la dalle nord ouest, il est visible en face antérieure dans ses deux tiers proximaux et antéro-latérale dans son tiers distal, genou en connexion étroite mais chute de la patella entre les deux épiphyses distales des fémurs étant donné que le membre inférieur devait être légèrement sur le côté. Les tibia fibula sont en connexion lâche et visibles en face antérieure, ils ont du subir une très légère rotation axiale vers l'extérieur. Les articulations du tarse sont disloquées notamment pour le talus se trouvant au niveau des tiers distaux des tibia fibula, l'ensemble des articulations métatarso-phalangiennes sont déplacées. Contrairement au pied Dr, le G s'est effondré sur lui-même.

- Le membre inférieur Dr : fémur en position primaire visible en face antérieure, genou en connexion étroite et patella restée en équilibre. Les tibia fibula sont en connexion étroites et visibles en face antérieure. Le tarse postérieur est en connexion lâche visible en face médiale, le tarse antérieur est disloqué et effondré vers l'avant visible en face supérieure. Les métatarses visibles en face supérieure sont en connexion lâche. Il semble que le pied est basculé vers l'extérieur et venu se poser contre la dalle sud est dans un premier temps suite de la dislocation des connexions métatarso-phalangienne ayant entraîné le basculement du pied vers le bas de la sépulture.

Type d'architecture funéraire :

Inhumation abritant un individu adulte déposé à plat directement sur la roche mère. Le coffrage dont l'espace intérieur est sensiblement trapézoïdal, est formé pour le grand côté sud par trois dalles posées de champs et de deux dalles pour le côté nord. Le petit côté ouest est formé par un bloc taillé en incurvé et l'est par une dalle verticale. Le tout étant recouvert par quatre dalles horizontales. La présence d'un linceul n'est pas impossible étant donné l'effet de contrainte des membres inférieurs, l'effet de paroi visible au niveau des humérus est induit par les dalles des côtés nord et sud.

Orientation : E-O

Estimation de l'âge à partir de la surface sacro pelvienne :

Coxal G (cf. fig. 7) : adulte jeune probablement entre 20 et 29 ans avec probabilité à 89 %

- SSPI A : 1 (organisations de stries et d'ondulations transverses)
- SSPI B : 1 (absence de granulation sur la majorité de la surface articulaire)
- SSPI C : 1 (bord fin et au même niveau que la surface articulaire)
- SSPI D : 1 (aucun signe de remaniement osseux)

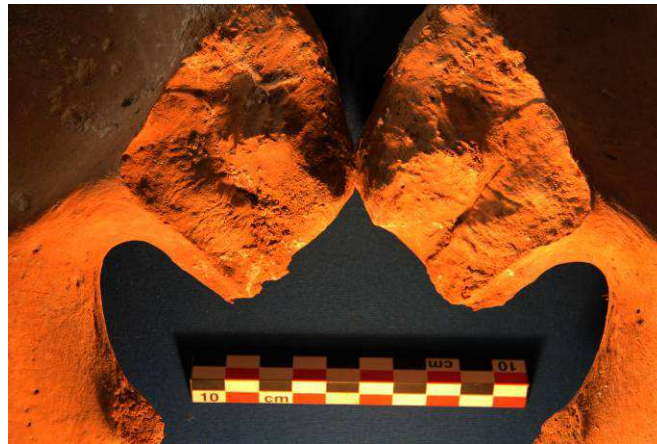


Fig. 7 : Etat de surface des régions sacro pelvienne

Détermination du sexe à partir de la DSP : masculin à 100 %

Pum	Spu	Dcox	limt	lsmm	Scox	Ss	Sa	Sis	Veac
69.1 mm	26.1 mm	227 mm	37.2 mm	114.6 mm	158.6 mm	70.2 mm	74.4 mm	97.3 mm	55.2 mm

Observations :

Présence d'une exostose au niveau des faces externe des 2 calcaneums.

Suture métopique en partie visible.

SITE : Ereruyk 13	Date : 13/09/13	Adulte 30 - 59 ans Sexe Masculin	Secteur : SOND 3A
			N° Tombe : 84
			N° US : 1359

Sép. primaire <input checked="" type="checkbox"/>	Esp. vide <input checked="" type="checkbox"/>	Sign. externe <input type="checkbox"/>	Mobilier :
Sép. second. <input type="checkbox"/>	Espace colmaté <input type="checkbox"/>	Str. interne <input type="checkbox"/>	
Sép. arasée <input type="checkbox"/>	Esp. ? <input type="checkbox"/>	mobilier <input type="checkbox"/>	

LEGENDE DES DIAGRAMMES DENTAIRES

- I Dent présente au niveau occlusal
- E Dent présente, en éruption
- N Dent présente mais non sortie
- L Dent isolée et identifiée avec certitude
- ? Dent isolée dont l'identification n'est que supposée
- X Agénésie dentaire
- X Dent perdue ante mortem (Résorption alvéolaire)

	Cervicales	Thoraciques	Lombaires

Commentaire :

UMR 5100 CNRS -Westermarknet -Westermarknet -Westermarknet C. Makeljohn, modifié par M. Guillou, P. Sallier et P. Courard, information M. Courbelleu (AFAN)

▣ SOND 3A - SEP 84 us 1339 :

Description anthropologique :

Age au décès : 30-59 ans

Sexe : masculin

Stature estimée : 161 cm +/- 5 cm

Type de sépulture : individuelle primaire

Altitude supérieure maximale :

Altitude supérieure minimale :

Position du squelette :

- Décubitus dorsal.
- Tête à l'ouest, d'après l'orientation générale du squelette.
- Membres supérieurs asymétriques :
 - membre supérieur G en extension (adduction), coude proche du corps, main en position probablement verticale contre le fémur G (position basse).
 - membre supérieur Dr fléchi (abduction), coude légèrement éloigné du corps, angle à environ 90°, main en pronation posée sur l'abdomen (position moyenne).
- Membres inférieurs symétriques en extension, genoux serrés, pieds joints probablement verticaux contre la paroi Est

Lésions pathologiques macroscopiques :

Enthésopathies au niveau des insertions des biceps sur les 2 radius, les tubérosités bicipitales sont hérissées de légers spicules en périphérie de la surface.

Présence d'une cavité d'ostéonécrose possible au niveau de l'épiphyse proximale du second métacarpien G (cf. fig. 8).



Fig. 8 : ostéonécrose possible sur le MTC 2 G

Enthésopathies au niveau des bords inférieurs des branches ischio-pubiennes des 2 os coxaux.

Présence de porosités bilatérales intéressants les toits des cavités cotyloïdes des 2 os coxaux (cf. fig. 9)

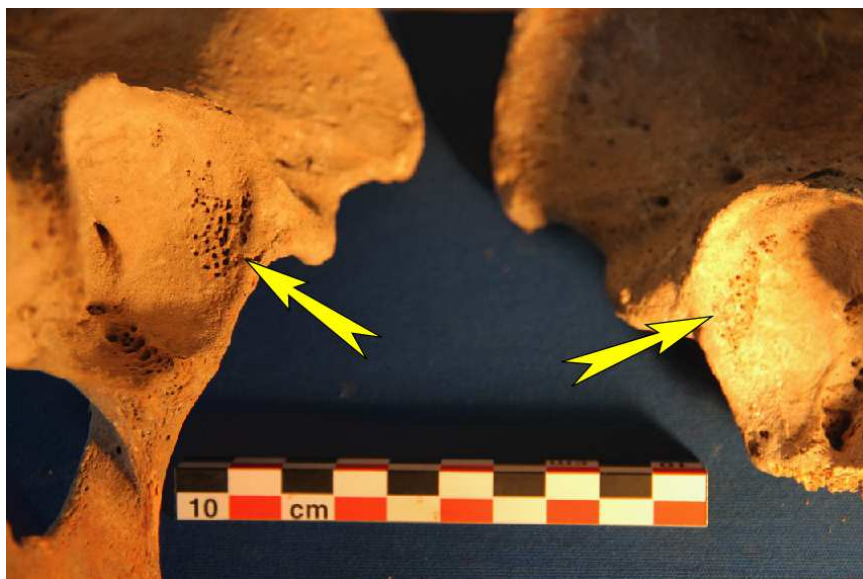


Fig. 9 : porosités bilatérales au niveau des cavités cotyloïdes

Description taphonomique :

- Phase initiale de décomposition : espace vide à colmatage lent étant donné la présence d'un espace vide dans l'axe sagittal de la sépulture formé par un cône de remplissage au niveau des grands côtés de la fosse.

- Le crâne : aucune trace n'a été trouvée

- Le rachis : de même que le crâne le bloc cervical n'a pas été trouvé. Le reste du rachis est en place mais dans un mauvais état de conservation. Le bloc thoracique supérieur n'est pas présent, les médian et inférieur sont rectiligne et en connexion anatomique stricte, les vertèbres sont en faces antérieures d'apparition. Tout comme précédemment, les lombaires sont en connexion étroite et visible en face antérieure, une légère dislocation vers la G intéresse L1 et L2. Le sacrum a légèrement basculé vers l'arrière de sorte qu'il est visible en face antéro-supérieure.

- La ceinture scapulaire : Seule la ceinture scapulaire G est conservée et présente une certaine compression, la scapula est visible en face latérale et la clavicule en face supérieure (position secondaire) après rotation axiale vers le bas.

- Le thorax : relativement mal conservé, on observe tout de même une mise à plat complète et une compression du grill costal G. Les articulations costo-vertébrale sont étroites. Le manubrium est en position primaire en équilibre sur le bloc thoracique, la jonction manubrio-claviculaire G est lâche.

- Le membre supérieur G : il présente un effet de paroi net (induit probablement par la présence d'un linceul), l'humérus apparait en face antéro-latérale et la jonction scapulo-humérale est lâche. Malgré l'absence de l'ulna, on peut confirmer que le coude est en connexion étroite, le radius en position primaire est visible en face latérale. La position et l'orientation des métacarpes en connexion lâche semble indiquer une verticalisation de la main à l'origine à l'extérieur du fémur.

- Le membre supérieur Dr : humérus en position primaire visible en face antérieure, connexion du coude étroite. Les radius et ulna sont en position primaire, parallèle et en connexion stricte, visibles en face postérieure. L'ensemble des articulations carpiennes et métacarpo-phalangiennes est disloquée, la main était en pronation sur l'abdomen.

- La ceinture pelvienne : elle est fermée, les os coxaux ont été bloqués par les têtes fémorales restées en connexion stricte. Les coxaux sont visible en face antéro-médiale.

- Le membre inférieur G : fémur visible en face antérieure, genou en connexion étroite, la patella n'a pas été retrouvée. Les tibia fibula sont en connexion étroites et visibles en face antérieure. Les connexions du tarse sont disloquées. Les métatarses visibles en face supérieure sont en connexion étroite. La position globale semble indiquer un basculement du pied vers le bas de la sépulture.

- Le membre inférieur Dr : fémur visible en face antérieure, genou en connexion étroite, la patella a été trouvé en position secondaire entre les deux fémurs. Les tibia fibula sont en connexion étroites et visibles en face antérieure. Le tarse postérieur est en connexion lâche visible en face antérieure, le tarse antérieur est disloqué et effondré vers l'avant visible en face supérieure. Les métatarses visibles en face supérieure sont en connexion étroite. Il semble que le pied est basculé vers le bas de la sépulture entraînant la dislocation des régions plus labiles des différents segments des phalanges.

Type d'architecture funéraire :

Inhumation abritant un individu adulte. Fosse sépulcrale sensiblement trapézoïdale à font plat directement taillée dans la roche mère couverte par quatre dalles horizontales. L'axe médian de la sépulture présente un espace vide formé par un cône de remplissage au niveau des grands côtés de la fosse constitué d'une terre d'infiltration très fine.

La présence d'un linceul est envisageable étant donné l'effet de paroi au niveau du membre supérieur G et de la contrainte des membres inférieurs.

Orientation : E-O.

Estimation de l'âge à partir de la surface sacro pelvienne :

Coxal Dr (cf. fig. 11) : adulte probablement entre 30 et 59 ans

- SSPI A : 2 (absence d'organisations de stries ou d'ondulations transverses)
- SSPI B : 2 (granulation sur la majorité de la surface articulaire)
- SSPI C : 1 (bord fin et légèrement surélevé formant un angle)
- SSPI D : 2 (remaniement osseux et enthèse fine)



Fig. 11 : Etat de surface de la région sacro pelvienne

Détermination du sexe à partir de la DSP : masculin à 100 %

Pum	Spu	Dcox	limt	lsmm	Scox	Ss	Sa	Sis	Veac
59.3 mm	26.1 mm	196.2 mm	29.2 mm	103.2 mm	138.9 mm	61.2 mm	63.8 mm	33.4 mm	56.4 mm

Observations :

Présence d'une perforation sternale.

Présence d'une exostose sur la face externe du calcaneum Dr, le G est en parti détruit.

SITE : Ereruyk 13	Date : 09/09/13	Adulte âgé au delà de 50 ans Masculin possible	Secteur : SOND 3A	N° Tombe : 85
			N° US : 1302	

Sép. primaire	<input checked="" type="checkbox"/>	Esp. vide	<input checked="" type="checkbox"/>	Sign. externe	<input type="checkbox"/>	Mobilier :
Sép. second.	<input type="checkbox"/>	Espace colmaté	<input type="checkbox"/>	Str. interne	<input checked="" type="checkbox"/>	
Sép. perturbée	<input checked="" type="checkbox"/>	Esp. ?	<input type="checkbox"/>	mobilier	<input type="checkbox"/>	

LEGENDE DES DIAGRAMMES DENTAIRES

I Dent présente au niveau occlusal

E Dent présente, en éruption

N Dent présente mais non sortie

L Dent isolée et identifiée avec certitude

? Dent isolée dont l'identification n'est que supposée

X Agénésie dentaire

X Dent perdue ante mortem (Résorption alvéolaire)

X	X	X	X	X	X	X	X	X	X	X	X	X	X	X	X	X	X	X	X
X	X	X	X	X	X	X	X	X	X	X	X	X	X	X	X	X	X	X	X

Cervicales
1
2
3
4
5
6
7

Thoraciques
1
2
3
4
5
6
7
8
9
10
11
12

Lombaires
1
2
3
4

■	Région présente et identifiée avec certitude
▤	Région fragmentée
▨	Situation exacte inconnue
▩	Droite ou Gauche ?

Commentaire :

UMR 5800 CNRS d'après T.S. Corrande - Westerman et C. Avelle | ph.n. modifié par M. Guilbon, P. Seiller et F. Courte ud. Infirmière | B. M. Coutou meu (AFAN)

▣ SOND 3A - SEP 85 us 1302 :

Description anthropologique :

Age au décès : adulte âgé au-delà de 50 ans

Sexe : Indéterminé mais à tendance masculine

Stature estimée : 154 cm +/- 5 cm

Type de sépulture : individuelle primaire

Altitude supérieure maximale :

Altitude supérieure minimale :

Position du squelette :

- Décubitus dorsal.
- Tête à l'ouest, vue en face supérieure.
- Membres supérieurs entièrement dispersés sur la moitié ouest de la tombe.
- Membres inférieurs symétriques en extension d'après les tibias et fibulas seuls os longs restés en position primaire, pieds légèrement écartés.

Lésions pathologiques macroscopiques :

Trois cervicales présentent une importante arthrose des plateaux.

Présence de nodules de Schmorll au niveau de certains plateaux des thoraciques du bloc inférieur (cf. fig. 12). Les lombaires présentent également des ostéophytes et des nodules de Schmorll (cf. fig. 13).

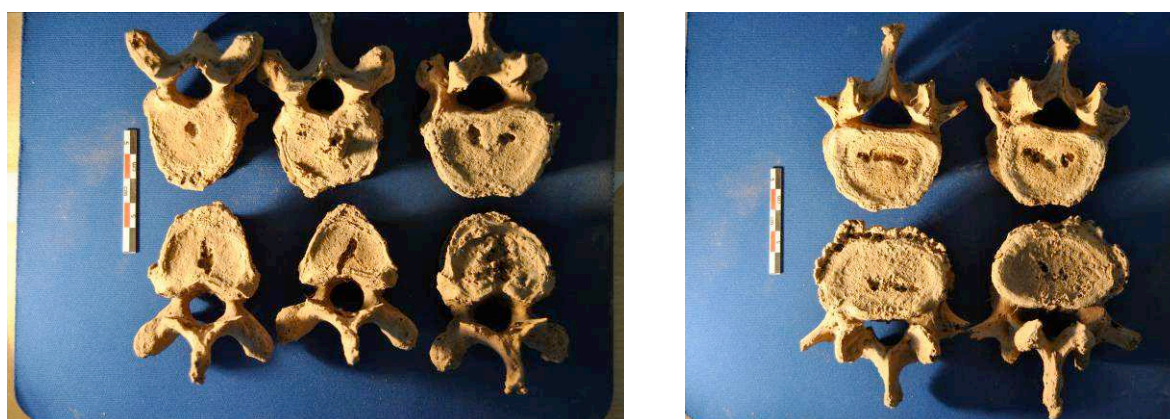


Fig. 12&13 : hernies de Schmorll sur les thoraciques et lombaires

Importantes enthésopathie au niveau des deux coxaux notamment en périphérie de la surface sacro pelvienne et sur la face inférieure des branches ischio pubiennes. Les toits des deux cavités cotyloïdes présentent des traces de modifications de la surface articulaires (contraintes mécaniques - cf. fig. 14)



Fig. 14 : modification des bords supérieurs des cavités cotyloïdes

Description taphonomique :

- Phase initiale de décomposition : espace vide.

- Le crâne : probablement en position secondaire il est visible en face supérieure, la mandibule en position secondaire se trouve posé sur sa face inférieure à gauche du crâne.

- Le rachis : l'ensemble du rachis est bouleversé. Les bloc cervical et thoracique se répartissent sur la moitié ouest de la tombe alors que le bloc lombaire se situe au niveau des membres inférieurs.

- La ceinture scapulaire : elle est présente mais dispersée, la scapula G visible en face antérieure en position secondaire se trouve sous le maxillaire. La clavicule Dr est en partie sous la mandibule et du côté G du crâne

- Le thorax : comme les autres régions anatomiques, il est totalement disloqué, certaines côtes se trouvent en arrière du crâne

- Le membre supérieur G : l'humérus G est situé par-dessus le Dr en position secondaire en vue postérieure. Les radius et ulna sont fragmentés et dispersés. Le carpe, métacarpes et phalanges sont bouleversés.

- Le membre supérieur Dr : humérus en position primaire visible en face antérieure. Les radius et ulna sont fragmentés et dispersés. Le carpe, métacarpes et phalanges sont bouleversés.

- La ceinture pelvienne : région anatomique la plus perturbée, l'os coxal Dr se trouve dans la région des genoux, le G à la place de l'humérus G et le sacrum au niveau du thorax.

- Le membre inférieur G : en position secondaire il est visible en face postérieure. Les tibia fibula sont en connexion étroites et visibles en face antérieure. Les éléments des pieds sont ventilés au niveau des tibias.

- Le membre inférieur Dr : en position secondaire il est visible en face médiale. Les tibia fibula sont en connexion étroites et visibles en face antérieure. Les éléments des pieds sont ventilés au niveau des tibias.

Type d'architecture funéraire :

Inhumation abritant un individu adulte. Fosse sépulcrale sensiblement oblongue à font plat directement taillée dans la roche mère couverte par cinq dalles horizontales.

Orientation : E-O

La grande majorité du squelette est dispersé, une ouverture de la tombe semble être envisageable. Le tiers médian de la sépulture correspondant à la ceinture pelvienne avec les fémurs et le thorax avec les avant-bras est vide d'os, ces régions ont été repoussé de chaque côté de la sépulture. Cette dispersion aurait pu être la conséquence d'un fousseur mais étant donné la dimension des dalles de couverture et le fait que la fosse ait été taillé dans la roche contredit cette hypothèse. Celle du déplacement des os par flottaison au moment de l'infiltration d'eau de pluie ou de fonte des neiges dans la fosse est écartée, en effet certains os n'auraient pas pu migrer aussi loin de leur position d'origine.

Estimation de l'âge à partir de la surface sacro pelvienne :

Coxal Dr (cf. fig. 15) : adulte âgé \geq 50 ans avec probabilité à 75 %.

- SSPI A : 2 (absence d'organisations de stries ou d'ondulations transverses)
- SSPI B : 4 (granulation grossière et porosités profondes sur la majorité de la surface articulaire)
- SSPI C : 2 (bord émoussé et épaissi)
- SSPI D : 2 (remaniement osseux et enthèse fine)

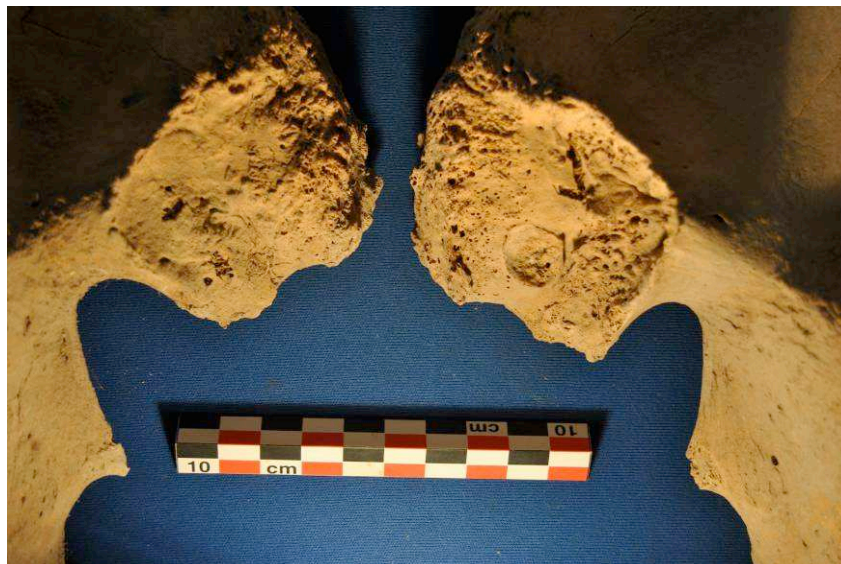


Fig. 15 : Etat de surface des régions sacro pelviennes

Détermination du sexe à partir de la DSP : Sexe indéterminé avec 70 % de chance d'être masculin

Pum	Spu	Dcox	limt	lsmm	Scox	Ss	Sa	Sis	Veac

Observations :

Persistance de la suture métopique.

Présence d'une perforation sternale.

SITE : Ereruyk 13	Date : 09/09/13	Adulte Sexe indéterminé	Secteur : SOND 3A
			N° Tombe : 88
			N° US : 1299

Sép. primaire <input checked="" type="checkbox"/>	Esp. vide <input checked="" type="checkbox"/>	Sign. externe <input type="checkbox"/>	Mobilier :
Sép. second. <input type="checkbox"/>	Espace colmaté <input type="checkbox"/>	Str. interne <input checked="" type="checkbox"/>	
Sép. perturbée <input checked="" type="checkbox"/>	Esp. ? <input type="checkbox"/>	mobilier <input type="checkbox"/>	

LEGENDE DES DIAGRAMMES DENTAIRES

- I Dent présente au niveau occlusal
- E Dent présente, en éruption
- N Dent présente mais non sortie
- L Dent isolée et identifiée avec certitude
- ? Dent isolée dont l'identification n'est que supposée
- Agénésie dentaire
- Dent perdue ante mortem (Résorption alvéolaire)

	Cervicales	Thoraciques	Lombales
[Diagramme dentaire]	1	1	1
[Diagramme dentaire]	2	2	2
[Diagramme dentaire]	3	3	3
[Diagramme dentaire]	4	4	4
[Diagramme dentaire]	5	5	5
[Diagramme dentaire]	6	6	6
[Diagramme dentaire]	7	7	7
[Diagramme dentaire]	8	8	8
[Diagramme dentaire]	9	9	9
[Diagramme dentaire]	10	10	10
[Diagramme dentaire]	11	11	11
[Diagramme dentaire]	12	12	12

Commentaire :

	Région présente et identifiée avec certitude
	Région fragmentée
	Situation exacte Inconnue
	Droite ou Gauche ?

UMR 5100 CNRS -Westermark et C. Makkilohn, modifié par M. Guillou, P. Sallier et P. Courard, information M. Courbiou (AFAN)

▣ SOND 3A - SEP 88 us 1299 :

Description anthropologique :

Age au décès : Adulte

Sexe : Indéterminé

Stature estimée : indéterminé.

Type de sépulture : individuelle primaire

Altitude supérieure maximale :

Altitude supérieure minimale :

Position du squelette :

- Décubitus dorsal.
- Tête à l'ouest, d'après l'orientation des parties distales des fibulas et des pieds
- Membres supérieurs : position inconnue.
- Membres inférieurs symétriques en extension, pieds légèrement écartés probablement versé vers l'extérieur.

Lésions pathologiques macroscopiques :

Aucune pathologie traumatique ou dégénérative n'a été décelée.

Description taphonomique :

- Phase initiale de décomposition : probablement vide en comparaison aux sépultures de même type trouvé dans cette zone.

- Le crâne : position d'origine inconnue seule la partie postérieure du neurocrâne subsiste
- Le rachis : aucun élément n'a été trouvé.
- La ceinture scapulaire : aucun élément n'a été trouvé.
- Le thorax : aucun élément n'a été trouvé.
- Le membre supérieur G : seul le tiers distal de l'humérus a été trouvé.
- Le membre supérieur Dr : aucun élément n'a été trouvé.
- La ceinture pelvienne : aucun élément n'a été trouvé.
- Le membre inférieur G : fémur conservé au trois quart distaux en position secondaire visible en face postérieure. Le tibia est en position secondaire verticalisé contre la paroi nord. Le tiers distal de la fibula encore en position est visible en face médiale. Le tarse postérieur est en connexion lâche visible en face médiale, le tarse médian est disloqué, les second et troisième métatarses en connexion étroites sont visible en face supérieure, les autres sont dispersés.
- Le membre inférieur Dr : fémur conservé dans sa moitié distale en position secondaire visible en face postérieure. Le tibia est en position secondaire visible en face postérieure. Le tiers distal de la fibula encore en position est visible en face médiale. Le tarse postérieur est en connexion lâche visible en face médiale, le tarse médian est disloqué, les MTT1 à 4 en connexion étroites sont visible en face supérieure.

Type d'architecture funéraire :

Inhumation abritant un individu adulte. Fosse sépulcrale sensiblement oblongue à font plat directement taillée dans la roche mère couverte par probablement cinq dalles horizontales. La sépulture a été pillée et à 90 % perturbée, seule la région des pieds avec leur dalle de couverture est en position d'origine. Plus de 50 % du squelette a disparu.

Orientation : E-O

Observations :

Exostose sur la face externe du calcanéum G

SITE : Erreruyk 2013	Date : 11/09/13	Age : entre 5 et 6 ans	Secteur : Sond 3A	N° Tombe : 95
			N° US : 1326	

Sép. primaire	<input checked="" type="checkbox"/>	Sign. externe	<input type="checkbox"/>	Esp. vide	<input type="checkbox"/>	Mobilier :
Sép. second.	<input type="checkbox"/>	Str. interne	<input type="checkbox"/>	Espace colmaté	<input checked="" type="checkbox"/>	
Sép. détruite	<input checked="" type="checkbox"/>	Mobilier	<input type="checkbox"/>	Esp. ?	<input type="checkbox"/>	

LEGENDE DES DIAGRAMMES DENTAIRES

- I Dent présente au niveau occlusal
- E Dent présente, en éruption
- N Dent présente mais non sortie
- Dent isolée et identifiée avec certitude
- L Elément isolé et identifiée en cours de calcification
- ? Dent isolée dont l'identification n'est que supposée
- Agénésie dentaire
- Dent perdue ante mortem (Résorption alvéolaire)

Commentaire :

Cervicales	Thoraciques	Lombaires
1	1	1
2	2	2
3	3	3
4	4	4
5	5	5
6	6	
7	7	
	8	
	9	
	10	
	11	
	12	

Région présente et identifiée avec certitude

Région fragmentée

Situation exacte inconnue

UMR 5009 CNRS d'après T. S. Cozard et C. Meilke/John modifié par P. Cozard, H. Duda et M. Guillon. Inf. méd. M. Coureau (ARNA)

▣ SOND 3 A - SEP 95 us 1326 :

Description anthropologique :

Age au décès : immature entre 5 et 6 ans.

Sexe : féminin possible

Type de sépulture : individuelle primaire

Altitude supérieure maximale :

Altitude supérieure minimale :

Position du squelette :

- Décubitus dorsal.
- Tête à l'ouest, d'après l'orientation du squelette post-crânien encore en position.
- Membres supérieurs :
 - membre supérieur G fléchi (abduction), coude légèrement écarté du corps formant un angle d'environ 120°, main en pronation sur la ceinture pelvienne (position basse).
 - membre supérieur Dr détruit
- Membres inférieurs symétriques en extension, genoux et pieds serrés.

Lésions pathologiques macroscopiques :

Aucune pathologie n'a été décelée.

Description taphonomique :

- Phase initiale de décomposition : probablement espace colmaté.

- Le crâne : détruit par la mise en place d'une sépulture d'adulte.
- Le rachis : détruit par la mise en place d'une sépulture d'adulte.
- La ceinture scapulaire : de la ceinture scapulaire G seule la scapula G est conservée et visible en face antérieure (position primaire). La jonction scapulo-humérale est lâche. La ceinture Dr est détruite par la mise en place d'une sépulture d'adulte.
- Le thorax : détruit par la mise en place d'une sépulture d'adulte.
- Le membre supérieur G : humérus visible en face antérieure (position primaire), coude en connexion lâche. Seule l'ulna est conservé en position secondaire visible en face antérieure. Aucun élément de la main n'a été trouvé mais l'orientation de l'avant-bras nous donne une position sur le bassin.
- Le membre supérieur Dr : détruit par la mise en place d'une sépulture d'adulte.
- La ceinture pelvienne : semi ouverte avec face d'apparition médiane des os coxaux, les jonctions coxo-fémorales sont étroites.
- Le membre inférieur G : fémur en position primaire visible en face antérieure, genou en connexion stricte. Tibia et fibula en position primaire, parallèle en connexion étroite visible en face antérieure. Seul le talus a été conservé en connexion lâche et visible en face antérieure.
- Le membre supérieur Dr : fémur en position primaire visible en face antérieure, genou en connexion stricte. Tibia et fibula en position primaire, parallèle en connexion étroite visible en face antérieure. Aucun élément du pied n'a été conservé.

Type d'architecture funéraire :

Inhumation abritant un individu immature. Fosse sépulcrale sensiblement trapézoïdale à fond plat pour laquelle subsistent deux moellons pour le grand côté sud.

Sépulture détruite par la mise en place postérieure d'une sépulture d'adulte se situant à l'ouest.

Orientation : E-O

- Mensurations de l'os coxal (cf. fig. 16) : féminin possible (courbe aile iliaque peu sinueuse - grande échancrure relativement ouverte autour des 120 °)

A-B (b2)	A-C	B-C	H-C (b1)	b3	b4
21.3 mm	13.5 mm	11 mm	5.5 mm	67.7 mm	65.6 mm



Fig. 16 : Mensurations sur l'os coxal Dr

SONDAGE 3 B

SITE : Ereruyk 2013	Date : 17/09/13	Adulte jeune entre 20 et 39 ans Sexe masculin	Secteur : SOND 3B
			N° Tombe : 70
			N° US : 1364

Sép. primaire	Esp. vide	Sign. externe	Mobilier :
Sép. second.	Espace colmaté	Str. interne	
Sép. double	Esp. ?	mobilier	

LEGENDE DES DIAGRAMMES DENTAIRES

- I Dent présente au niveau occlusal
- E Dent présente, en éruption
- N Dent présente mais non sortie
- L Dent isolée et identifiée avec certitude
- ? Dent isolée dont l'identification n'est que supposée
- X Agénésie dentaire
- X Dent perdue ante mortem (Résorption alvéolaire)

	X X	
	X X	

	Cervicales	Thoraciques	Lombaires
1			
2			
3			
4			
5			
6			
7			
8			
9			
10			
11			
12			

Commentaire :

	Région présente et identifiée avec certitude
	Région fragmentée
	Situation exacte inconnue
	Droite ou Gauche ?

UMR 5500 CNRS d'après T.S. Corentin - Wesama m et C. Meille | ph.n. mod file par M. Guilbon, P. Sallier et F. Courte ud. info@museo-lm.com | M. Coutou mau (AFAN)

26

▣ SOND 3B - SEP 70 us 1364 :

Description anthropologique :

Age au décès : adulte jeune entre 20 et 39 ans

Sexe : masculin

Stature estimée : 174 cm +/- 5 cm

Type de sépulture : primaire double

Altitude supérieure maximale :

Altitude supérieure minimale :

Position du squelette :

- Décubitus dorsal.
- Tête à l'ouest, vue en face supérieure.
- Membres supérieurs probablement symétriques :
 - membre supérieur G fléchi (abduction), coude éloigné du corps, angle à environ 90°, main en pronation posée sur l'abdomen (position moyenne).
 - membre supérieur Dr probablement fléchi, la moitié distale de l'humérus et l'avant-bras ne sont pas présents (perturbation de cette zone) mais des éléments de la main Dr ont été trouvés sur l'os coxal G (position basse).
- Membres inférieurs symétriques en extension, genoux serrés, pieds joints, le G latéralisé sur sa face médiale et le droit en position verticale contre la paroi Est.

Lésions pathologiques macroscopiques :

Léger liseré osseux néoformé en périphérie des cavités glénoïdes des deux scapulas.

Deux thoraciques provenant du segment médian présentent des traces d'hernies (une de Schmorll et une autre avec évacuation vers la partie postérieure du polpulus - cf. fig. 17).



Fig. 17 : Hernies dont une de Schmorll

Le corps de la quatrième lombaire présente un liseré d'ostéophytes en bordure des deux plateaux ainsi qu'une arthrose au niveau du processus articulaire inférieur G.

Enthésopathies nettes au niveau des faces inférieures des tubérosités ischiatiques des 2 os coxaux.

Description taphonomique :

- Phase initiale de décomposition : espace vide à colmatage rapide.
- Le crâne : il a subi un déplacement, sa face d'apparition est la supérieure. La mandibule a également été déplacée et se trouve en arrière du neurocrâne mélangé avec des fragments d'ossement d'immature ne correspondant pas au stade de développement de celui placé dans la sépulture.
- Le rachis : le bloc cervical n'a pas été trouvé. Les thoraciques sont en face antérieure d'apparition en connexion étroite et dans un axe rectiligne. Le bloc lombaire a subi une légère torsion vers la gauche conséquence de la présence de l'immature sur le côté Dr dont la tête était callée contre le grill costal Dr et probablement sous le membre supérieur Dr de l'adulte. Le sacrum suit l'orientation donné par le bloc lombaire à savoir une face d'apparition antéro-latérale Dr.
- La ceinture scapulaire : la G est en position primaire, la clavicule et la scapula sont en face antérieure d'apparition sans effet de compression, la jonction scapulo-humérale est étroite. La ceinture scapulaire Dr a subi une perturbation seule la scapula est en position primaire en face antérieure d'apparition, la clavicule se trouvant en arrière du neurocrâne, la jonction scapulo-humérale est déplacée.
- Le thorax : mise à plat partielle des côtes avec face d'apparition antéro-supérieure, le grill costal Dr est détruit dans sa moitié inférieure. Les connexions costo-vertébrales sont étroites
- Le membre supérieur G : humérus en position primaire visible en face antérieure et bloqué contre la paroi nord, le coude est en connexion étroite. Seule la moitié proximale de l'ulna est conservée et visible en face latérale donnant ainsi une position de la main G sur l'abdomen.
- Le membre supérieur Dr : humérus en position secondaire visible en face latérale, l'avant-bras n'est pas conservé mais des éléments de la main Dr sont positionnés sur l'os coxal G
- La ceinture pelvienne : elle est fermée à G et semi-ouverte à Dr, les jonctions coxo-fémorales sont étroites. L'ensemble est légèrement versé du côté G induit par la présence de l'immature.
- Le membre inférieur G : fémur visible en face antérieure (position primaire), genou en connexion étroite et patella en équilibre. Tibia et fibula sont en connexion étroite, le tibia a subi une légère rotation axiale vers l'extérieur de sorte qu'il est visible en face médiale. Les articulations du tarse sont étroites et visibles en face médiale, les jonctions métatarso-phalangiennes sont disloquées suite à leur effondrement.
- Le membre inférieur Dr : afin de laisser la place à l'immature le membre inférieur a été positionné sur sa face médiale. Le fémur en position primaire est visible en face latérale, genou en connexion étroite et chute de la patella. Tibia et fibula en connexion lâche après chute de la fibula venue se poser sur le membre inférieur G de l'immature. Le tibia est en face d'apparition médiale et la fibula en face antérieure. Les articulations du tarse sont étroites et visibles en face latérale, les jonctions métatarso-phalangiennes sont lâches et également en face latérale.

Type d'architecture funéraire :

Inhumation abritant un individu adulte et un immature simultanément. La fosse sépulcrale creusée dans la roche mère aux limites larges est à fond plat. Le coffrage est constitué pour les grands côtés (Nord et Sud) par trois dalles chacun posé de champ, le tout recouvert à l'origine probablement par quatre dalles horizontales, seules les deux du côté ouest ont été trouvées en place. La zone du crâne de l'immature e et du tiers supérieur Dr du corps de l'adulte ont été perturbé (ouverture probable de la sépulture).

Orientation : E-O.

Estimation de l'âge à partir de la surface sacro pelvienne :

Coxal Dr (cf. fig. 18) : adulte jeune probablement entre 20 et 39 ans avec probabilité à 60 % entre 20 et 29 ans

- SSPI A : 2 (absence d'organisations de stries ou d'ondulations transverses)
- SSPI B : 1 (absence de granulation)
- SSPI C : 2 (bord émoussé et légèrement épaissi)
- SSPI D : 1 (aucun signe de remaniement osseux)



Fig. 18 : Etat de surface des régions sacro pelviennes

Détermination du sexe à partir de la DSP : Masculin à 99 %

Pum	Spu	Dcox	limt	lsmm	Scox	Ss	Sa	Sis	Veac
68.6 mm	31.8 mm	207.4 mm	29.7 mm	107.4 mm	165 mm	78.1 mm	78.1 mm	43.1 mm	57.3 mm

Observations :

Exostoses bilatérales au niveau des faces externes de 2 calcanéums.
Sacralisation de la cinquième lombaire (cf. fig. 19).



Fig. 19 : Sacralisation de L5

SITE : Ezeruyk 13	Date : 17/09/13	Immature entre 11 et 12 ans	Secteur : SOND 3B
			N° tombe : 70
Sép. primaire <input checked="" type="checkbox"/>		Esp. vide <input checked="" type="checkbox"/>	
Sép. second. <input type="checkbox"/>		Espace colmaté <input type="checkbox"/>	
Sép. détruite <input type="checkbox"/>		Esp. ? <input type="checkbox"/>	
Sign. externe <input type="checkbox"/>		Str. interne <input checked="" type="checkbox"/>	
Mobillier <input type="checkbox"/>		Relations strati. : US	

LEGENDE DES DIAGRAMMES DENTAIRES

- I Dent présente au niveau occlusal
- E Dent présente, en éruption
- N Dent présente mais non sortie
- L Dent isolée et identifiée avec certitude
- L Bement isolé et identifiée en cours de calcification
- ? Dent isolée dont l'identification n'est que supposée
- X Agénésie dentaire
- X Dent perdue ante mortem (Résorption alvéolaire)

Cervicales	Thoraciques	Lombaires

Commentaire :

CONSERVATION OSSEUSE

- Région présente et identifiée avec certitude
- Région fragmentée
- Situation exacte inconnue
- Droite ou Gauche ?

U MR 5809 CNRS d'après T.S. Cornetand-Webermann et C. Meillejohn modifié par P. Gouraud, H. Duclay et M. Guillou. Information M.Cou to near (ARAN)

▣ SOND 3B - SEP 70 us 1365 :

Description anthropologique :

Age au décès : immature entre 11 et 12 ans.

Sexe : Féminin possible

Type de sépulture : primaire double

Altitude supérieure maximale :

Altitude supérieure minimale :

Position du squelette :

- Décubitus latéral G.
- Tête à l'ouest, détruite en très grande majorité.
- Membres supérieurs symétriques :
 - membre supérieur G fléchi (adduction), coude serré contre le corps sous le grill costal G formant un angle d'environ 120°, main sous les cuisses du sujet adulte (position moyenne).
 - membre supérieur Dr fléchi (adduction), coude serré contre le corps formant un angle d'environ 120°, main sur les cuisses du sujet adulte (position moyenne).
- Membres inférieurs symétriques en flexion, genoux légèrement écartés, pieds joints l'un sur l'autre sur le côté.

Lésions pathologiques macroscopiques :

Aucune pathologie n'a été décelée.

Description taphonomique :

- Phase initiale de décomposition :

- Le crâne : il est réduit à quelques esquilles pulvérulentes.
- le rachis (cf. fig. 20) : le bloc cervicale est visible en face latérale Dr en connexion étroite de C1 à C4 et lâche de C5 à C7. Le bloc thoracique est visible en face antéro-latérale Dr avec dislocation des T1 à T4 et T9 à T12 et en connexion étroite de T5 à T8 épousant ainsi la forme du grill costal G en place. Le bloc lombaire est en connexion lâche et visible en face latérale Dr tout comme le sacrum.



Fig. 20 : position du rachis

- La ceinture scapulaire : la scapula G est en position primaire visible en face médiale, la Dr en position secondaire après avoir basculée en avant du gril costal Dr. La jonction scapulo-humérale G est étroite et la Dr déplacée. Les clavicules ont été trouvées en position secondaire aprs leur dislocation vers l'avant.
- Le thorax : mise à plat partielle avec face d'apparition latérale des côtes Dr et médiales des côtes G. Les jonctions costo-vertébrales sont étroites.
- Le membre supérieur G : humérus en position primaire et visible en face médiale, coude en connexion étroite. Les radius et ulna sont en connexion étroite et respectivement en face d'apparition antérieure et latérale. L'orientation donnée par l'avant-bras indique que la main était en supination sous les fémurs de l'adulte.
- Le membre supérieur Dr : humérus en position secondaire après effondrement vers l'avant du grille costal Dr en face postérieure d'apparition. Les radius et ulna sont disloqués et dispersés entre les fémurs de l'adulte.
- La ceinture pelvienne : les différentes parties formant les deux os coxaux sont restés en connexion étroite. Le coxal G est visible en face médiale et le Dr en face latérale. Les jonctions coxo-fémorales sont étroites.
- Le membre inférieur G : fémur en position primaire et visible en face médiale, genou en connexion étroite. Tibia et fibula en connexion lâche avec léger déplacement vers l'avant du tibia de sorte qu'il apparait en face postéro-médiale. Le tarse est en connexion étroite et visible en face médiale, les articulations métatarso-phalangiennes sont lâches.
- Le membre supérieur Dr : fémur en position primaire et visible en face latérale, genou en connexion lâche. Tibia et fibula en connexion lâche après effondrement vers l'arrière de la fibula, le tibia est en face d'apparition latérale. Le tarse est en connexion étroite et visible en face latérale, les articulations métatarso-phalangiennes sont lâches.
- Mensurations de l'os coxal Dr (cf. fig. 21) : féminin possible (courbe aile iliaque peu sinueuse - grande échancrure relativement ouverte supérieure à 90 °)

A-B (b2)	A-C	B-C	H-C (b1)	b3	b4
34.9 mm	23 mm	20 mm	12.5 mm	70.2 mm	61.5 mm



Fig. 21 : mensurations sur l'os coxal Dr

SITE : Ereruyk 2013	Date : 17/09/13	Adulte entre 40 et 59 ans Masculin	Secteur : SOND 3B	N° Tombe : 75
			N° US : 1362	

Sép. primaire <input checked="" type="checkbox"/> Sép. second. <input type="checkbox"/> Sép. perturbée <input type="checkbox"/>	Esp. vide <input checked="" type="checkbox"/> Espace colmaté <input type="checkbox"/> Esp. ? <input type="checkbox"/>	Sign. externe <input type="checkbox"/> Str. interne <input checked="" type="checkbox"/> mobilier <input type="checkbox"/>	Mobilier :
---	---	---	-------------------

LEGENDE DES DIAGRAMMES DENTAIRES

- I Dent présente au niveau occlusal
- E Dent présente, en éruption
- N Dent présente mais non sortie
- L Dent isolée et identifiée avec certitude
- ? Dent isolée dont l'identification n'est que supposée
- X Agénésie dentaire
- X Dent perdue ante mortem (Résorption alvéolaire)

Cervicales	Thoraciques	Lombales

Commentaire :

	Région présente et identifiée avec certitude
	Région fragmentée
	Situation exacte Inconnue
	Droite ou Gauche ?

UMR 5000 CNRS d'après T.S. Constantinos - Westerman et al. C. A. Heile (ph. n. mod. fig. par M. Guilford, E. Seller et P. Coura ud. informe tatar bn. M. Coutu eau (AFAN))

▣ SOND 3B - SEP 75 us 1362 :

Description anthropologique :

Age au décès : adulte mature entre 40 et 59 ans

Sexe : masculin

Stature estimée : 163 cm +/- 5 cm

Type de sépulture : individuelle primaire

Altitude supérieure maximale :

Altitude supérieure minimale :

Position du squelette :

- Décubitus dorsal.

- Tête à l'ouest, vue en face antéro-latérale Dr.

- Membres supérieurs symétriques :

- membre supérieur G fléchi (adduction), coude proche du corps, angle à environ 90°, main en pronation posée sur le coxal Dr (position basse).

- membre supérieur Dr fléchi (adduction), coude proche du corps, angle à légèrement inférieur à 90°, main en pronation posée sur le grill costal G (position moyenne).

- Membres inférieurs symétriques en extension, genoux et pieds légèrement écartés, ces derniers posés probablement verticalement contre la paroi Est

Etat sanitaire bucco-dentaire :

L'individu présente une édentation quasi complète du maxillaire (cf. fig. 22) seule la première prémolaire supérieure G (34) est en bouche, au niveau de la mandibule ne restent en bouche que les incisives centrales et latérales inférieures G et Dr (31-32-41-42)



Fig. 22 : perte quasi complète des dents du maxillaire

Lésions pathologiques macroscopiques :

On note au niveau du crâne de multiples zones de traumatismes (cf. fig. 23 & 24) liés probablement à des coups reçus qui intéressent la partie G du frontal (impact en creux), le pariétal G (impact

avec hématome externe), la zone du lambda (impact en creux) et l'arcade zygomatique G (fractures des 2 extrémités et soudure en baïonnette - cf. fig 25). Tous ces traumatismes n'ont pas entraîné le décès immédiat de l'individu.



Fig. 23 & 24 : traces de trois impact sur le neurocrâne avec traces de cicatrisation



Fig. 25 : fracture de l'arcade zygomatique G

Enthésopathies au niveau des trochanters et trochins sur les deux humérus plus marqué sur le G et également au niveau des tubérosités bicipitales des 2 radius.

Trace d'un impact circulaire en creux avec bord mousse au niveau de la face postérieure de l'aile de la scapula Dr (partie médiane du bord latéral - cf. fig. 26).



Fig. 26: impact circulaire sur la face postérieure de la scapula Dr

Liseré néoformé en périphérie des têtes humérales et des épiphyses proximales des ulnas.
Arthroses cervicales au niveau de certains corps et processus articulaires.
Ostéophytes sur l'ensemble du bloc thoracique intéressant les listels des 2 plateaux.
Ostéophytes sur l'ensemble du bloc lombaires intéressant les listels des 2 plateaux.
La majeure partie des métatarsiens présentent au niveau des épiphyses distales d'importants liserés néoformés (cf. fig. 27) notamment pour les deux premiers métatarsiens G et Dr.



Fig. 27 : liseré néoformé en périphérie des têtes des métatarsiens

Description taphonomique :

- Phase initiale de décomposition : espace vide

- Le crâne : en position primaire il est visible en face antéro-latérale Dr. La mandibule est légèrement ouverte et l'articulation temporo-mandibulaire est étroite. Les jonctions crâne atlas et atlas axis sont étroite

- Le rachis : le bloc cervical est en connexion étroite et visible en face antérieure mais convexe en vue antérieure. L'os hyoïde est en position primaire. L'ensemble du bloc thoracique est visible en face antérieure et en connexion étroite tout comme le bloc lombaire. Le sacrum en revanche est déplacé et visible en face postérieure

- La ceinture scapulaire : Les jonctions scapulo-humérales sont étroites et les scapula sont en position primaire visible en face antérieure sans effet de compression. La clavicule G est en position primaire visible en face antérieure et en connexion étroite avec l'acromion. La Dr est en position secondaire après rotation axiale vers l'avant, elle est visible en face supérieure et en connexion lâche avec l'acromion.
- Le thorax : mise à plat complète de l'ensemble des côtes visibles en face antéro-supérieure, les jonctions costo-vertébrales sont étroites ; sternum et manubrium sont en position secondaire versé sur le côté G des thoraciques
- Le membre supérieur G : humérus en position primaire visible en face antérieure, coude en connexion lâche avec le radius et étroite avec l'ulna. Le radius en position secondaire est visible en face postérieure et l'ulna en position primaire en face latérale. La jonction distale du radius et de l'ulna est déplacée. La perturbation qu'a subie la tombe a disloqué la main G qui était en pronation sur l'os coxal Dr.
- Le membre supérieur Dr : humérus en position primaire visible en face antérieure, coude en connexion lâche avec le radius et étroite avec l'ulna. Le radius en position secondaire est visible en face postérieure après rotation axiale vers le grill costal G et l'ulna en position primaire en face latérale. Les deux os sont tout de même restés en position parallèle. La main posé en pronation sur le grill costal G s'est disloquée au niveau du carpe et des phalanges et resté en connexion lâche au niveau des métacarpes.
- La ceinture pelvienne : l'os coxal Dr et le sacrum ont été bouleversés. L'os coxal G en position primaire est semi-ouvert et se présente en face antéro-médiane d'apparition avec une connexion coxo-fémorale étroite
- Le membre inférieur G : fémur visible en position primaire en face antérieure, genou en connexion étroite. Tibia et fibula sont parallèles en connexion étroite malgré une légère rotation axiale vers l'extérieur et en face médiale d'apparition. Le tarse postérieure est en connexion lâche et visible en face antéro-médiale et a suivi la rotation du tibia, le tarse antérieur et les articulations métatarso-phalangiennes se sont effondrés vers le bas et disloqués.
- Le membre inférieur Dr : fémur en position secondaire après perturbation et posé sur le fémur G en face antérieure, genou disloqué et patella verticalisé au niveau du plateau tibial. En revanche le déplacement du fémur n'a pas perturbé la position des tibia et fibula resté en position primaire visible en face antérieure. Le tarse postérieur est en connexion lâche et visible en face antéro-supérieure après basculement vers le bas du pied. Le tarse antérieur et les articulations métatarso-phalangiennes se sont effondrés et disloqués.

Type d'architecture funéraire :

Inhumation abritant un individu adulte. Fosse sépulcrale sensiblement trapézoïdale et aux limites relativement étroites à fond plat creusée dans la roche mère formant un coffrage dont les parois nord et sud sont bordées de trois dalles chacune posées verticalement. L'ensemble étant recouvert de quatre dalles dont les interstices ont été comblés par des pierres. Malgré cet ensemble apparemment en place on note un bouleversement de l'os coxal Dr et du fémur Dr qui est difficilement imputable à un fouisseur.

L'axe médian de la sépulture présente un espace vide formé par un cône de remplissage au niveau des grands côtés de la fosse constitué d'une terre d'infiltration très fine. Ce qui implique si on suppose qu'il y a eu ouverture de la tombe, qu'elle a été pratiquée avant que la terre de percolation est recouvert l'individu, le sujet étant déjà « squelettisé ».

Orientation : E-O

Estimation de l'âge à partir de la surface sacro-pelvienne :

Coxal G (cf. fig. 28) : adulte mature probablement entre 40 et 59 ans avec probabilité à 47 % \geq 60 ans

- SSPI A : 2 (absence d'organisations de stries ou d'ondulations transverses)
- SSPI B : 2 (granulation sur la majorité de la surface articulaire)

- SSPI C : 2 (bord émoussé et légèrement épaissi)
- SSPI D : 2 (remaniement osseux et enthèse fine)

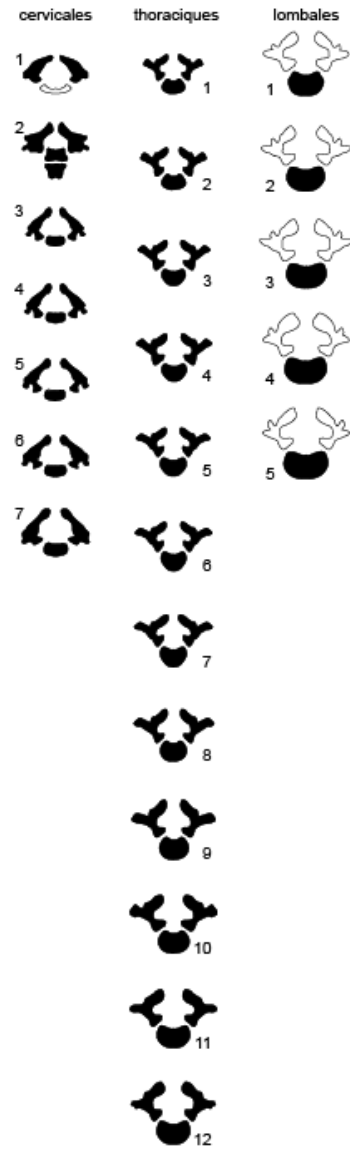
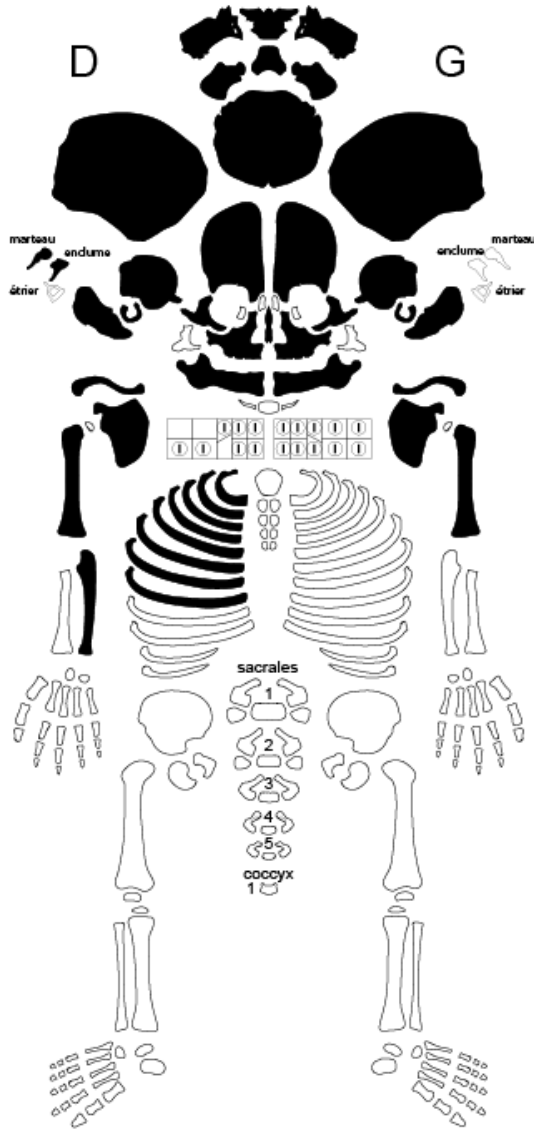


Fig. 28 : Etat de surface de la région sacro iliaque

Détermination du sexe à partir de la DSP : masculin à 100 %

Pum	Spu	Dcox	limt	lsmm	Scox	Ss	Sa	Sis	Veac
71.4 mm	34.7 mm	229.5 mm	35.1 mm	118.6 mm	159.7 mm	76.8 mm	75.8 mm	39.6 mm	59 mm

SITE : Ereruyk 2013	Date : 04/09/13	Nourrisson entre 0 et 0,5 ans	Secteur : SOND 3B	N° Tombe : 76	
			N° US : 1284		
Sép. primaire		Esp. vide		Sign. externe	
Sép. second.		Espace colmaté		Str. interne	
Sép. remaniée		Esp. ?		Mobilier	
				Mobilier :	US



LEGENDE : Codes de conservation des os

	Région présente et identifiée avec certitude
	Région fragmentée
	ou Situation exacte inconnue
	ou Niveau, rang, latéralisation incertain

LEGENDE DES DIAGRAMMES DENTAIRES

	Germe présent in situ
	Germe présent mais isolé
	Un de ces élément est présent
	L'identification de l'élément isolé n'est que supposée

D'après Pasca / SELLIER UMR 5809 du CNRS, Laboratoire d'anthropologie des populations du passé, Université de Bordeaux I, avenue des Facultés, 33405 Talence cedex (adapté de TILLIER & DUDAY, 1990)

▣ SOND 3 B - SEP 76 us 1284 :

Description anthropologique :

Age au décès : nourrisson entre 0 et 0,5 an.

Stade dentaire (cf. fig. 29 & 30) :

Les incisives déciduales centrales et latérales supérieures et inférieures G et Dr (51-52-61-62-71-72-81-82) sont incluses, leurs couronnes sont édifiées.

Les canines déciduales supérieures Dr et G (53-63) sont incluses et leurs couronnes sont édifiées à ½.

Les premières molaires déciduales supérieures et inférieures G et Dr (54-64-74-84) sont incluses et leurs couronnes sont édifiées à ½.

Les deuxièmes molaires déciduales supérieures et inférieures G et Dr (55-65-75-85) sont incluses et leurs couronnes sont édifiées aux 1/3.

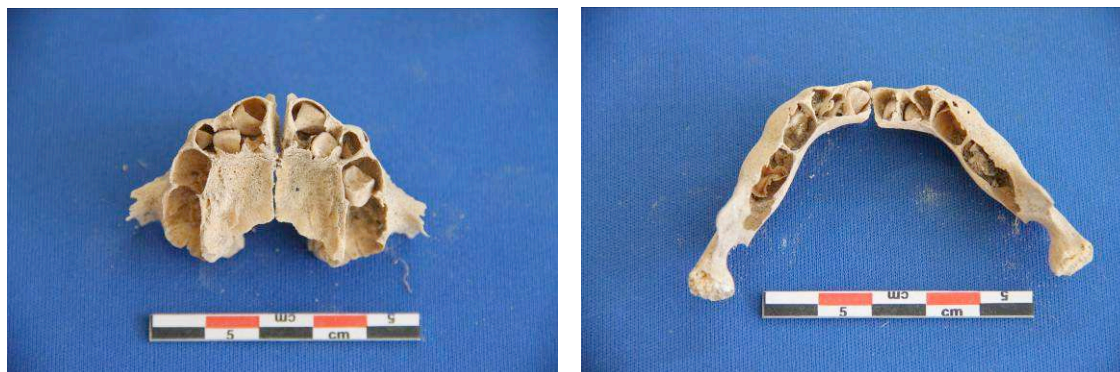


Fig. 29 & 30 : stade d'évolution dentaire du maxillaire et de la mandibule

Les lignes de synostoses des 3 éléments composants les os temporaux sont encore visibles et en début de fermeture.

Sexe : indéterminé

Type de sépulture : individuelle primaire

Altitude supérieure maximale :

Altitude supérieure minimale :

Position du squelette :

- Décubitus dorsal.
- Tête à l'ouest, face antéro-supérieur.
- Membres supérieurs :
 - il ne subsiste que l'humérus du membre supérieur G
 - membre supérieur Dr fléchi (adduction), coude serré contre le corps formant un angle d'environ 150°, main probablement en pronation sur le coxal Dr (position basse).
- Membres inférieurs non conservés.

Lésions pathologiques macroscopiques :

Aucune pathologie n'a été décelée.

Description taphonomique :

- Phase initiale de décomposition : espace vide avec colmatage rapide

- Le crâne : en position primaire il est visible en face antéro-supérieure. La mandibule est fermée et on note un effondrement du frontal et du splanchnocrâne restés tout de même en connexion à l'intérieur du neurocrâne. Une surélévation est induite du fait de la forme en cuvette du creusement
- le rachis : les éléments observables au moment du prélèvement donne un bloc cervical en face antérieure et en connexion étroite. Le bloc thoraciques est bouleversé au niveau des corps seuls les arcs vertébraux sont en position primaire et visible en face antérieure et en connexion étroite. Les corps des lombaires sont dispersés.
- La ceinture scapulaire : les épaules présentent un effet de compression lié à la forme incurvé de la fosse, les scapula sont en position primaire et visible en face latérale, les jonctions scapulo-humérales et scapulo-claviculaires sont étroites. Les clavicules sont visibles en face antérieure.
- Le thorax : seul le grill costal Dr est conservé avec une mise à plat partielle et un effet de compression, les côtes sont visibles en face antérieure.
- Le membre supérieur G : en position secondaire il est visible en face antérieure
- Le membre supérieur Dr : en position primaire il est visible en face antéro-latérale, coude en connexion lâche. L'ulna en position primaire apparait par sa face latérale. L'axe donné par l'avant-bras laisse supposer que la main se trouvait en pronation sur l'os coxal Dr.
- La ceinture pelvienne : elle n'est pas conservée.
- Le membre inférieur G : il n'est pas conservé.
- Le membre supérieur Dr : il n'est pas conservé.

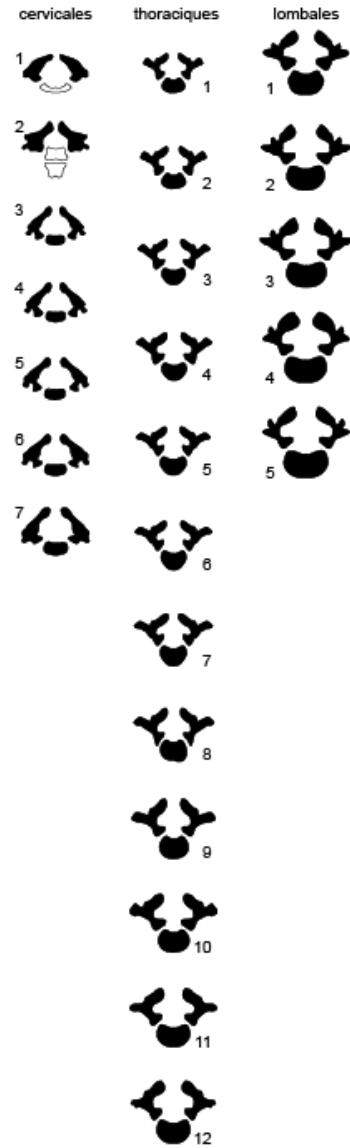
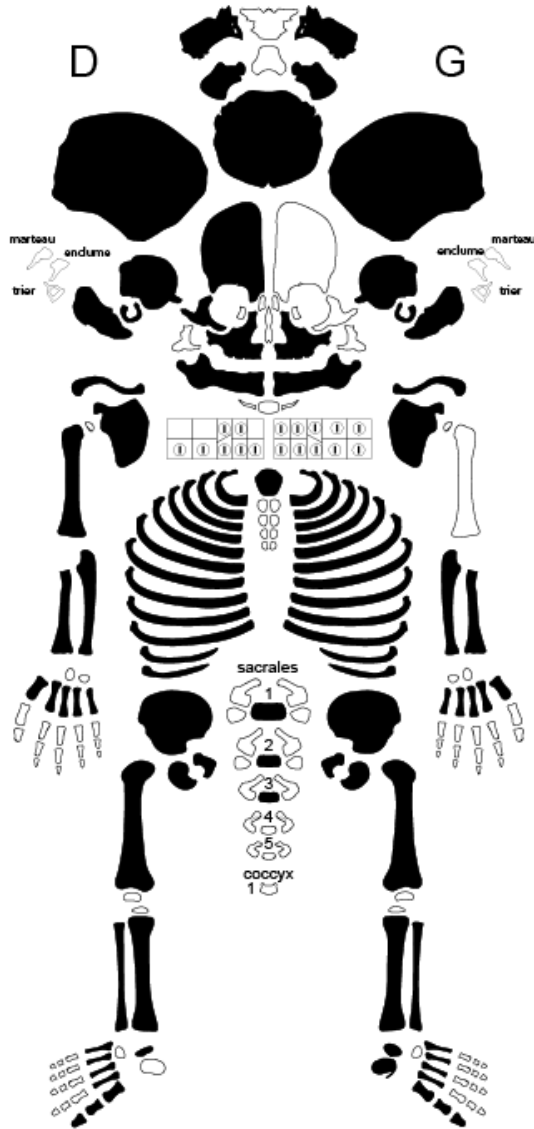
Type d'architecture funéraire :

Inhumation abritant un individu nourrisson. Fosse sépulcrale aux limites relativement étroites à fond en forme de cuvette est bordée pour le grand côté sud par des moellons, de deux dalles verticales pour les 2/3 est du grand côté nord. Le petit côté est se compose d'un moellon. En couverture seule une dalle est encore en place du côté est. On note un pendage ouest/est du squelette. Les 2/3 est de la sépulture ne comporte aucun élément osseux de l'occupant de la sépulture en revanche quelques éléments d'un immature plus jeune ont été trouvé dans le comblement.

Orientation : E-O

SITE : Ereruyk 2013	Date : 07/09/13	Nourrisson entre 0,22 et 0,78 ans	Secteur : SOND 3B	N° Tombe : 87
			N° US : 1295	

S p. primaire		Esp. vide		Sign. externe		Mobilier : US
S p. second.		Espace colmat		Str. interne		
Sép. perturbée		Esp. ?		Mobilier		



LEGENDE : Codes de conservation des os

- Région présente et identifiée avec certitude
- Région fragmentée
- ou Situation exacte inconnue
- ou Niveau, rang, lat. réalisation incertain

LEGENDE DES DIAGRAMMES DENTAIRES

- Germe pr sent in situ
- Germe pr sent mais isol
- Un de ces I ment est pr sent
- L'identification de l'I ment isol n'est que suppos e

D'après Pasca/SELLIER UMR 5809 du CNRS, Laboratoire d'anthropologie des populations du passé, Université de Bordeaux I, avenue des Facultés, 33405 Talence cedex (adapté de TILLIER & DUDAY, 1950)

▣ SOND 3B - SEP 87 us 1295 :

Description anthropologique :

Age au décès : nourrisson entre 0,22 et 0,78 an.

Stade dentaire (cf. fig. 31 & 32):

Les incisives déciduales centrales et latérales supérieures Dr et G (51-52-61-62) sont en cours d'éruption la racine est édifiée au 1/3.

Les canines déciduales supérieures et inférieures G et Dr (53-63-73-83) sont incluses et leur couronne est édifiée aux 2/3.

Les premières molaires déciduales supérieures et inférieures G et Dr (54-64-74-84) sont en cours d'éruption et ont leur couronne édifiée.

Les deuxièmes molaires déciduales supérieures et inférieures G et Dr (55-65-75-85) sont incluses et leur couronne est édifiée aux 2/3.

Les premières molaires définitives inférieures G et Dr (36-46) sont à l'état de bourgeon seules les cuspides (coalescences) sont reliées par un liseré d'émail.



Fig. 31 & 32 : stade d'évolution dentaire du maxillaire et de la mandibule

Sexe : masculin possible

Type de sépulture : individuelle primaire

Altitude supérieure maximale :

Altitude supérieure minimale :

Position du squelette :

- Décubitus dorsal.
- Tête à l'ouest, face antérieure.
- Membres supérieurs totalement ventilés sur la moitié est de la sépulture.
- Membre inférieur Dr en extension, le G est dispersé

Lésions pathologiques macroscopiques :

Le zygomatique Dr et la grande aile Dr du sphénoïde semblent présenter des traces d'hyperostose avec un aspect poreux (cf. fig. 33 & 34). Problèmes possibles d'origine carencielle mais ce type d'atteinte a une origine multifactorielle (métaboliques ou infectieux) qui n'est pas toujours aisé à diagnostiquer.



Fig. 33 & 34 : traces d'hyperostose sur le sphénoïde et le zygomatique Dr

Description taphonomique :

- Phase initiale de décomposition : espace vide très probablement étant donné la configuration de la sépulture. Le comblement au dessus du squelette est très fin peu compact (moitié supérieure), la zone où se trouve les ossements (moitié inférieure du comblement) est composée de sédiment peu compact mais parsemé de cailloutis. Ceci laisse penser a une ouverture de la tombe au moment où le corps était squelettisé mais pas encore recouvert de terre de percolation.

- Le crâne : seul l'occipital est en position primaire et indique une position antérieure du crâne à l'origine.

- le rachis : il est conservé mais dispersé sur l'ensemble de la sépulture dans toute l'épaisseur de la moitié inférieure du comblement

- La ceinture scapulaire : elle est conservée mais seule la scapula Dr est en position primaire avec une face d'apparition antérieure.

- Le thorax : Il est également conservé le gril costal G est disloqué alors de le Dr est en connexion avec mise à plat complète visible en face antéro-supérieure et en connexion costo-vertébrale étroite. Ce qui veut dire que le rachis a été perturbé mais sans toucher le gril costal Dr (intervention humaine plutôt qu'animale ?)

- Le membre supérieur G : également dispersé, notons que l'humérus G n'a pas été trouvé.

- Le membre supérieur Dr : tout comme le G, il n'est plus en place mais la majeure partie est présente.

- La ceinture pelvienne : seule l'aile iliaque Dr est en position primaire visiblement ouverte avec face antérieure d'apparition.

- Le membre inférieur G : il est bouleversé et quasi complet.

- Le membre supérieur Dr : Les os longs sont en position primaire avec le fémur en vue antérieure, genou en connexion étroite. Tibia et fibula sont en connexion étroite et parallèles visibles en face antérieure. Le pied est disloqué.

Type d'architecture funéraire :

Inhumation abritant un nourrisson. Fosse sépulcrale relativement large à font plat de forme sensiblement trapézoïdale. Chaque grand côté (N/S) est formé de quatre dalles posées verticalement. Les petits côtés (E/O) sont formés par le bord de la fosse. Le tout est recouvert de quatre dalles horizontales relativement plates et d'un bloc à la verticale du petit côté est. Cet ensemble semble visiblement en place et pourtant le squelette de l'individu est totalement bouleversé (perturbation d'un fouisseur ou ouverture de la sépulture ?).

Orientation : E-O

- Mensurations de l'os coxal G (cf. fig. 35) : masculin possible (courbe aile iliaque sinueuse - grande échancrure fermée autour de 90 °)

A-B (b2)	A-C	B-C	H-C (b1)	b3	b4
10.8 mm	8.4 mm	5.1 mm	4.4 mm	39.3 mm	34.4 mm



Fig. 35 : Mensurations sur l'os coxal G

SITE : Erreruyk 2013	Date : 11/09/13	Nourrisson entre 1,08 et 2,42 ans	Secteur : Sond 3
			N° Tombe : 90
			N° US : 1311

Sép. primaire <input checked="" type="checkbox"/>	Sign. externe <input type="checkbox"/>	Esp. vide <input checked="" type="checkbox"/>	Mobilier :
Sép. second. <input type="checkbox"/>	Str. interne <input checked="" type="checkbox"/>	Espace colmaté <input type="checkbox"/>	
Sép. perturbée <input type="checkbox"/>	Mobilier <input type="checkbox"/>	Esp. ? <input type="checkbox"/>	

<table border="1" style="margin: auto;"> <tr><td>E</td><td>I</td><td>E</td><td>I</td><td>I</td><td>I</td><td>I</td><td>E</td><td>I</td><td>E</td></tr> <tr><td>E</td><td>I</td><td>E</td><td>I</td><td>I</td><td>I</td><td>I</td><td>E</td><td>I</td><td>E</td></tr> </table>	E	I	E	I	I	I	I	E	I	E	E	I	E	I	I	I	I	E	I	E	<table border="1" style="margin: auto;"> <tr><td></td><td>N</td><td></td><td></td><td></td><td></td><td></td><td></td><td></td><td>N</td><td></td><td></td></tr> <tr><td></td><td>N</td><td></td><td></td><td></td><td></td><td></td><td></td><td></td><td>N</td><td></td><td></td></tr> </table>		N								N				N								N			
E	I	E	I	I	I	I	E	I	E																																					
E	I	E	I	I	I	I	E	I	E																																					
	N								N																																					
	N								N																																					

LEGENDE DES DIAGRAMMES DENTAIRES

- I Dent présente au niveau occlusal
- E Dent présente, en éruption
- N Dent présente mais non sortie
- Dent isolée et identifiée avec certitude
- L Elément isolé et identifiée en cours de calcification
- ? Dent isolée dont l'identification n'est que supposée
- Agénésie dentaire
- Dent perdue ante mortem (résorption alvéolaire)

Commentaire :

Cervicales	Thoraciques	Lombaires
1	1	1
2	2	2
3	3	3
4	4	4
5	5	5
6	6	6
7	7	7
	8	
	9	
	10	
	11	
	12	

<input checked="" type="checkbox"/> Région présente et identifiée avec certitude
<input type="checkbox"/> Région fragmentée
<input type="checkbox"/> Situation exacte inconnue

UMR 5009 CNRS d'après T. S. Co stand de Westermann et C. Meilke/John. modifié par P. Co urnaud, H. Dudyet M. Guillon. Info modification M. Cou teau (ARAF)

▣ SOND 3B - SEP 90 us 1311 :

Description anthropologique :

Age au décès : nourrisson entre 1,08 et 2,42 ans

Stade dentaire (cf. fig. 36 & 37) :

Les incisives déciduales supérieures et inférieures G et Dr (51-52-61-62-71-72-81-82) sont sorties et leur racine est édiflée.

Les canines déciduales supérieures et inférieures G et Dr (53-63-73-83) sont en cours d'éruption et leur racine est édiflée aux 2/3.

Les premières molaires déciduales supérieures et inférieures G et Dr (54-64-74-84) sont sorties et seul leur apex n'est pas édiflé ;

Les deuxièmes molaires déciduales supérieures et inférieures G et Dr (55-65-75-85) sont en cours d'éruption et leur racine est édiflée à 1/2.

Les incisives centrales définitives supérieures Dr et G (11-21) sont incluses et leur couronne est édiflée aux 2/3.

Les premières molaires définitives supérieures et inférieures G et Dr (16-26-36-46) sont incluses et leur couronne est édiflée à 1/2.



Fig. 36 & 37 : stade d'évolution dentaire du maxillaire et de la mandibule

Sexe : féminin possible

Type de sépulture : individuelle primaire

Altitude supérieure maximale :

Altitude supérieure minimale :

Position du squelette :

- Décubitus dorsal.
- Tête à l'ouest, face supérieure.
- Membres supérieurs symétriques :
 - membre supérieur G fléchi (abduction), coude éloigné du corps formant un angle d'environ 45°, main en pronation sur le sternum (position haute).
 - membre supérieur Dr fléchi (adduction), coude serré contre le corps formant un angle d'environ 90°, main en pronation sur l'abdomen (position moyenne).
- Membres inférieurs symétriques en extension, genoux rapprochés légèrement surélevés, pieds joints probablement verticaux contre la paroi est

Lésions pathologiques macroscopiques :

Aucune pathologie n'a été décelée.

Description taphonomique :

- Phase initiale de décomposition : espace vide mais confiné par la présence probable d'un linceul contraignant au niveau des membres inférieurs.

- Le crâne : en légère surélévation, il est en position primaire visible en face supérieure, la mandibule est fermée et l'articulation temporo-mandibulaire est étroite. Crâne atlas et atlas axis sont en jonction étroite et visible en face antérieure.

- le rachis : Le bloc cervical C3-C7 est en connexion lâche et visible en face antéro-supérieure. L'ensemble des thoracique sont dans un axe sagittal strict, les corps sont en connexion lâche et ont basculé vers le bas de sorte que leur face d'apparition est antéro-supérieure. Les lombaires son en connexion stricte visible en face antérieure et présente une torsion convexe vers la Dr. L'ensemble des sacrées sont visibles en face antéro supérieure.

- La ceinture scapulaire : La ceinture scapulaire G est légèrement surélevée entraînant le détachement de l'articulation scapulo humérale, la scapula G est visible en face antérieure et la clavicule en face antéro-supérieure. La scapula Dr est en face d'apparition latérale et en connexion lâche au niveau de la jonction scapulo-humérale, la clavicule apparait en face antérieure.

- Le thorax : le grill costal G présente une mise à plat complète avec les côtes en face d'apparition supérieure. Le grill costal Dr a une mise à plat partielle avec face d'apparition antéro-supérieure. Le sternum est en position secondaire après avoir basculé sur le côté Dr du bloc supérieur des thoraciques.

- Le membre supérieur G : humérus en position primaire visible en face antérieure, coude en connexion étroite. Radius et ulna sont sensiblement parallèles suite à une légère dislocation des épiphyses distales respectivement visible en face latérale et postérieure. L'ensemble des os du carpe et des articulations métacarpo-phalangiennes sont disloquées au niveau de la région sternale.

- Le membre supérieur Dr : humérus en position secondaire après rotation axiale vers l'axe médian du corps, visible en face postérieure, coude en connexion lâche. Radius et ulna sont parallèles en position primaire en face d'apparition postérieure. La main est en connexion lâche au niveau du carpe et des phalanges posée sur l'abdomen.

- La ceinture pelvienne : elle est ouverte, les os coxaux sont visible en face médiale, les jonction coxo fémorale sont étroites.

- Le membre inférieur G : fémur en position secondaire suite à une rotation axiale vers l'axe médian du corps, visible en face latérale, genou en connexion lâche. Tibia en position primaire en face d'apparition antérieure, la fibula est déplacée et se trouve posée sur le tiers distal du fémur Dr. Le tarse postérieur est en connexion étroite visible en face antérieure, les articulations métatarso-phalangienne sont disloquées.

- Le membre supérieur Dr : Fémur en position primaire visible en face antérieure, genou en connexion étroite. Tibia et fibula sont parallèles en position primaire et en face d'apparition antérieure. Le tarse postérieur est en connexion étroite visible en face antérieure, les articulations métatarso-phalangienne sont disloquées.

Type d'architecture funéraire :

Inhumation abritant un individu immature. Fosse sépulcrale aux limites nettes relativement large de forme oblongue à fond plat. Le grand côté nord est formé de quatre moellons, le sud de trois. Chaque petit côté (E/O) sont fermé chacun par un moellon. Le tout est couvert par deux dalles horizontales sensiblement plates couvrant les deux tiers est de la sépulture, la troisième qui devait couvrir le tiers ouest a disparu. La disposition de l'individu plaide en faveur de la présence d'un linceul contraignant au niveau des membres inférieurs.

Orientation : E-O.

- Mensurations de l'os coxal Dr (cf. fig. 38) :

A-B (b2)	A-C	B-C	H-C (b1)	b3	b4
24.1 mm	15.3 mm	10.3 mm	5.4 mm	63.2 mm	55.6 mm

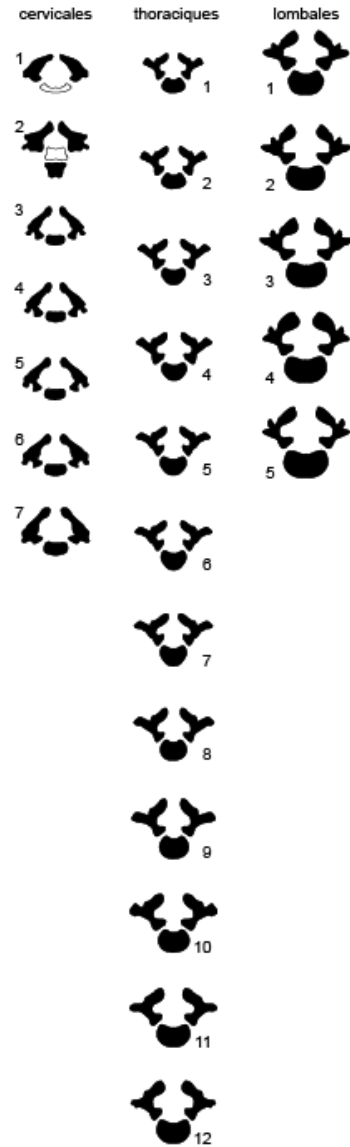
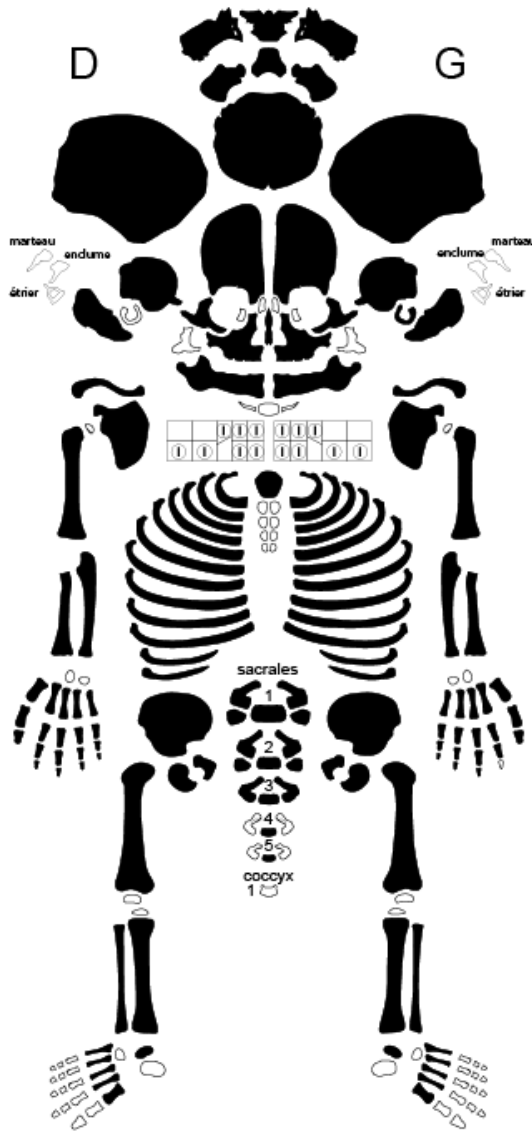


Fig. 38 : Mensurations sur l'os coxal Dr

SITE : Ereruyk 2013	Date : 10/09/13	Nourrisson entre 0,04 et 0,5 ans	Secteur : SOND 3B	N° Tombe : 91
			N° US : 1314	

Sép. primaire		Esp. vide		Sign. externe	
Sép. second.		Espace colmaté		Str. interne	
Sép. détruite		Esp. ?		Mobilier	

Mobilier :
Présence de lambeaux de deux tissus différents en contact avec le squelette (linceul)



LEGENDE : Codes de conservation des os

	Région présente et identifiée avec certitude
	Région fragmentée
	ou Situation exacte inconnue
	ou Niveau, rang, latéralisation incertain

LEGENDE DES DIAGRAMMES DENTAIRES

	Germe présent in situ
	Germe présent mais isolé
	Un de ces élément est présent
	L'identification de l'élément isolé n'est que supposée

D'après Pascal SELLIER UMR 5809 du CNRS, Laboratoire d'anthropologie des populations du passé, Université de Bordeaux I, avenue des Facultés, 33405 Talence cedex (adapté de TILLIER & DUDAY, 1997)

▣ SOND 3B - SEP 91 us 1314 :

Description anthropologique :

Age au décès : nourrisson entre 0,04 et 0,5 an.

Stade dentaire (cf. fig. 39 & 40) :

Les incisives déciduales centrales et latérales supérieures et inférieures G et Dr (51-52-61-62-71-72-81-82) sont incluses, leurs couronnes sont édifiées.

Les canines déciduales supérieures Dr et G (53-63) sont incluses et leurs couronnes sont édifiées à $\frac{1}{2}$.

Les premières molaires déciduales supérieures et inférieures G et Dr (54-64-74-84) sont incluses et leurs couronnes sont édifiées à $\frac{1}{2}$.

Les deuxièmes molaires déciduales supérieures et inférieures G et Dr (55-65-75-85) sont incluses et leurs couronnes sont édifiées aux $\frac{1}{3}$.

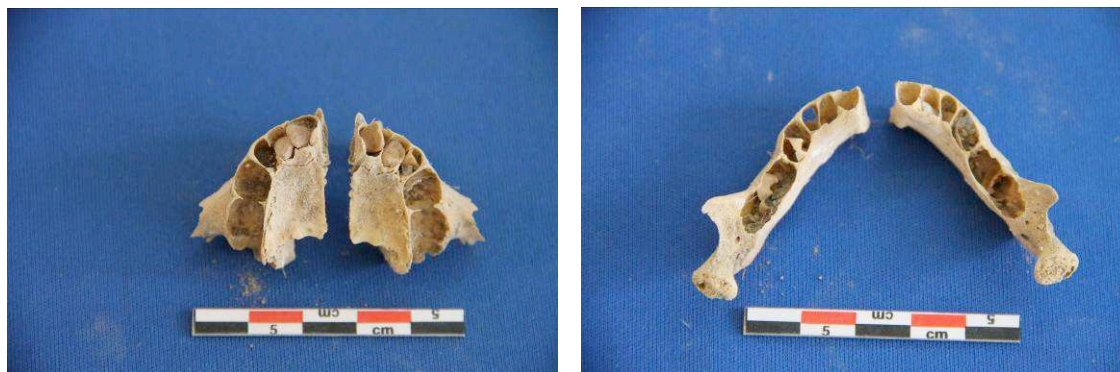


Fig. 39 & 40 : stade d'évolution dentaire du maxillaire et de la mandibule

Les lignes de synostoses des 3 éléments composant les os temporaux G sont encore visibles et en début de fermeture. L'écaille du temporal Dr n'est pas encore soudée

Sexe : féminin possible

Type de sépulture : individuelle primaire

Altitude supérieure maximale :

Altitude supérieure minimale :

Position du squelette :

- Décubitus dorsal.
- Tête à l'ouest, face supéro-latérale Dr.
- Membres supérieurs symétriques :
 - membre supérieur G légèrement fléchi (adduction), coude serré contre le corps formant un angle supérieur à 150° , main en pronation sur le coxal G (position basse).
 - membre supérieur Dr légèrement fléchi (adduction), coude serré contre le corps formant un angle supérieur à 150° , main en pronation sur le coxal Dr (position moyenne).
- Membres inférieurs symétriques en extension, genoux relativement écartés et probablement surélevés et pieds probablement serrés.

Lésions pathologiques macroscopiques :

Aucune pathologie n'a été décelée.

Description taphonomique :

- Phase initiale de décomposition : espace colmaté.

- Le crâne : en position primaire et effondré sur lui-même suite à la disparition des régions cartilagineuse, il est visible en face supéro-latérale Dr. La mandibule est déplacée.

- le rachis : seul le bloc cervical de C3 à C7 est observable en connexion étroite et visible en face antérieure. L'ensemble des thoraciques sont en connexion étroites mais seuls les arcs vertébraux sont apparents les corps étant déplacés. Le bloc lombaire est bouleversé et en connexion lâche. Les sacrées sont en connexion lâche.

- La ceinture scapulaire : les scapulas sont en position primaire visibles en face latérale avec effet de compression. Les jonctions scapulo-humérales sont étroites. La clavicule G est déplacée et la Dr est visible en face supérieure.

- Le thorax : mise à plat partielle liée à la présence du linceul et au colmatage, les côtes apparaissent sternale, les jonctions costo-vertébrales sont étroites.

- Le membre supérieur G : humérus visible en face antéro-latérale, il a subi un déplacement de la zone distale sans répercussion sur l'articulation de l'épaule, articulation du coude déplacé. Radius et ulna sont parallèles mais le radius a subi une rotation axiale vers l'extérieur de sorte qu'il est visible en face postérieure, l'ulna en position primaire est en face médiale. L'ensemble des articulations carpiennes et métacarpo-phalangiennes sont disloquées au niveau du coxal G confirmé par l'axe donné par l'avant-bras.

- Le membre supérieur Dr : humérus visible en face antérieure, il a subi un déplacement de la zone distale sans répercussion sur l'articulation de l'épaule, articulation du coude déplacé. Le radius est déplacé et l'ulna en position primaire est visible en face médiale. L'ensemble des articulations carpiennes et métacarpo-phalangiennes sont disloquées au niveau du coxal Dr confirmé par l'axe donné par l'avant-bras

- La ceinture pelvienne : elle est ouverte et les os coxaux sont visibles en face médiale. Les connexions coxo-fémorales sont déplacées.

- Le membre inférieur G : en position secondaire avec glissement vers l'axe médian du corps, le fémur est visible en face antéro-inférieure, genou en connexion déplacée. Tibia et fibula en connexion étroite mais en position secondaire après rotation axiale vers l'extérieur laissant apparaître la face médiale. L'ensemble des articulations tarsiennes et métatarso-phalangiennes sont disloquées mais dans leur zone d'origine.

- Le membre supérieur Dr : fémur en position primaire visible en face antérieure, genou en connexion déplacée après glissement de l'ensemble tibia fibula visible en face postérieure. L'ensemble des articulations tarsiennes et métatarso-phalangiennes sont disloquées mais dans leur zone d'origine.

Type d'architecture funéraire :

Inhumation abritant un individu immature. Fosse sépulcrale en pleine terre de forme allongée aux limites nettes et étroites à fond plat. Elle est couverte par trois dalles horizontales. La présence d'un linceul est attestée par la découverte de lambeaux de tissus de deux trames différentes (cf. fig. 40 bis) trouvés directement en contact avec le squelette.

Orientation : E-O



Fig. 40 bis : tissus en contact avec le squelette

- Mensurations de l'os coxal (cf. fig. 41) : féminin possible (courbe aile iliaque peu sinueuse - grande échancrure relativement ouverte supérieure à 90 °)

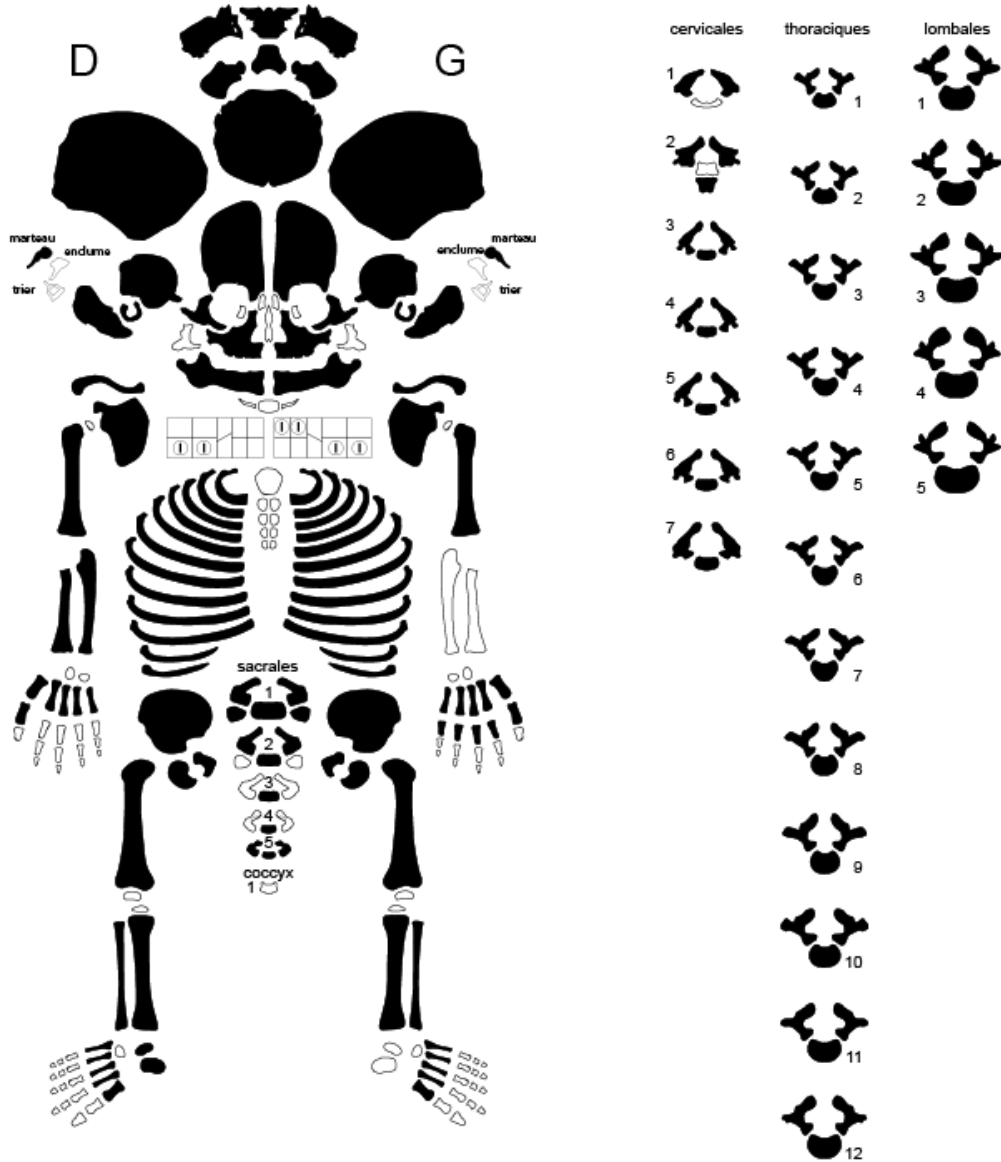
A-B (b2)	A-C	B-C	H-C (b1)	b3	b4
9.8 mm	6.9 mm	5.1 mm	3.6 mm	33 mm	27.6 mm



Fig. 41 : Mensurations sur l'os coxal G

SITE : Ereruyk 2013	Date : 12/09/13	Nourrisson entre 0 et 0,3 ans	Secteur : SOND 3B	N° Tombe : 94	
			N° US : 1323		
S p. primaire		Esp. vide		Sign. externe	
S p. second.		Espace colmat		Str. interne	
S p. d truite		Esp. ?		Mobilier	

Mobilier :
US



LEGENDE : Codes de conservation des os

	Région présente et identifiée avec certitude
	Région fragmentée
	ou Situation exacte inconnue
	ou Niveau, rang, latéralisation incertain

LEGENDE DES DIAGRAMMES DENTAIRES

	Germe présent in situ
	Germe présent mais isolé
	Un de ces élément est présent
	L'identification de l'élément isolé n'est que supposée

D'après Pascal SELLIER UMR 5809 du CNRS, Laboratoire d'anthropologie des populations du passé, Université de Bordeaux I, avenue des Facultés, 33405 Talence cedex (adapté de TILLIER & DUDAY, 1997)

▣ SOND 3B - SEP 94 us 1323 :

Description anthropologique :

Age au décès : nourrisson entre 0 et 0,3 an.

Stade dentaire (cf. fig. 42 & 43) :

Les incisives déciduales centrales et latérales supérieures G (61-62) sont incluses, leurs couronnes sont édifiées aux $\frac{3}{4}$.

Les premières molaires déciduales supérieures et inférieures G et Dr (54-64-74-84) sont incluses et leurs couronnes sont édifiées à $\frac{1}{2}$.

Les deuxièmes molaires déciduales supérieures et inférieures G et Dr (55-65-75-85) sont incluses et les cuspidés des couronnes sont reliées entre elles par un filet d'émail (coalescences).



Fig. 42 & 43 : stade d'évolution dentaire du maxillaire et de la mandibule

Sexe : féminin possible

Type de sépulture : individuelle primaire

Altitude supérieure maximale :

Altitude supérieure minimale :

Position du squelette :

- Décubitus dorsal.
- Tête à l'ouest, face antérieure.
- Membres supérieurs probablement symétriques :
 - membre supérieur G légèrement fléchi (abduction), coude éloigné du corps formant un angle supérieur à 150° , main en pronation à l'extérieur du fémur G (position basse).
 - membre supérieur Dr légèrement fléchi (abduction), coude éloigné du corps formant un angle supérieur à 150° , main en pronation à l'extérieur du fémur Dr (position basse).
- Membres inférieurs asymétriques :
 - Membre inférieur G en flexion posé sur sa face latérale, genou ayant un angle supérieur à 90° .
 - membre inférieur Dr en extension.

Lésions pathologiques macroscopiques :

Aucune pathologie n'a été décelée.

Description taphonomique :

- Phase initiale de décomposition : espace vide

- Le crâne : visible en face supérieure et en position primaire, il s'est effondré sur lui-même suite à la dislocation des zones cartilagineuses. La mandibule est fermée et l'articulation temporo-mandibulaire est étroite

- le rachis : seul le bloc cervical de C3 à C7 est observable en connexion étroite et visible en face antérieure. Les thoraciques et les lombaires sont en connexions lâches suite au basculement vers le bas des corps lors de la disparition des zones cartilagineuses, les corps sont visibles en face antéro-supérieure. Les sacrées sont en connexions étroites visibles en face antérieure.

- La ceinture scapulaire : les scapula sont en position primaire et en face d'apparition antérieure. Les clavicules sont déplacées et visibles en face supérieure. L'articulation scapulo-humérale G est déplacée suite au glissement de l'humérus. La Dr est en connexion lâche.

- Le thorax : mise à plat complètes des côtes visibles en face antéro-supérieure, les jonctions costo-vertébrales sont étroites, Les différents points d'ossification du sternum sont restés plus ou moins dans leur position d'origine.

- Le membre supérieur G : en position secondaire après glissement vers le bas l'humérus est visible en face antérieure. Les radius et ulna ne sont pas conservés mais les articulations métacarpo-phalangiennes retrouvées disloquées se situent à l'extérieur du fémur G.

- Le membre supérieur Dr : en position primaire l'humérus est visible en face antérieure, coude en connexion étroite. Radius et ulna sont en connexion étroites, parallèles et visible respectivement en face latérale et postérieure. Les articulations métacarpo-phalangiennes retrouvées disloquées se situent à l'extérieur du fémur G

- La ceinture pelvienne : elle est ouverte et les os coxaux sont visibles en face médiale. La jonction coxo-fémorale G est lâche la Dr est étroite.

- Le membre inférieur G : en position secondaire après rotation axiale vers l'intérieur, le fémur est visible en face antérieure, genou en connexion étroite. Tibia et fibula sont en connexion étroite au niveau de leur épiphyse proximale et lâche au niveau distal, leur face d'apparition est médiale. Les éléments métatarsiens du pied ont été identifiés en position secondaire et disloqués.

- Le membre supérieur Dr : fémur en position primaire visible en face antérieure, genou en connexion étroite. Tibia et fibula sont parallèles en position primaire et en face d'apparition antérieure. Les métatarses seuls éléments conservé du pieds sont positionnés dans l'axe donné par la jambe mais totalement disloqués.

Type d'architecture funéraire :

Inhumation abritant un individu nourrisson. Fosse sépulcrale aux limites assez étroites de forme sensiblement ovoïde et à fond plat. Le grand côté nord est formé de deux dalles posées verticalement, le petit côté est d'une seule, les deux autres côtés ont été détruits. L'ensemble était couvert de deux dalles horizontales, il manque vraisemblablement la troisième qui couvrait l'extrémité ouest de la sépulture.

Orientation : E-O

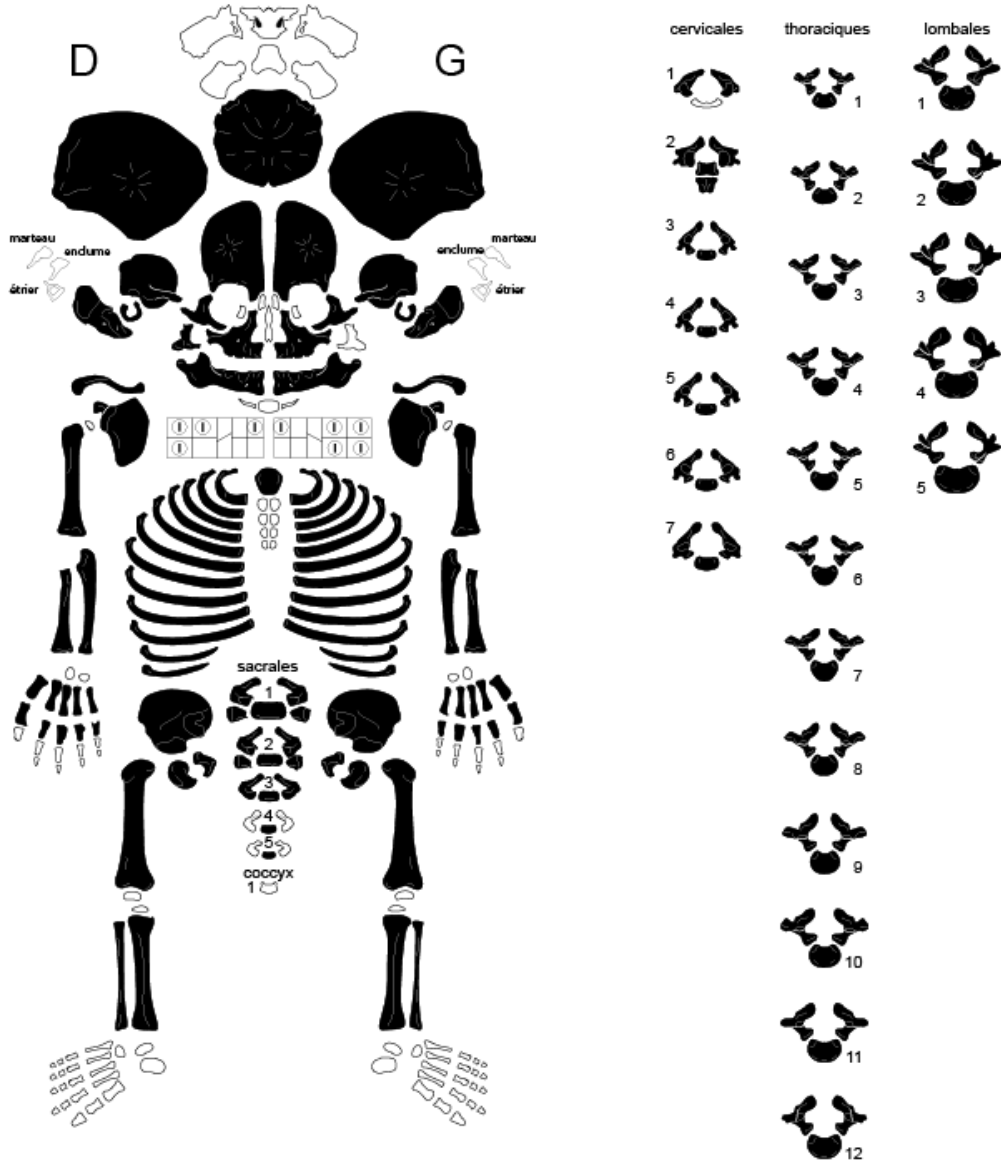
- Mensurations de l'os coxal G (cf. fig. 44) : féminin possible (courbe aile iliaque peu sinueuse - grande échancrure relativement ouverte supérieure à 90 °)

A-B (b2)	A-C	B-C	H-C (b1)	b3	b4
11.4 mm	9.4 mm	6.7 mm	3.3 mm	38.7 mm	32.3 mm



Fig. 44 : Mensurations sur l'os coxal G

SITE : Ereruyk 2013	Date : 13/09/13	Nourrisson entre 0,04 et 0,78 ans	Secteur : SOND 3B	N° Tombe : 97
			N° US : 1344	
Sép. primaire	Esp. vide	Sign. externe	Mobilier : US	
Sép. second.	Espace colmaté	Str. interne		
Sép. détruite	Esp. ?	Mobilier		



LEGENDE : Codes de conservation des os

	Région présente et identifiée avec certitude
	Région fragmentée
	ou Situation exacte inconnue
	ou Niveau, rang, latéralisation incertain

LEGENDE DES DIAGRAMMES DENTAIRES

	Germe présent in situ
	Germe présent mais isolé
	Un de ces élément est présent
	L'identification de l'élément isolé n'est que supposée

D'après Pascal SELLIER UMR 5809 du CNRS, Laboratoire d'anthropologie des populations du passé, Université de Bordeaux I, avenue des Facultés, 33405 Talence cedex (adapté de TILLIER & DUDAY, 1997)

▣ SOND 3 B- SEP 97 us 1344 :

Description anthropologique :

Age au décès : nourrisson entre 0,04 et 0,78 an.

Stade dentaire (cf. fig. 45 & 46) :

Les incisives centrales et latérales déciduales supérieures Dr et G (51-52-61-62) ont leurs couronnes édifiées et sont en début d'éruption.

Les canines supérieures déciduales Dr et G (53-63) sont incluses et leur couronne est édifiée aux $\frac{3}{4}$.

Les premières molaires déciduales supérieures et inférieures G et Dr (54-64-74-84) sont incluses et leurs couronnes sont édifiées aux $\frac{2}{3}$.

Les deuxièmes molaires déciduales supérieures et inférieures G et Dr (55-65-75-85) sont incluses et leurs couronnes sont édifiées au $\frac{1}{3}$.



Fig. 45 & 46 : stade d'évolution dentaire du maxillaire et de la mandibule

Les différentes zones de séparation des 3 éléments des temporaux sont en cours de fermetures.

Sexe : masculin possible

Type de sépulture : individuelle primaire

Altitude supérieure maximale :

Altitude supérieure minimale :

Position du squelette :

- Décubitus dorsal.
- Tête à l'ouest, face antérieure indiquée par le seul élément en place du neurocrâne (occipital).
- Membres supérieurs symétriques :
 - membre supérieur G fléchi (abduction), coude éloigné du corps formant un angle d'environ 90° , main en pronation sur l'abdomen (position moyenne).
 - membre supérieur Dr fléchi (abduction), coude éloigné du corps formant un angle d'environ 90° , main en pronation sur l'abdomen (position moyenne).
- Membres inférieurs asymétriques :
 - membre inférieur G en flexion avec surélévation du genou.
 - membre inférieur Dr en extension.

Lésions pathologiques macroscopiques :

Aucune pathologie n'a été décelée.

Description taphonomique :

- Phase initiale de décomposition : espace vide

- Le crâne : à l'origine le crâne devait être visible en vue supérieure, cette information est donnée par la partie basilaire de l'occipital resté en position primaire. L'ensemble du neurocrâne s'est disloqué suite à la disparition des régions cartilagineuses, l'occipital a basculé en arrière les autres éléments crâniens se sont déplacés jusque dans la région du membre inférieur Dr (flottaison ou intervention d'un fouisseur ?). Du splanchnocrâne seule l'hémi-mandibule G est en position primaire

- le rachis : les éléments du rachis qui ont pu être maintenus en place indique que l'ensemble du rachis est en connexion étroites et les vertèbres sont visibles en face antérieure.

- La ceinture scapulaire : La scapula G est en position primaire et visible en face antérieure, la jonction scapulo-humérale est en connexion étroite. La scapula Dr est déplacée mais toujours visible en face antérieure. Les clavicules sont bouleversées.

- Le thorax : mise à plat complète des côtes avec effet de compression sur le grill costal G, les côtes G sont visibles en face supérieure alors que les Dr en face antérolatérale. Les jonctions costo-vertébrales sont étroites.

- Le membre supérieur G : humérus en position primaire visible en face antérolatérale, coude en connexion étroite avec l'ulna et déplacé avec le radius, ils sont visibles respectivement en face latérale et antérieure. Les éléments métacarpo-phalangiens conservés sont disloqués dans la région de l'abdomen.

- Le membre supérieur Dr : humérus en position secondaire visible en face antérieure coude en connexion étroite avec l'ulna et déplacé avec le radius, ils sont visible respectivement en face latérale et postérieure. Les éléments métacarpo-phalangiens conservés sont disloqués dans la région de l'abdomen.

- La ceinture pelvienne : elle est ouverte, les os coxaux apparaissent en face médiale, les jonctions coxo-fémorales sont lâches.

- Le membre inférieur G : fémur en position primaire et verticalisé visible en face antéro-inférieure, genou en connexion lâche. Glissement de l'ensemble tibia fibula, cette dernière est recouverte par le tibia visible en face médiale. Aucun élément du pied n'est conservé.

- Le membre supérieur Dr : fémur en position primaire visible en face antérieure, genou en connexion lâche. Tibia et fibula sont en connexion étroite, parallèles, en face antérieure d'apparition. Aucun élément du pied n'est conservé.

Type d'architecture funéraire :

Inhumation abritant un individu nourrisson. Fosse sépulcrale aux limites relativement larges de forme sensiblement trapézoïdale et à fond plat. Chaque grand côté (N/S) est formé de deux dalles posées verticalement. Le petit côté ouest est fermé par un moellon celui à l'est passe sous sa structure 6. Une dalle horizontale couvrait l'ensemble. A noter que la majeure partie des éléments crâniens sont dispersés sur l'ensemble de la sépulture (flottaison possible en espace vide).

Orientation : E-O.

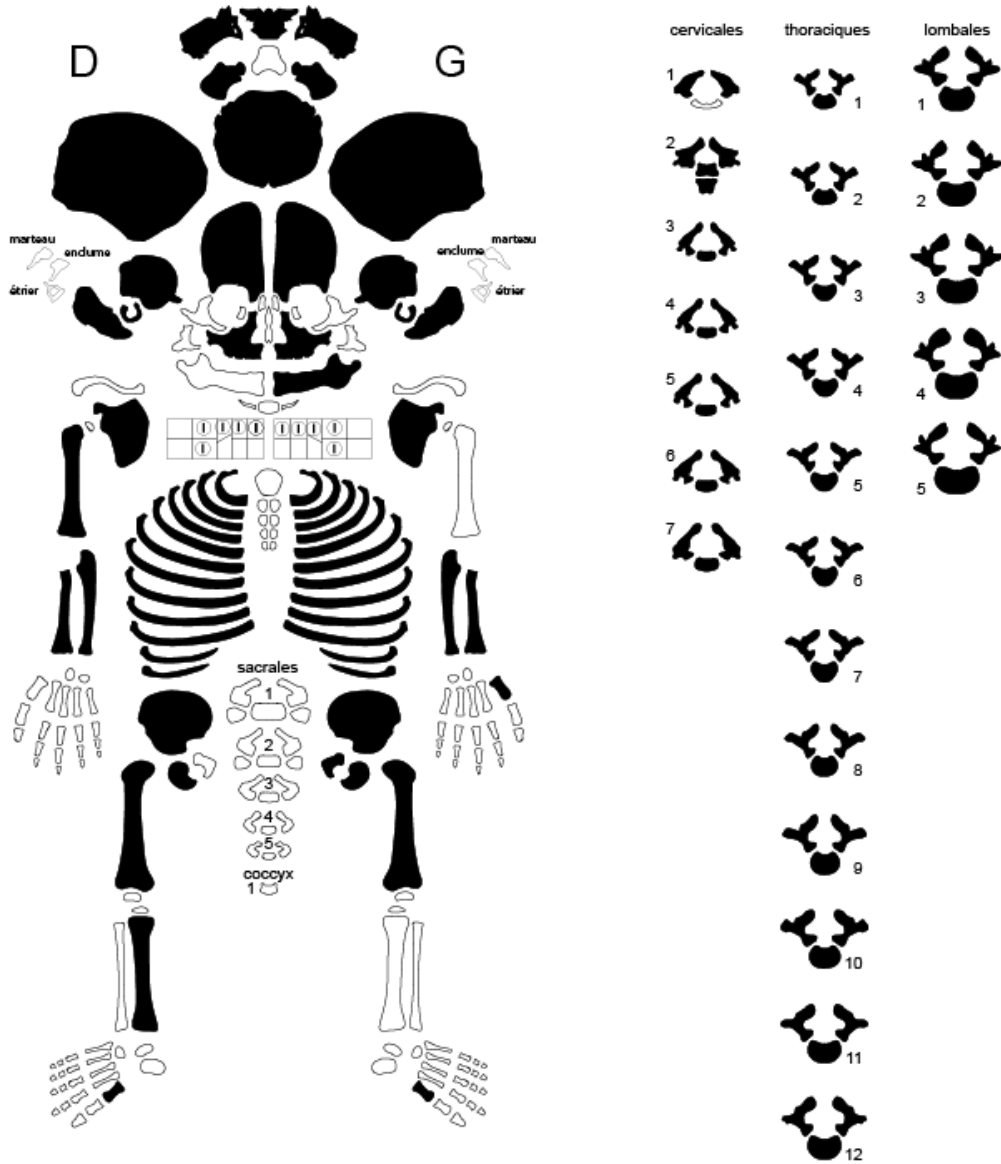
- Mensurations de l'os coxal Dr (cf. fig. 47) : masculin possible (courbe aile iliaque sinueuse - grande échancrure fermée autour de 90 °)

A-B (b2)	A-C	B-C	H-C (b1)	b3	b4
9.8 mm	6.8 mm	4.6 mm	3.6 mm	34 mm	30.1 mm



Fig. 47 : Mensurations sur l'os coxal Dr

SITE : Ereruyk 2013	Date : 14/09/13	Nourrisson entre 0,04 et 0,5 ans	Secteur : SOND 3B	N° Tombe : 99
			N° US : 1351	
Sép. primaire		Esp. vide		Mobilier : US
Sép. second.		Espace colmaté		
Sép. détruite		Esp. ?		
		Sign. externe		
		Str. interne		
		Mobilier		



LEGENDE : Codes de conservation des os

	Région présente et identifiée avec certitude
	Région fragmentée
	ou Situation exacte inconnue
	ou Niveau, rang, latéralisation incertain

LEGENDE DES DIAGRAMMES DENTAIRES

	Germe présent in situ
	Germe présent mais isolé
	Un de ces élément est présent
	L'identification de l'élément isolé n'est que supposée

D'après Pasca / SELLIER UMR 5809 du CNRS, Laboratoire d'anthropologie des populations du passé, Université de Bordeaux I, avenue des Facultés, 33405 Talence cedex (adapté de TILLIER & DUDAY, 1990)

▣ SOND 3 B - SEP 99 us 1351 :

Description anthropologique :

Age au décès : nourrisson entre 0,04 et 0,5 an.

Stade dentaire (cf. fig. 48 & 49) :

Incisives centrales et latérales déciduales supérieures Dr et G (51-52-61-62) incluses avec couronne édiflée.

Canines supérieures déciduales supérieures Dr et G (53-63) incluses avec couronne édiflée à ½ .

Premières molaires supérieures et inférieures déciduales Dr et G (54-64-74-84) incluses avec couronne édiflée à environ 1/3.



Fig. 48 & 49 : stade d'évolution dentaire du maxillaire et de la mandibule.

Les différentes zones de séparation des 3 éléments des temporaux sont en cours de fermetures.

Sexe : féminin possible

Type de sépulture : individuelle primaire

Altitude supérieure maximale :

Altitude supérieure minimale :

Position du squelette :

- Décubitus dorsal.
- Tête à l'ouest, face antérieure indiquée par le seul élément en place du neurocrâne (occipital).
- Membres supérieurs : position indéterminée
- Membres inférieurs : position indéterminée.

Lésions pathologiques macroscopiques :

Aucune pathologie n'a été décelée.

Description taphonomique :

- Phase initiale de décomposition : espace vide.

- Le crâne
- le rachis :
- La ceinture scapulaire :
- Le thorax :
- Le membre supérieur G :
- Le membre supérieur Dr :
- La ceinture pelvienne :
- Le membre inférieur G :
- Le membre supérieur Dr :

Type d'architecture funéraire :

Inhumation abritant un individu nourrisson. Fosse sépulcrale aux limites étroites de forme sensiblement trapézoïdale et à fond plat. Chaque grand côté (N/S) est formé par deux dalles posées verticalement et le côté est par le rocher. L'ensemble était couvert par deux dalles horizontales dont une a versé à l'intérieur de la sépulture. La majeure partie du squelette est dispersé seul le grill costal et l'occipital sont en position primaire.

Orientation : E-O.

- Mensurations de l'os coxal G (cf. fig. 50) : féminin possible (courbe aile iliaque peu sinueuse - grande échancrure relativement ouverte supérieure à 90 °)

A-B (b2)	A-C	B-C	H-C (b1)	b3	b4
11.1 mm	5.4 mm	7.1 mm	3 mm	13 mm	19.4 mm



Fig. 50 : Mensurations sur le coxal G

SITE : Ereruyk 2013	Date : 14/09/13	Adulte âgé Masculin	Secteur : SOND 3B	N° Tombe : 100
			N° US : 1355	

Sép. primaire		Esp. vide		Sign. externe		Mobilier :
Sép. second.		Espace colmaté		Str. interne		
Sép. arasée		Esp. ?		mobilier		

LEGENDE DES DIAGRAMMES DENTAIRES

- I Dent présente au niveau occlusal
- E Dent présente, en éruption
- N Dent présente mais non sortie
- L Dent isolée et identifiée avec certitude
- ? Dent isolée dont l'identification n'est que supposée
- X Agénésie dentaire
- X Dent perdue ante mortem (Résorption alvéolaire)

Cervicales	Thoraciques	Lombaires

Commentaire :

	Région présente et identifiée avec certitude
	Région fragmentée
	Situation exacte Inconnue
	Droite ou Gauche ?

UMR 5809 CNRS chirp de T.S. Constandou - Westermann et C. Makajohn, modifié par M. Guillou, F. Sallier et P. Courcaud, Information M. Courcaud (AFAN)

▣ SOND 3B - SEP 100 us 1355 :

Description anthropologique :

Age au décès : Adulte âgé au-delà de 50 ans

Sexe : Masculin

Stature estimée : 163 cm +/- 5 cm

Type de sépulture : individuelle primaire

Altitude supérieure maximale :

Altitude supérieure minimale :

Position du squelette :

- Décubitus dorsal.
- Tête à l'ouest.
- Membres supérieurs asymétriques :
 - membre supérieur G fléchi (adduction), coude proche du corps, angle à environ 120°, main en pronation posée sur le pubis (position basse).
 - membre supérieur Dr en extension (adduction), coude proche du corps, main avec une angulation par rapport à l'axe donné par l'avant bras, en pronation sur l'os coxal Dr et en partie sur la main G (position basse).
- Membres inférieurs symétriques en extension, genoux écartés, pieds légèrement rapprochés.
 - membre inférieur G sur sa face latérale, pieds G en connexion étroite posé sur sa face externe.
 - membre inférieure avec pied Dr dans l'axe effondré en connexion lâche sur sa face inférieure.

Lésions pathologiques macroscopiques :

Nombreuses exostoses au niveau des surfaces sacro pelviennes des deux coxaux.

Importante fracture avec cale de consolidation intéressant l'épiphyse distale du tibia G et ayant englobé le talus (fig. 51). Au niveau du 1/3 proximal de la diaphyse on note un épaissement de la corticale et un gonflement du fût diaphysaire (périostite - cf. fig. 52) conséquence possible de la fracture

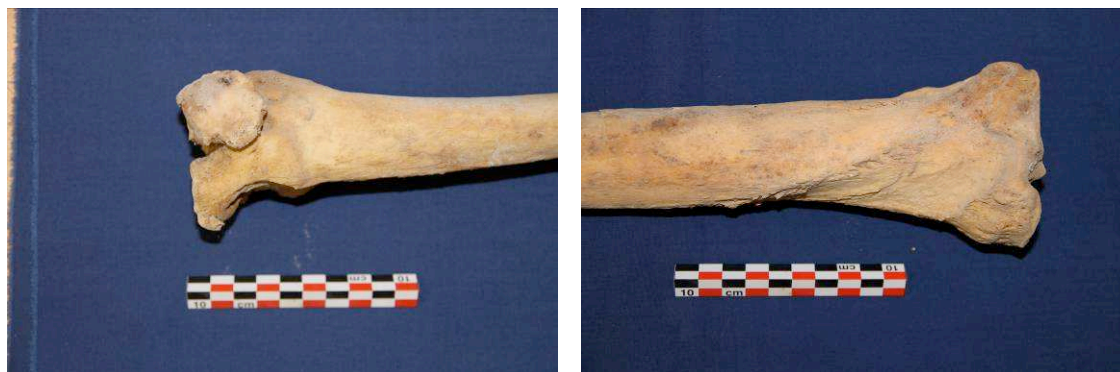


Fig. 51 : fracture avec formation d'une cale englobant le talus - Fig. 52 : épaissement de la corticale

Description taphonomique :

- Phase initiale de décomposition : espace colmaté.

- Le crâne :
- Le rachis :
- La ceinture scapulaire :
- Le thorax :
- Le membre supérieur G :
- Le membre supérieur Dr :
- La ceinture pelvienne
- Le membre inférieur G :
- Le membre inférieur Dr :

Estimation de l'âge à partir de la surface sacro pelvienne :

Coxal G (cf. fig. 53) : adulte probablement âgé avec probabilité à 90 % \geq 50 ans

- SSPI A : 2 (absence d'organisations de stries ou d'ondulations transverses)
- SSPI B : 4 (granulation grossière et porosités profondes)
- SSPI C : 2 (bord émoussé et légèrement épaissi)
- SSPI D : 2 (remaniement osseux et enthèse fine)



Fig. 53 : Etat de surface sacro pelvienne

Détermination du sexe à partir de la DSP : masculin à 100 %

Pum	Spu	Dcox	limt	lsmm	Scox	Ss	Sa	Sis	Veac
71.6 mm	32.7 mm	227.9 mm	40.5 mm	120.1 mm	161.3 mm	68.9 mm	73.6 mm	39.4 mm	59 mm

Type d'architecture funéraire :

Inhumation abritant un individu adulte. Seule la moitié est de la sépulture a pu être fouillée, la partie visible indique une fosse aux limites relativement large de forme oblongue à fond plat.

Chaque grand côté (N/S) dans la portion visible est formé par deux dalles posées verticalement. Une dalle horizontale couvrait l'ensemble.

Son implantation a perturbée la partie ouest de la sépulture 70.

Orientation : E-O.

SITE : Ereruyk 2013	Date : 17/09/13	Immature entre 5 et 6 ans	Secteur : SOND 3B	N° Tombe : 102
			N° US : 1368	

Sép. primaire <input checked="" type="checkbox"/>	Esp. vide <input type="checkbox"/>	Sign. externe <input type="checkbox"/>
Sép. second. <input type="checkbox"/>	Espace colmaté <input checked="" type="checkbox"/>	Str. interne <input type="checkbox"/>
Sép. détruite <input checked="" type="checkbox"/>	Esp. ? <input type="checkbox"/>	Mobilier <input type="checkbox"/>

LEGENDE DES DIAGRAMMES DENTAIRES

- I Dent présente au niveau occlusal
- E Dent présente, en éruption
- N Dent présente mais non sortie
- Dent isolée et identifiée avec certitude
- L Element isolé et identifiée en cours de calcification
- ? Dent isolée dont l'identification n'est que supposée
- Agénésie dentaire
- Dent perdue ante mortem (Résorption alvéolaire)

Commentaire :

Cervicales	Thoraciques	Lombaires

	Region présente et identifiée avec certitude
	Region fragmentée
	Situation exacte inconnue

UMR 5009 CNRS d'après: T. S. Coats et al., Westermann et C. Meilichamp, modifié par P. Coats et al., H. Duda et M. Guillou, inf. modification M. Coubeau (ARAN)

▣ SOND 3B - SEP 102 us 1368 :

Description anthropologique :

Age au décès : immature entre 5 et 6 ans.

Sexe : féminin possible

Type de sépulture : individuelle primaire

Altitude supérieure maximale :

Altitude supérieure minimale :

Position du squelette :

- Décubitus dorsal.
- Tête à l'ouest, d'après la position des membres inférieurs
- Membres supérieurs : position indéterminée
- Membres inférieurs symétriques en extension, genoux légèrement rapprochés.

Lésions pathologiques macroscopiques :

Aucune pathologie n'a été décelée.

Description taphonomique :

- Phase initiale de décomposition : espace colmaté

- Le crâne
- le rachis :
- La ceinture scapulaire :
- Le thorax :
- Le membre supérieur G :
- Le membre supérieur Dr :
- La ceinture pelvienne :
- Le membre inférieur G :
- Le membre supérieur Dr :

Type d'architecture funéraire :

Inhumation abritant un immature. La sépulture a été en grande partie perturbée par la mise en place de la sépulture 100. Elle se trouve au nord ouest de la sépulture 70.

Orientation : E-O.

- Mensurations de l'os coxal G (cf. fig. 54) : féminin possible (courbe aile iliaque peu sinueuse - grande échancrure relativement ouverte supérieure à 90 °)



Fig. 54 : Mensurations sur l'os coxal G

SITE : Ereruyk 2013	Date : 19/09/13	Adulte mature Masculin	Secteur : SOND 3B
			N° Tombe : 103
			N° US : 1373

Sép. primaire	Esp. vide	Sign. externe	Mobilier :
Sép. second.	Espace colmaté	Str. interne	
Sép. perturbée	Esp. ?	mobilier	

LEGENDE DES DIAGRAMMES DENTAIRES

- I Dent présente au niveau occlusal
- E Dent présente, en éruption
- N Dent présente mais non sortie
- L Dent isolée et identifiée avec certitude
- ? Dent isolée dont l'identification n'est que supposée
- X Agénésie dentaire
- X Dent perdue ante mortem (Résorption alvéolaire)

Commentaire :

<p>Cervicales</p>	<p>Thoraciques</p>	<p>Lombales</p>
1	1	1
2	2	2
3	3	3
4	4	4
5	5	5
6	6	6
7	7	7
	8	8
	9	9
	10	10
	11	11
	12	12

Région présente et identifiée avec certitude

Région fragmentée

Situation exacte Inconnue

Droite ou Gauche ?

UMR 5000 CNRS d'après T.S. Constantinos - Westerman et al. C. Avelle [ph. n. mod. fr. par M. Guilford, E. Seller et P. Courty] d'informe tasi br. M. Coutu eau (AFAN)

▣ SOND 3B - SEP 103 us 1373 :

Description anthropologique :

Age au décès : adulte mature entre 40 et 60 ans

Sexe : masculin

Stature estimée : 170 cm +/- 5 cm (Longueur fémur : 456 mm)

Type de sépulture : individuelle primaire

Altitude supérieure maximale :

Altitude supérieure minimale :

Position du squelette :

- Décubitus dorsal.
- Tête à l'ouest, vue en face antéro-latérale G.
- Membres supérieurs asymétriques :
 - membre supérieur G en extension (adduction), coude proche du corps, main en pronation sur le fémur Dr (position basse).
 - membre supérieur Dr fléchi (adduction), coude proche du corps, angle à environ 120°, main en pronation posée sur le pubis (position basse).
- Membres inférieurs symétriques en extension, genoux serrés, pieds relativement proches :
 - membre inférieur G avec pied probablement vertical contre la paroi est basculé à plat dans l'axe du membre.
 - membre inférieur Dr sur sa face latérale avec pied versé sur sa face externe.

Lésions pathologiques macroscopiques :

Edentation quasi complète du maxillaire et de la mandibule (cf. fig. 55 et 56)



Fig. 55 et 56 : Edentation quasi complète du maxillaire et de la mandibule

Déviation de la paroi nasale (cf. fig. 57) et présence d'une cavité supra orbitaire Dr pouvant être liée à la présence d'un abcès conséquence possible d'un choc (cf. fig. 58)



Fig. 57 : Déviation de la paroi nasale - Fig. 58 : cavité supra orbitaire Dr

Importante ossification du cartilage claviculo-manubrium G.

Description taphonomique :

- Phase initiale de décomposition : espace vide à colmatage rapide.

- Le crâne :
- Le rachis :
- La ceinture scapulaire :
- Le thorax :
- Le membre supérieur G :
- Le membre supérieur Dr :
- La ceinture pelvienne
- Le membre inférieur G :
- Le membre inférieur Dr :

Type d'architecture funéraire :

Inhumation abritant un individu adulte. Fosse sépulcrale étroite de forme trapézoïdale et à fond plat. Elle est formée pour chacun des grands côtés (N/S) par trois dalles posées verticalement, les petits côtés sont formés par le rocher. L'ensemble est couvert par trois dalles posées horizontalement, la dalle ouest est particulièrement volumineuse et recouvre la moitié de la sépulture, l'autre moitié étant recouverte par les deux autres.

Notons que dans le comblement a été trouvés les restes incomplets de trois nourrissons et d'un fœtus, essentiellement concentrés au niveau de l'épaule G de l'adulte (cf. description ci-après).

Orientation : E-O.

Estimation de l'âge à partir de la surface sacro pelvienne :

Coxal Dr (cf. fig. 59) : adulte mature \geq 40 ans

- SSPI A : 2 (absence d'organisations de stries ou d'ondulations transverses)

- SSPI B : 3 (combinaison de granulation et de porosité sur la majorité de la surface articulaire)
- SSPI C : 2 (bord émoussé et épaissi)
- SSPI D : 1 (aucun remaniement osseux)



Fig. 59 : Etat de surface des régions sacro pelviennes

Détermination du sexe à partir de la DSP : masculin à 100 %

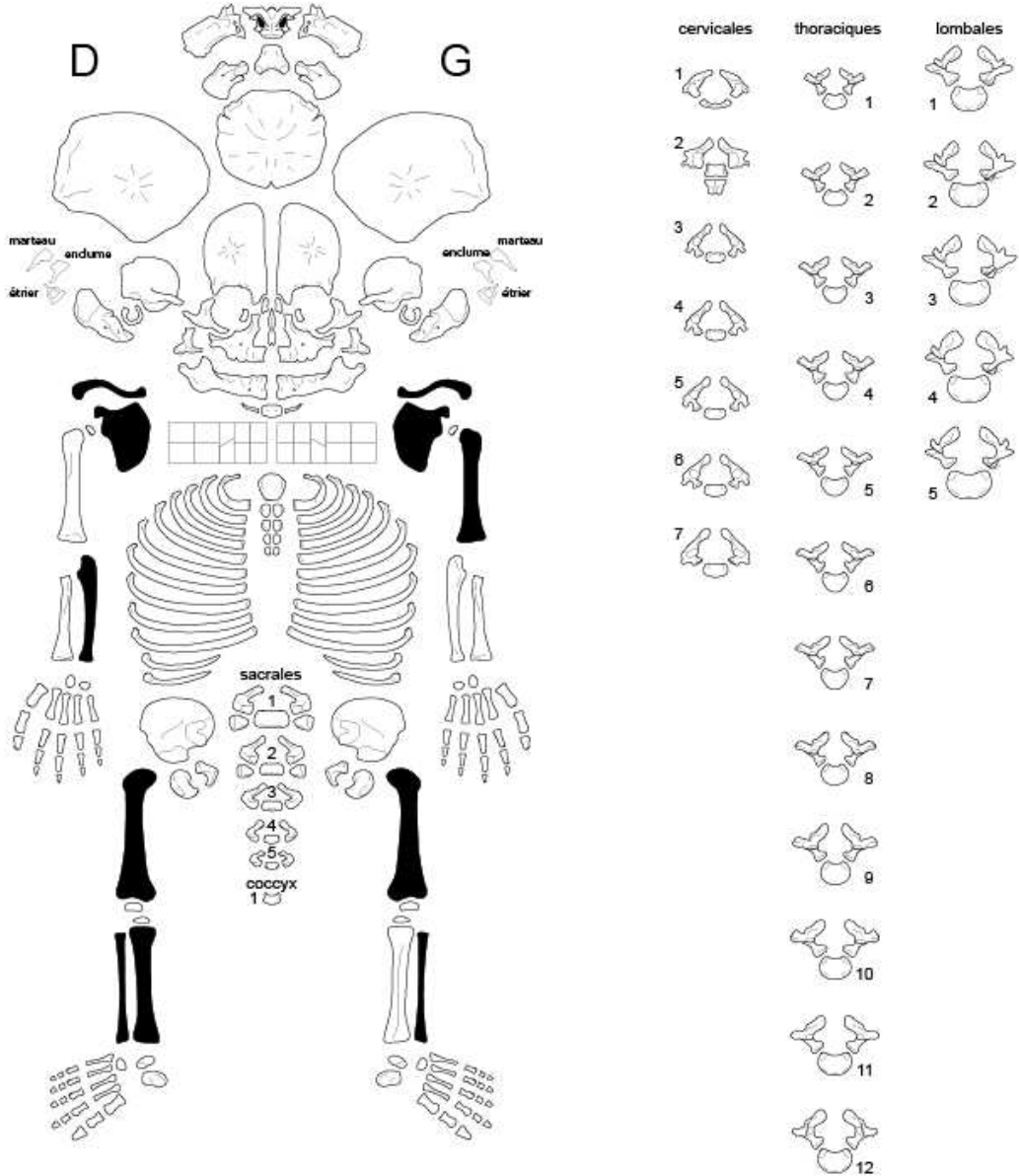
Pum	Spu	Dcox	limt	lsmm	Scox	Ss	Sa	Sis	Veac
63 mm	32.3 mm		36 mm		172.4 mm	79.8 mm	85.2 mm	42.8 mm	60.4 mm

Observations :

Exostoses bilatérales sur les faces externes des deux calcanéums.

SITE : Ereruyk 2013	Date : 19/09/13	Nourrisson entre 0,04 et 0,5 ans	Secteur : SOND 3B	N° Tombe : 103
			N° US : 1773	Immature 1

Sép. primaire	<input type="checkbox"/>	Esp. vide	<input type="checkbox"/>	Sign. externe	<input type="checkbox"/>	Mobilier : US
Sép. second.	<input checked="" type="checkbox"/>	Espace colmaté	<input type="checkbox"/>	Str. interne	<input type="checkbox"/>	
Sép. détruite	<input type="checkbox"/>	Esp. ?	<input checked="" type="checkbox"/>	Mobilier	<input type="checkbox"/>	



LEGENDE : Codes de conservation des os

	Région présente et identifiée avec certitude
	Région fragmentée
	ou Situation exacte inconnue
	ou Niveau, rang, latéralisation incertain

LEGENDE DES DIAGRAMMES DENTAIRES

	Germe présent in situ
	Germe présent mais isolé
	Un de ces élément est présent
	L'identification de l'élément isolé n'est que supposée

D'après Pascal SELLIER UMR 5809 du CNRS, Laboratoire d'anthropologie des populations du passé, Université de Bordeaux 1, avenue des Facultés, 33405 Talence cedex (adapté de TILLIER & DUDAY, 1990)

▣ **SOND 3B - SEP 103 us 1373 (Immature 1) :**

Description anthropologique :

Age au décès : nourrisson entre 0,04 et 0,5 an.

Sexe : indéterminé

Type de sépulture : secondaire

Altitude supérieure maximale :

Altitude supérieure minimale :

Lésions pathologiques macroscopiques :

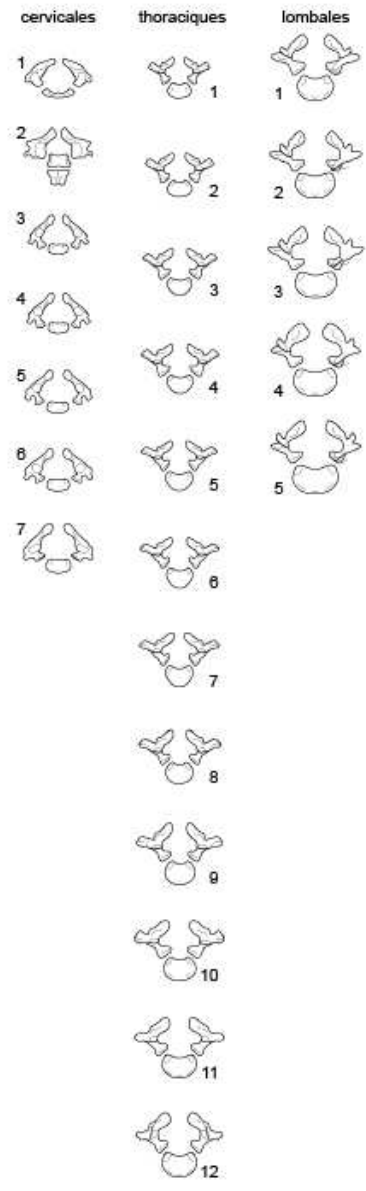
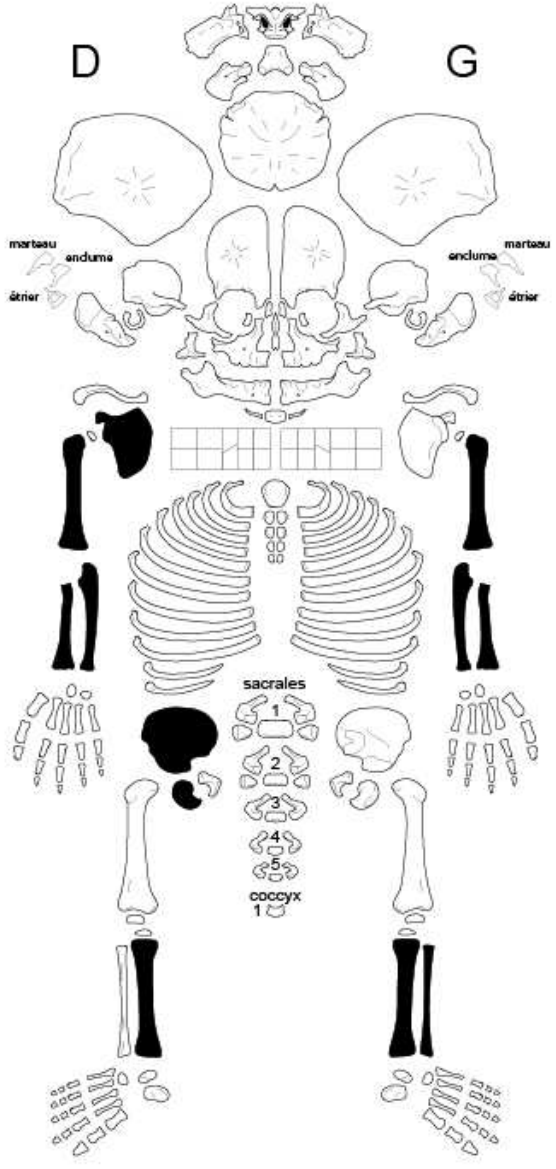
Aucune pathologie n'a été décelée.

Description taphonomique :

- Phase initiale de décomposition : indéterminée

SITE : Ereruyk 2013	Date : 19/09/13	Nourrisson entre 0,04 et 0,78 ans	Secteur : SOND 3B	N° Tombe : 103
			N° US : 1773	Immature 2

Sép. primaire	<input type="checkbox"/>	Esp. vide	<input type="checkbox"/>	Sign. externe	<input type="checkbox"/>	Mobilier : US
Sép. second.	<input checked="" type="checkbox"/>	Espace colmaté	<input type="checkbox"/>	Str. interne	<input type="checkbox"/>	
Sép. détruite	<input type="checkbox"/>	Esp. ?	<input checked="" type="checkbox"/>	Mobilier	<input type="checkbox"/>	



LEGENDE : Codes de conservation des os

	Région présente et identifiée avec certitude
	Région fragmentée
	ou Situation exacte inconnue
	ou Niveau, rang, latéralisation incertain

LEGENDE DES DIAGRAMMES DENTAIRES

	Germe présent in situ
	Germe présent mais isolé
	Un de ces élément est présent
	L'identification de l'élément isolé n'est que supposée

D'après Pascal SELLIER UMR 5809 du CNRS, Laboratoire d'anthropologie des populations du passé, Université de Bordeaux 1, avenue des Facultés, 33405 Talence cedex (adapté de TILLIER & DUDAY, 1990)

▣ **SOND 3B - SEP 103 us 1373 (Immature 2) :**

Description anthropologique :

Age au décès : nourrisson entre 0,04 et 0,78 an.

Sexe : masculin possible

Type de sépulture : secondaire

Altitude supérieure maximale :

Altitude supérieure minimale :

Lésions pathologiques macroscopiques :

Aucune pathologie n'a été décelée.

Description taphonomique :

- Phase initiale de décomposition : indéterminée

- Mensurations de l'os coxal G (cf. fig. 60) : masculin possible (courbe aile iliaque assez sinueuse - grande échancrure relativement fermée autour des 90 °)

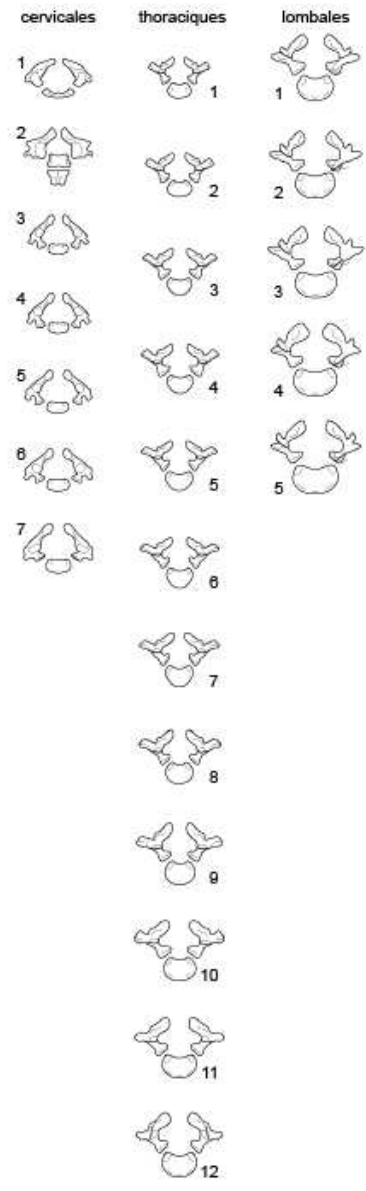
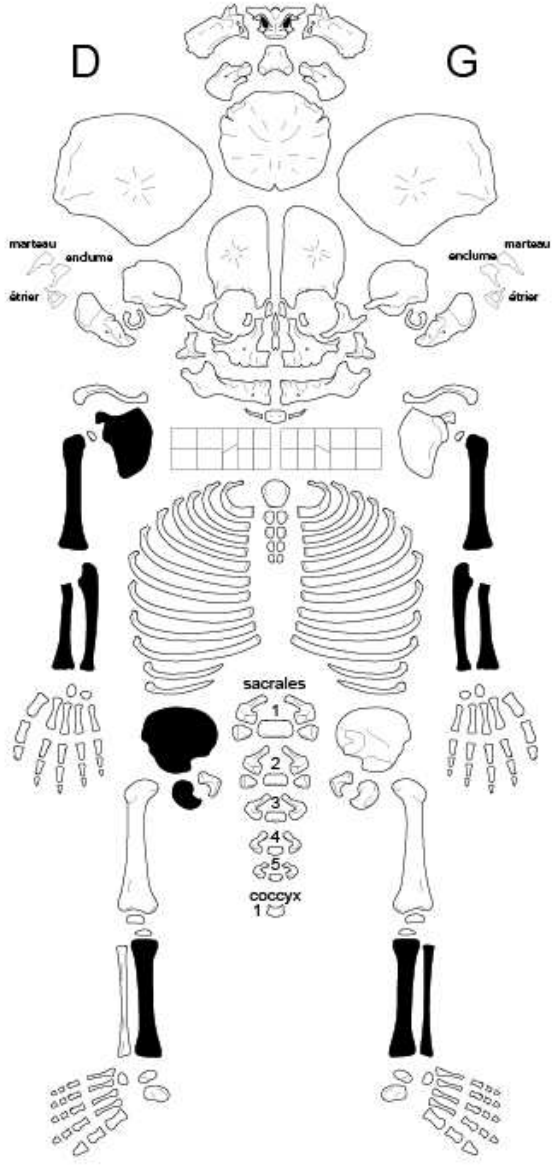
A-B (b2)	A-C	B-C	H-C (b1)	b3	b4
5.9 mm	3.1 mm	3.1 mm		33.5 mm	30.6 mm



Fig. 60 : Mensurations sur l'os coxal G

SITE : Ereruyk 2013	Date : 19/09/13	Nourrisson entre 0,04 et 0,78 ans	Secteur : SOND 3B	N° Tombe : 103
			N° US : 1773	Immature 2

Sép. primaire	<input type="checkbox"/>	Esp. vide	<input type="checkbox"/>	Sign. externe	<input type="checkbox"/>	Mobilier : US
Sép. second.	<input checked="" type="checkbox"/>	Espace colmaté	<input type="checkbox"/>	Str. interne	<input type="checkbox"/>	
Sép. détruite	<input type="checkbox"/>	Esp. ?	<input checked="" type="checkbox"/>	Mobilier	<input type="checkbox"/>	



LEGENDE : Codes de conservation des os

	Région présente et identifiée avec certitude
	Région fragmentée
	ou Situation exacte inconnue
	ou Niveau, rang, latéralisation incertain

LEGENDE DES DIAGRAMMES DENTAIRES

	Germe présent in situ
	Germe présent mais isolé
	Un de ces élément est présent
	L'identification de l'élément isolé n'est que supposée

D'après Pascal SELLIER UMR 5809 du CNRS, Laboratoire d'anthropologie des populations du passé, Université de Bordeaux 1, avenue des Facultés, 33405 Talence cedex (adapté de TILLIER & DUDAY, 1990)

▣ **SOND 3B - SEP 103 us 1373 (Immature 3) :**

Description anthropologique :

Age au décès : nourrisson entre 0 et 0,41 an.

Sexe : indéterminé

Type de sépulture : secondaire

Altitude supérieure maximale :

Altitude supérieure minimale :

Lésions pathologiques macroscopiques :

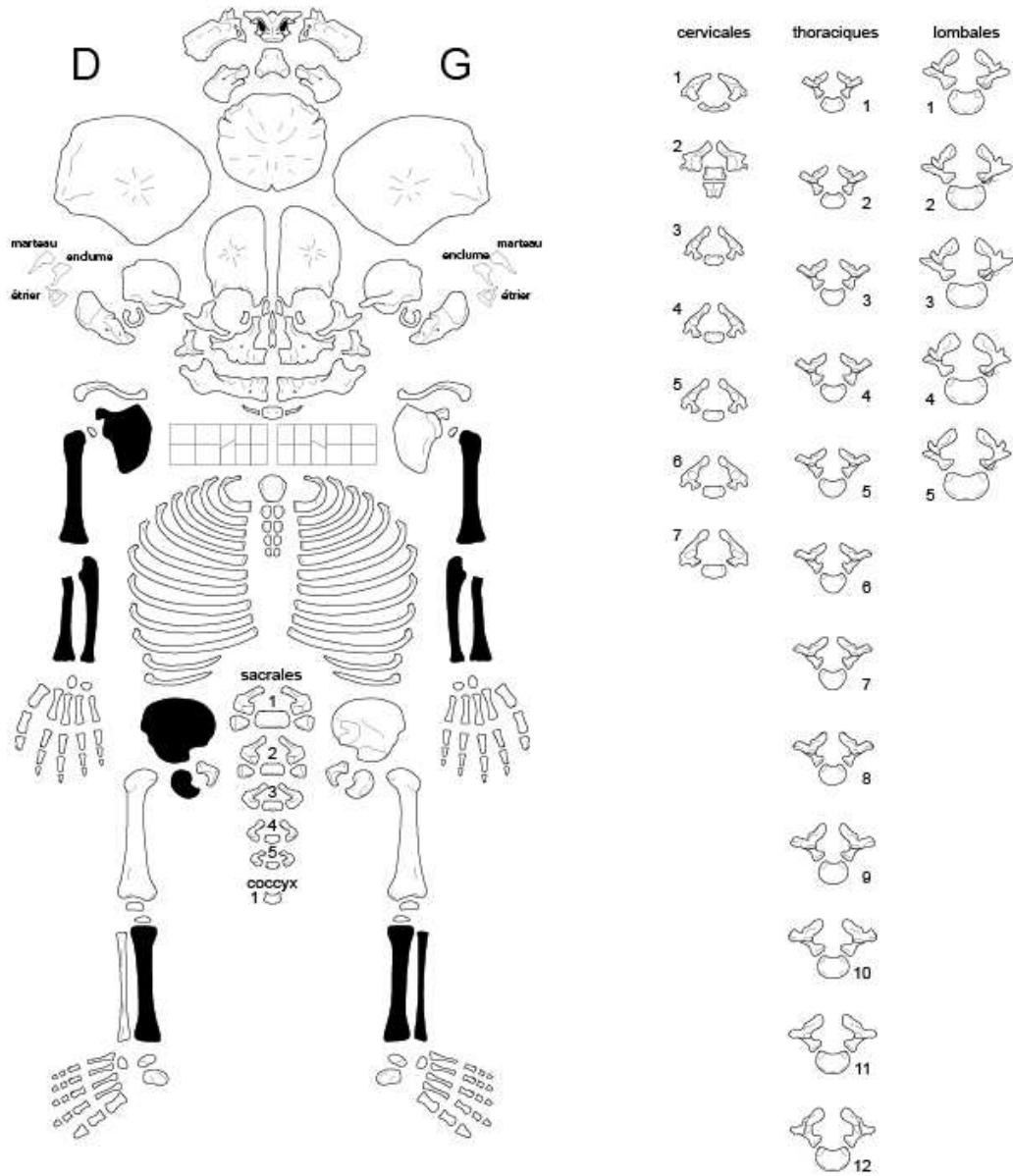
Aucune pathologie n'a été décelée.

Description taphonomique :

- Phase initiale de décomposition : indéterminée

SITE : Ereruyk 2013	Date : 19/09/13	Nourrisson entre 0,04 et 0,78 ans	Secteur : SOND 3B	N° Tombe : 103
			N° US : 1773	Immature 2

Sép. primaire	<input type="checkbox"/>	Esp. vide	<input type="checkbox"/>	Sign. externe	<input type="checkbox"/>	Mobilier : US
Sép. second.	<input checked="" type="checkbox"/>	Espace colmaté	<input type="checkbox"/>	Str. interne	<input type="checkbox"/>	
Sép. détruite	<input type="checkbox"/>	Esp. ?	<input checked="" type="checkbox"/>	Mobilier	<input type="checkbox"/>	



LEGENDE : Codes de conservation des os

	Région présente et identifiée avec certitude
	Région fragmentée
	ou Situation exacte inconnue
	ou Niveau, rang, latéralisation incertain

LEGENDE DES DIAGRAMMES DENTAIRES

	Germe présent in situ
	Germe présent mais isolé
	Un de ces élément est présent
	L'identification de l'élément isolé n'est que supposée

D'après Pascal SELLIER UMR 5809 du CNRS, Laboratoire d'anthropologie des populations du passé, Université de Bordeaux 1, avenue des Facultés, 33405 Talence cedex (adapté de TILLIER & DUDAY, 1990)

▣ **SOND 3B - SEP 103 us 1373 (Immature 4) :**

Description anthropologique :

Age au décès : Fœtus probable

Sexe : Indéterminé

Type de sépulture : secondaire

Altitude supérieure maximale :

Altitude supérieure minimale :

Lésions pathologiques macroscopiques :

Aucune pathologie n'a été décelée.

Description taphonomique :

- Phase initiale de décomposition : indéterminée.

SONDAGE 6

SITE : Ereruyk 13	Date : 12/09/13	Adulte entre 20 et 49 ans Masculin	Secteur : SOND 6
			N° Tombe : 44 A
			N° US : 1385
			Adulte 1 Regroupement EST

Sép. multiple <input checked="" type="checkbox"/>	Esp. vide <input type="checkbox"/>	Sign. externe <input type="checkbox"/>	Mobilier :
Sép. second. <input checked="" type="checkbox"/>	Espace colmaté <input type="checkbox"/>	Str. interne <input checked="" type="checkbox"/>	
Sép. perturbée <input type="checkbox"/>	Esp. ? <input checked="" type="checkbox"/>	mobilier <input type="checkbox"/>	

LEGENDE DES DIAGRAMMES DENTAIRES

- I Dent présente au niveau occlusal
- E Dent présente, en éruption
- N Dent présente mais non sortie
- L Dent isolée et identifiée avec certitude
- ? Dent isolée dont l'identification n'est que supposée
- X Agénésie dentaire
- X Dent perdue ante mortem (Résorption alvéolaire)

Commentaire :

	Région présente et identifiée avec certitude
	Région fragmentée
	Situation exacte Inconnue avec certitude
	Droite ou Gauche ?

UMR 5000 CNRS d'après T.S. Constantides - Westerman et al. - Vieille (ph. n. mod. fig. par M. Guilford, E. Seller et P. Courty) et Informa (art. in M. Courty eau (AFAN))

▣ SOND 6 - SEP 44A (Regroupement EST - Adulte 1) us 1385 :

Description anthropologique :

Age au décès : adulte jeune entre 20 et 49 ans

Sexe : masculin

Stature estimée : 170 cm +/- 5 cm

Type de sépulture : multiple secondaire

Altitude supérieure maximale :

Altitude supérieure minimale :

Position du squelette :

Etant donné que nous sommes en phase de ré inhumation, la position initiale de l'individu est inconnue. En revanche, contrairement aux quatre autres sujets contenus dans cette partie de la sépulture, ce sujet est le mieux représenté dont les ossements ont été regroupés avec soin.

Lésions pathologiques macroscopiques :

Importante déformation volontaire du neurocrâne intéressant essentiellement le frontal ayant induit un fort aplatissement de l'arc frontal (cf. fig. 61).



Fig. 61 : déformation volontaire du neurocrâne

Description taphonomique :

- Phase initiale de décomposition : indéterminée.

- Le crâne :
- Le rachis :
- La ceinture scapulaire :
- Le thorax :
- Le membre supérieur G :
- Le membre supérieur Dr :
- La ceinture pelvienne
- Le membre inférieur G :
- Le membre inférieur Dr :

Type d'architecture funéraire :

Inhumation multiple abritant au minimum 5 individus (3 adultes et 2 immatures). La sépulture baptisée 44A correspond au 1/3 ouest de la sépulture 44.

La fosse sépulcrale de la tombe 44 est directement creusée dans la roche mère, sensiblement oblongue, ses limites sont relativement étroites et allongés. L'ensemble est couvert par trois dalles posées horizontalement. La dalle est recouvre les deux tiers de la sépulture protégeant la sépulture baptisée 44B. Les deux dalles restantes couvrent le tiers ouest protégeant les ré inhumations successives des anciens occupants de la sépulture. La fosse est séparée en 1/3 - 2/3 par une dalle verticale formant le petit côté ouest de la sépulture 44B (dernier occupant de la tombe).

Orientation : E-O.

Observation :

L'humérus G de ce sujet passe sous la dalle de séparation présente au niveau du tiers ouest de la sépulture (cf. fig. 61 bis).



Fig. 61 bis : humérus G passant sous la dalle de séparation

Estimation de l'âge à partir de la surface sacro pelvienne :

Coxal G (cf. fig.62) : adulte jeune probablement entre 20 et 49 ans avec probabilité à 60 % entre 20 et 39 ans.

- SSPI A : 1 (stries et d'ondulations transverses)
- SSPI B : 1 (absence de granulation sur la majorité de la surface articulaire)
- SSPI C : 1 (bord fin et au même niveau que la surface articulaire)
- SSPI D : 2 (remaniement osseux et enthèse fine)

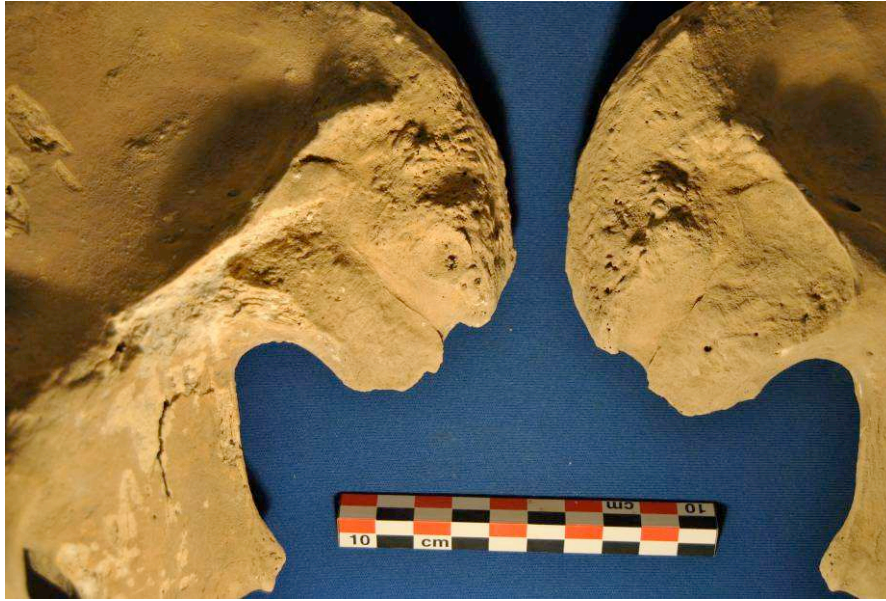


Fig. 62 : Etat de surface des régions sacro pelviennes

Détermination du sexe à partir de la DSP : masculin à 100 %

Pum	Spu	Dcox	limt	lsmm	Scox	Ss	Sa	Sis	Veac
71.4 mm	32.6 mm	227 mm	41.1 mm	121.7 mm	167.1 mm	88.9 mm	80.7 mm	43.4 mm	59.7 mm

SITE : Ereruyk 2013	Date : 18/09/13	Adulte Sexe indéterminé	Secteur : SOND 6
			N° Tombe : 44A
			N° US : 1330
			Adulte 2 Regroupement OUEST

Sép. multiple <input checked="" type="checkbox"/>	Esp. vide <input type="checkbox"/>	Sign. externe <input type="checkbox"/>	Observation :
Sép. second. <input checked="" type="checkbox"/>	Espace colmaté <input type="checkbox"/>	Str. interne <input checked="" type="checkbox"/>	
Sép. détruite <input type="checkbox"/>	Esp. ? <input checked="" type="checkbox"/>	mobilier <input type="checkbox"/>	

LEGENDE DES DIAGRAMMES DENTAIRES

- I Dent présente au niveau occlusal
- E Dent présente, en éruption
- N Dent présente mais non sortie
- L Dent isolée et identifiée avec certitude
- ? Dent isolée dont l'identification n'est que supposée
- X Agénésie dentaire
- X Dent perdue ante mortem (Résorption alvéolaire)

	Cervicales	Thoraciques	Lombaires
[Diagramme dentaire]	1	1	1
[Diagramme dentaire]	2	2	2
[Diagramme dentaire]	3	3	3
[Diagramme dentaire]	4	4	4
[Diagramme dentaire]	5	5	5
[Diagramme dentaire]	6	6	6
[Diagramme dentaire]	7	7	7
[Diagramme dentaire]	8	8	8
[Diagramme dentaire]	9	9	9
[Diagramme dentaire]	10	10	10
[Diagramme dentaire]	11	11	11
[Diagramme dentaire]	12	12	12

Commentaire :

	Région présente et identifiée avec certitude
	Région fragmentée
	Situation exacte Inconnue
	Droite ou Gauche ?

UMR 5100 CNRS -Westermark et C. Makeljohn, modifié par M. Guillou, P. Sallier et P. Courard, information M. Courbelleu (AFAN)

▣ **SOND 6 - SEP 44A (Regroupement OUEST - Adulte 2) us 1330 :**

Description anthropologique :

Age au décès : Adulte

Sexe : indéterminé

Stature estimée : indéterminée

Type de sépulture : multiple secondaire

Altitude supérieure maximale :

Altitude supérieure minimale :

Position du squelette :

Cette ré inhumation a été beaucoup moins bien soignée que celle du sujet précédent, sa représentativité est moins bonne ainsi que sa conservation.

SITE : Ereruyk 2013	Date : 18/09/13	Adulte Sexe indéterminé	Secteur : SOND 6
			N° Tombe : 44A
			N° US : 1330
			Adulte 3 Regroupement OUEST

Sép. multiple <input checked="" type="checkbox"/>	Esp. vide <input type="checkbox"/>	Sign. externe <input type="checkbox"/>	Observation :
Sép. second. <input checked="" type="checkbox"/>	Espace colmaté <input type="checkbox"/>	Str. interne <input checked="" type="checkbox"/>	
Sép. détruite <input type="checkbox"/>	Esp. ? <input checked="" type="checkbox"/>	mobilier <input type="checkbox"/>	

LEGENDE DES DIAGRAMMES DENTAIRES

- I Dent présente au niveau occlusal
- E Dent présente, en éruption
- N Dent présente mais non sortie
- L Dent isolée et identifiée avec certitude
- ? Dent isolée dont l'identification n'est que supposée
- X Agénésie dentaire
- X Dent perdue ante mortem (Résorption alvéolaire)

	Cervicales	Thoraciques	Lombales
	1	1	1
	2	2	2
	3	3	3
	4	4	4
	5	5	5
	6	6	6
	7	7	7
		8	
		9	
		10	
		11	
		12	

Commentaire :

Région présente et identifiée avec certitude

Région fragmentée

Situation exacte Inconnue

Droite ou Gauche ?

UMR 5100 CNRS - WP 5100 - W. S. Conrads - W. S. Conrads - C. Makajohn, modifié par M. Guillou, P. Sallier et P. Courard, information M. Courbelleu (AFAN)

▣ **SOND 6 - SEP 44A (Regroupement OUEST - Adulte 3) us 1330 :**

Description anthropologique :

Age au décès : Adulte

Sexe : indéterminée

Stature estimée : indéterminée

Type de sépulture : multiple secondaire

Altitude supérieure maximale :

Altitude supérieure minimale :

Position du squelette :

Cette ré inhumation a été beaucoup moins bien soignée que celle de l'adulte 1, sa représentativité est moins bonne ainsi que sa conservation.

SITE : Ereruyk 2013	Date : 11/09/13	Immature entre 8 et 9 ans	Secteur : SOND 6
			N° tombe : 44 A
			Immature I Regroupement OUEST

Sép. multiple	Esp. vide <input type="checkbox"/>	Sign. externe <input type="checkbox"/>	Mobilier :
Sép. second.	Espace colmaté <input type="checkbox"/>	Str. interne	
Sép. détruite <input type="checkbox"/>	Esp. ?	Mobilier <input type="checkbox"/>	

LEGENDE DES DIAGRAMMES DENTAIRES

- I Dent présente au niveau occlusal
- E Dent présente, en éruption
- N Dent présente mais non sortie
- L Dent isolée et identifiée avec certitude
- L Bement isolé et identifiée en cours de calcification
- ? Dent isolée dont l'identification n'est que supposée
- X Agénésie dentaire
- X Dent perdue ante mortem (Résorption alvéolaire)

Cervicales	Thoraciques	Lombaires

Commentaire :

CONSERVATION OSSEUSE

- Région présente et identifiée avec certitude
- Région fragmentée
- Situation exacte inconnue
- Droite ou Gauche ?

U MR 5809 CNRS d'après T.S. Cornetandac-Wesermann et C. Meille|John modifié par P. Gourou d. H. Dubay et M. Guillou. Information M.Cou to near (ARAN)

▣ SOND 6 - SEP 44A (Regroupement OUEST - Immature 1) us 1330 :

Description anthropologique :

Age au décès : immature 8-9 ans

Stade dentaire :

Les premières molaires définitives supérieures Dr et G (16-26) croissance terminée ;

Les deuxièmes molaires définitives supérieures Dr et G (17-27) sont en cours de croissance leurs racines sont édifiées aux 1/3.

Sexe : masculin possible

Type de sépulture : secondaire multiple

Altitude supérieure maximale :

Altitude supérieure minimale :

Position du squelette :

Etant donné que nous sommes en phase de ré inhumation, la position initiale de l'individu est inconnue. En revanche, contrairement à l'autre sujet immature contenu dans cette partie de la sépulture, ce sujet est mieux représenté et ses ossements ont été regroupés avec plus de soin.

Lésions pathologiques macroscopiques :

Déformation crânienne probable donnant un aspect oblongue au neurocrâne avec traces probablement de ligature au niveau de la pars bregmatica de la suture sagittale (cf. fig. 63)



Fig. 63 : déformation probable du neurocrâne

Légères traces de cribra orbitalia (cf. fig. 64) et début de synostose de la pars verticis de la suture sagittale (cf. fig. 65) anormal chez les immatures.

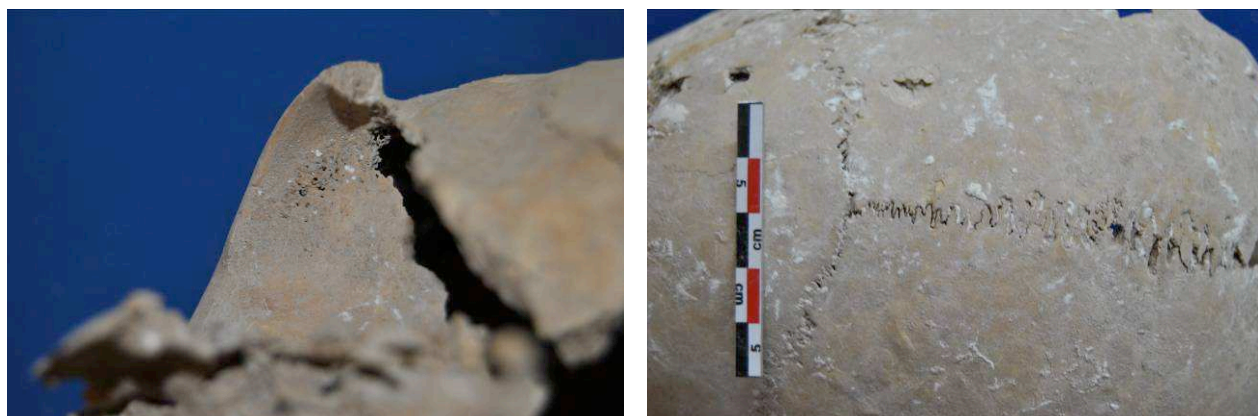


Fig. 64 : Légères traces de cribra orbitalia - Fig. 65 : début de synostose pars verticis de la suture sagittale

Description taphonomique :

- Phase initiale de décomposition : indéterminée

- Le crâne
- le rachis :
- La ceinture scapulaire :
- Le thorax :
- Le membre supérieur G :
- Le membre supérieur Dr :
- La ceinture pelvienne :
- Le membre inférieur G :
- Le membre supérieur Dr :

- Mensurations de l'os coxal Dr (cf. fig. 66) : : masculin possible (courbe aile iliaque assez sinueuse - grande échancrure relativement fermée autour des 90 °)

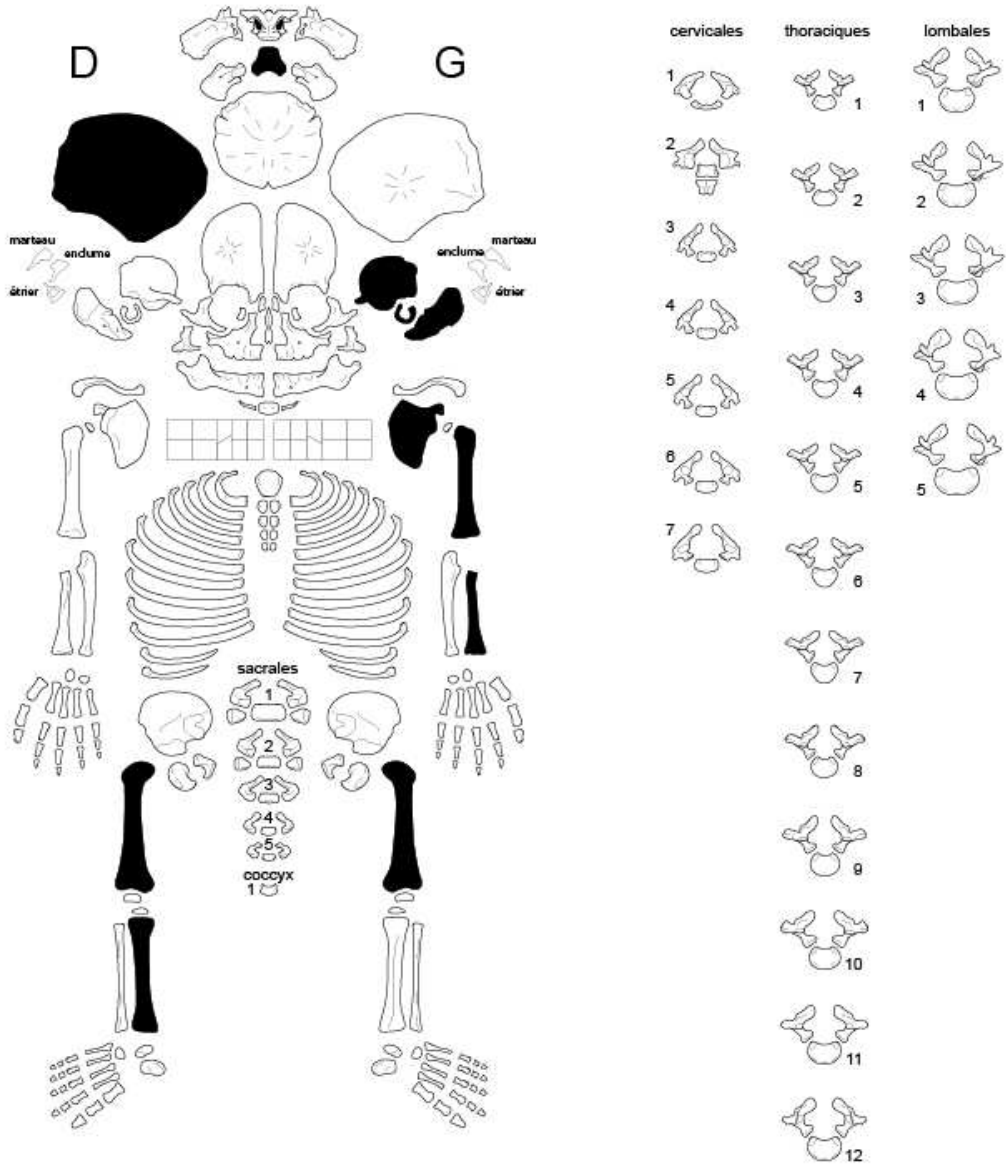
A-B (b2)	A-C	B-C	H-C (b1)	b3	b4
27.7 mm	20.1 mm	17.1 mm	14.2 mm	119.8 mm	106.2 mm



Fig. 66 : Mensurations sur l'os coxal Dr

SITE : Ereruyk 2013	Date : 12/09/13	Nourrisson entre 0,3 et 0,8 an	Secteur : SOND 6	N° Tombe : 44 A	
			N° US : 1330	Immature 2 Regroupement OUEST	
Sép. multiple		Esp. vide		Sign. externe	
Sép. second.		Espace colmaté		Str. interne	
Sép. détruite		Esp. ?		Mobilier	

Mobilier :
US



LEGENDE : Codes de conservation des os

	Région présente et identifiée avec certitude
	Région fragmentée
	ou Situation exacte inconnue
	ou Niveau, rang, latéralisation incertain

LEGENDE DES DIAGRAMMES DENTAIRES

	Germe présent in situ
	Germe présent mais isolé
	Un de ces élément est présent
	L'identification de l'élément isolé n'est que supposée

D'après Pascaï SELLIER UMR 5809 du CNRS, Laboratoire d'anthropologie des populations du passé, Université de Bordeaux I, avenue des Facultés, 33405 Talence cedex (adapté de TILLIER & DUDAY, 1990)

▣ SOND 6 - SEP 44A (Regroupement OUEST - Immature 2) us 1330 :

Description anthropologique :

Age au décès : nourrisson entre 0,3 et 0,8 an.

Sexe : indéterminé

Type de sépulture : secondaire multiple

Altitude supérieure maximale :

Altitude supérieure minimale :

Position du squelette :

Etant donné que nous sommes en phase de ré inhumation, la représentativité des ossements de ce sujet est moins bonne que l'immature précédent et le soin apporté au collectage est moins bon.

Lésions pathologiques macroscopiques :

Aucune pathologie n'a été décelée.

Description taphonomique :

- Phase initiale de décomposition :

- Le crâne
- le rachis :
- La ceinture scapulaire :
- Le thorax :
- Le membre supérieur G :
- Le membre supérieur Dr :
- La ceinture pelvienne :
- Le membre inférieur G :
- Le membre supérieur Dr :

Observations générales :

En outre les 3 individus bien identifiés (1 adulte et 2 immatures), les restes d'au moins deux autres adultes sont présents mais dans un état de conservation relativement mauvais. Leur étude sera poursuivie et terminée à la mission 2014.

Nous sommes donc en présence dans la sépulture 44A d'une réduction intéressant 5 individus au minimum. Un de ces individus adulte est probablement le premier occupant de la sépulture. Le dernier étant l'immature de la SEP 44B à savoir le sixième sujet.

SITE : Erreruyk 2013	Date : 11/09/13	Nourrisson entre 0,7 et 1,82 ans	Secteur : Sond 6	N° Tombe : 44 B
			N° US : 1321	
Sép. primaire <input checked="" type="checkbox"/> Sign. externe <input type="checkbox"/> Sép. second. <input type="checkbox"/> Str.interne <input checked="" type="checkbox"/> Sép.perturbée <input type="checkbox"/> Mobilier <input type="checkbox"/>		Esp. vide <input checked="" type="checkbox"/> Espace colmaté <input type="checkbox"/> Esp. ? <input type="checkbox"/>		Mobilier :

LEGENDE DES DIAGRAMMES DENTAIRES

- I Dent présente au niveau occlusal
- E Dent présente, en éruption
- N Dent présente mais non sortie
- Dent isolée et identifiée avec certitude
- L Elément isolé et identifiée en cours de calcification
- ? Dent isolée dont l'identification n'est que supposée
- Agénésie dentaire
- Dent perdue ante mortem (Résorption alvéolaire)

Commentaire :

Cervicales	Thoraciques	Lombaires
1	1	1
2	2	2
3	3	3
4	4	4
5	5	5
6	6	6
7	7	7
8	8	8
9	9	9
10	10	10
11	11	11
12	12	12

- Région présente et identifiée avec certitude
- Région fragmentée
- Situation exacte inconnue

UMR 5009 CNRS d'après T. S. Cozard et M. Westermann et C. Mellesohn, modifié par P. Cozard, H. Dudy et M. Gullon, info.mission@n.m.courreau (A.R.N)

▣ SOND 6 - SEP 44B us 1321 :

Description anthropologique :

Age au décès : nourrisson entre 0,7 et 1,82 ans

Stade dentaire (cf. fig. 67 & 68) :

Les premières molaires déciduales supérieures et inférieures G et Dr (54-64-74-84) sont en cours de croissance et leur racine est édifiée aux 2/3 ;

Les deuxièmes molaires déciduales supérieures et inférieures G et Dr (55-65-75-85) sont en cours d'éruption et leurs racines sont édifiées aux 1/3.

Les premières molaires définitives supérieures et inférieures G et Dr (16-26-36-46) sont incluses et leur couronne est édifiée au 2/3.



Fig. 67 & 68 : stade d'évolution dentaire du maxillaire et de la mandibule.

Sexe : féminin possible

Type de sépulture : individuelle primaire

Altitude supérieure maximale :

Altitude supérieure minimale :

Position du squelette :

- Décubitus dorsal.
- Tête à l'ouest, face latérale Dr.
- Membres supérieurs totalement disloqués.
- Membres inférieurs probablement symétriques en extension

Lésions pathologiques macroscopiques :

Aucune pathologie n'a été décelée.

Description taphonomique :

- Phase initiale de décomposition : espace vide.

- Le crâne
- le rachis :
- La ceinture scapulaire :
- Le thorax :
- Le membre supérieur G :
- Le membre supérieur Dr :
- La ceinture pelvienne :
- Le membre inférieur G :
- Le membre supérieur Dr :

Type d'architecture funéraire :

Inhumation abritant un individu immature. Fosse aux limites relativement larges pour un immature correspond au creusement de la sépulture 44. Elle était recouverte d'une seule dalle.

Il s'agit ici du dernier occupant probable de cette sépulture abritant en tout au moins 6 individus (3 adultes et 3 immatures).

Orientation E-O.

- Mensurations de l'os coxal (cf. fig. 69) : féminin possible (courbe aile iliaque peu sinueuse - grande échancrure relativement ouverte supérieure à 90 °)

A-B (b2)	A-C	B-C	H-C (b1)	b3	b4
20.7 mm	13.2 mm	9.5 mm	5.2 mm	57.3 mm	53.3 mm



Fig. 69 : Mensurations sur l'os coxal G

SITE : Erreruyk 2013	Date : 11/09/13	Immature entre 1,28 et 2,58 ans	Secteur : Sond 6
			N° Tombe : 71
			N° US : 1283

Sép. primaire <input checked="" type="checkbox"/>	Sign. externe <input type="checkbox"/>	Esp. vide <input type="checkbox"/>	Mobilier :
Sép. second. <input type="checkbox"/>	Str. interne <input checked="" type="checkbox"/>	Espace colmaté <input checked="" type="checkbox"/>	
Sép. perturbée <input type="checkbox"/>	Mobilier <input type="checkbox"/>	Esp. ? <input type="checkbox"/>	

I	I	E	I	I	I	E	I	I
I	I	E	I	I	I	E	I	I

	N				N	N	N	N			N		
	N				N	N	N	N			N		

LEGENDE DES DIAGRAMMES DENTAIRES

- I Dent présente au niveau occlusal
- E Dent présente, en éruption
- N Dent présente mais non sortie
- Dent isolée et identifiée avec certitude
- Element isolé et identifiée en cours de calcification
- ? Dent isolée dont l'identification n'est que supposée
- Agénésie dentaire
- Dent perdue ante mortem (résorption alvéolaire)

Commentaire :

Cervicales	Thoraciques	Lombaires
1	1	1
2	2	2
3	3	3
4	4	4
5	5	5
6	6	
7	7	
	8	
	9	
	10	
	11	
	12	

- Région présente et identifiée avec certitude
- Région fragmentée
- Situation exacte inconnue

UMR 5009 CNRS d'après T. S. Goins et al. - Westermann et al., Meilke et al., modifié par P. Cournaud, H. Duda et M. Guillon. Info.maitis@univ-mt.fr

▣ SOND 6 - SEP 71 us 1283 :

Description anthropologique :

Age au décès : immature entre 1,28 et 2,58 ans

Stade dentaire (cf. fig. 70 & 71) :

Les incisives déciduales supérieures et inférieures G et Dr (51-52-61-62-71-72-81-82) sont sorties et leur racine est édiflée.

Les canines déciduales supérieures et inférieures G et Dr (53-63-73-83) sont en cours d'éruption et leur racine est édiflée aux 2/3.

Les premières molaires déciduales supérieures et inférieures G et Dr (54-64-74-84) sont sorties et leur racine est complète.

Les deuxièmes molaires déciduales supérieures et inférieures G et Dr (55-65-75-85) sont en cours d'éruption et leur racine est édiflée aux 2/3.

Les incisives centrales définitives supérieures Dr et G (11-21) sont incluses et leur couronne est édiflée aux 2/3.

Les premières molaires définitives supérieures et inférieures G et Dr (16-26-36-46) sont incluses et leur couronne est édiflée aux 2/3.



Fig. 70 & 71 : stade d'évolution dentaire du maxillaire et de la mandibule.

Sexe : féminin possible

Type de sépulture : individuelle primaire

Altitude supérieure maximale :

Altitude supérieure minimale :

Position du squelette :

- Décubitus dorsal.
- Tête à l'ouest, face antéro-latérale .
- Membres supérieurs symétriques :
 - membre supérieur G fléchi (adduction), coude serré contre le corps formant un angle d'environ 45°, main en pronation sur le haut du grill costal Dr (position haute).
 - membre supérieur Dr fléchi (adduction), coude serré contre le corps formant un angle d'environ 90°, l'avant-bras est totalement verticalisé et en position primaire probablement maintenu par la paroi sud, main à la verticale de l'abdomen (position moyenne).
- Membres inférieurs symétriques semi fléchi, genoux légèrement rapprochés, pieds joints :

- membre inférieur G posé sur sa face médiale.
- membre inférieur Dr posé sur sa face latérale.

Lésions pathologiques macroscopiques :

Aucune pathologie n'a été décelée.

Description taphonomique :

- Phase initiale de décomposition : espace colmaté

- Le crâne
- le rachis :
- La ceinture scapulaire :
- Le thorax :
- Le membre supérieur G :
- Le membre supérieur Dr :
- La ceinture pelvienne :
- Le membre inférieur G :
- Le membre supérieur Dr :

Type d'architecture funéraire :

Inhumation abritant un individu immature. Fosse sépulcrale aux limites étroites de forme rectangulaire et à fond plat directement taillé dans la roche mère. L'ensemble était recouvert de dalles horizontales. La grande paroi sud est formée par la paroi nord de la sépulture 46.

Orientation : E-O.

- Mensurations de l'os coxal (cf. fig. 72) : féminin possible (courbe aile iliaque peu sinueuse - grande échancrure relativement ouverte supérieure à 90 °)

A-B (b2)	A-C	B-C	H-C (b1)	b3	b4
19.9 mm	14 mm	11.8 mm	7.1 mm	69.9 mm	62.5 mm



Fig. 72 : Mensurations sur le coxal G

SITE : Ereruyk 2013	Date :	Adulte jeune 20-49 ans Masculin	Secteur : SOND 6	N° Tombe : 72
			N° US : 1370	

Sép. primaire		Esp. vide	<input type="checkbox"/>	Sign. externe	<input type="checkbox"/>	Mobilier :
Sép. second.		Espace colmaté	<input type="checkbox"/>	Str. interne		
Sép. perturbée		Esp. ?		mobilier	<input type="checkbox"/>	

LEGENDE DES DIAGRAMMES DENTAIRES

- I Dent présente au niveau occlusal
- E Dent présente, en éruption
- N Dent présente mais non sortie
- L Dent isolée et identifiée avec certitude
- ? Dent isolée dont l'identification n'est que supposée
- Agénésie dentaire
- Dent perdue ante mortem (Résorption alvéolaire)

Cervicales	Thoraciques	Lombales

Commentaire :

UMR 5000 CNRS d'après T.S. Constantinos - Westerman et al. - A. Hele (ph. n. mod. fr. par M. Guilford, E. Seller et P. Courty) et Informa (tab. bn. M. Coutu) et au (AFAN)

▣ SOND 6 - SEP 72 us 1370 :

Description anthropologique :

Age au décès : 20-49 ans

Sexe : masculin

Stature estimée : 165 cm +/- 5 cm

Type de sépulture : individuelle primaire

Altitude supérieure maximale :

Altitude supérieure minimale :

Position du squelette :

- Décubitus dorsal.
- Tête à l'ouest, vue en face latérale Dr mais totalement perturbé.
- Membres supérieurs asymétriques :
 - membre supérieur G fléchi (abduction), coude éloigné du corps, angle à environ 45°, main en pronation posée probablement sur le sternum (position haute).
 - membre supérieur Dr totalement disloqué
- Membres inférieurs symétriques en extension, genoux écartés, pieds joints probablement verticaux contre la paroi Est

Lésions pathologiques macroscopiques :

Perte de la couronne de la deuxième prémolaire supérieure Dr (15) probablement suite à une carie de type 5 avec atteinte et destruction de la chambre pulpaire avec présence d'un kyste périapical.

Ouverture au niveau du sacrum de S1 (cf. fig. 73).



Fig. 73 : ouverture de la première sacrée

Description taphonomique :

- Phase initiale de décomposition : espace vide probable
- Le crâne :
- Le rachis :
- La ceinture scapulaire :
- Le thorax :
- Le membre supérieur G :
- Le membre supérieur Dr :
- La ceinture pelvienne
- Le membre inférieur G :
- Le membre inférieur Dr :

Type d'architecture funéraire :

Inhumation abritant un individu adulte. Fosse sépulcrale en grande partie taillée dans la roche mère de forme sensiblement rectangulaire aux limites relativement étroites. La moitié est du grand côté sud est formée par trois moellons, l'autre moitié par le rocher. La moitié ouest du grand côté nord sud est formée par trois moellons, l'autre moitié par l'angle de la sépulture 46. Le petit côté (est) est fermé par une dalle verticale, l'ouest est formé par le rocher. Une seule dalle était encore en position au niveau des tibias (côté est). Le tiers médian du squelette a été perturbé probablement par un pillage.

Orientation : E-O.

Estimation de l'âge à partir de la surface sacro pelvienne :

Coxal Dr (cf. fig. 74) : adulte jeune probablement entre 20 et 49 ans avec probabilité à 60 % entre 20 et 39 ans.

- SSPI A : 2 (absence d'organisations de stries ou d'ondulations transverses)
- SSPI B : 1 (absence de granulation sur la majorité de la surface articulaire)
- SSPI C : 1 (bord fin et au même niveau que la surface articulaire)
- SSPI D : 2 (remaniement osseux et enthèse fine)



Fig. 74 : Etat de surface des régions sacro pelviennes

Détermination du sexe à partir de la DSP : masculin à 99 %

Pum	Spu	Dcox	limt	lsmm	Scox	Ss	Sa	Sis	Veac
72 mm	30.3 mm	208.9 mm	33.9 mm	109.7 mm	158.3 mm	74.3 mm	75.3 mm	41.5 mm	56.3 mm

Observations :

Suture métopique en partie visible.

Importante torsion axiale du tibia G de sorte que le pied devait vraisemblablement être versé vers l'extérieur du vivant de l'individu.

SITE : Ereruyk 2013	Date : 13/09/13	Adulte Sexe indéterminé	Secteur : SOND 6
			N° Tombe : 73
			US : 1343

Sép. primaire	Esp. vide	Sign. externe	Mobilier :
Sép. second.	Espace colmaté	Str. interne	
Sép. arasée	Esp. ?	mobilier	

LEGENDE DES DIAGRAMMES DENTAIRES

- I Dent présente au niveau occlusal
- E Dent présente, en éruption
- N Dent présente mais non sortie
- L Dent isolée et identifiée avec certitude
- ? Dent isolée dont l'identification n'est que supposée
- X Agénésie dentaire
- X Dent perdue ante mortem (Résorption alvéolaire)

Commentaire :

	Région présente et identifiée avec certitude
	Région fragmentée
	Situation exacte Inconnue
	Droite ou Gauche ?

UMR 5805 CNRS chir de T.S. Coratandis - Westermannat C. Meakaljohn, modifié par M. Guillou, P. Sallier et F. Courau d'information M. Courtau (AFAN)

▣ SOND 6 - SEP 73 us 1343 :

Description anthropologique :

Age au décès : Adulte

Sexe : Indéterminé

Stature estimée : indéterminée

Type de sépulture : individuelle primaire

Altitude supérieure maximale :

Altitude supérieure minimale :

Position du squelette :

- Décubitus dorsal.
- Tête à l'ouest, vue en face antérieure d'après le seul élément conservé du crâne (occipital).
- Membres supérieurs en grande majorité détruits.
- Membres inférieurs symétriques en extension, genoux légèrement écartés, pieds relativement serrés probablement verticaux et effondrés dans l'axe des membres.

Lésions pathologiques ou dégénératives macroscopiques :

Aucune lésion traumatique ou dégénérative n'a été décelée.

Description taphonomique :

- Phase initiale de décomposition : espace vide.

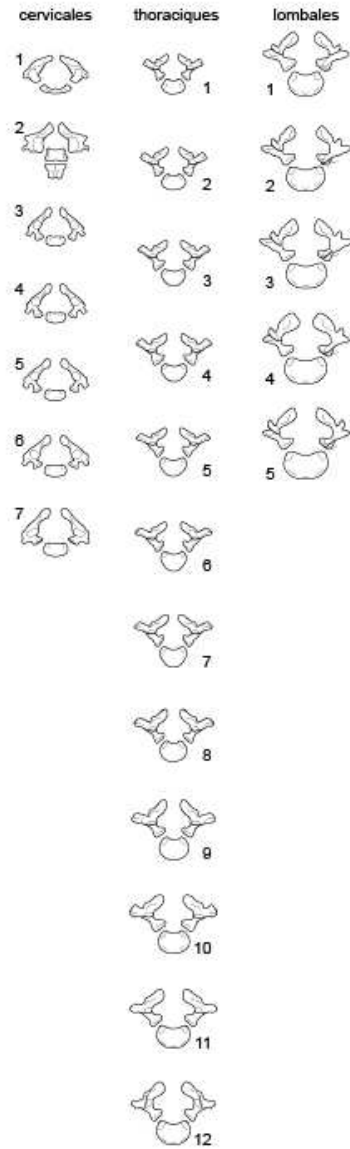
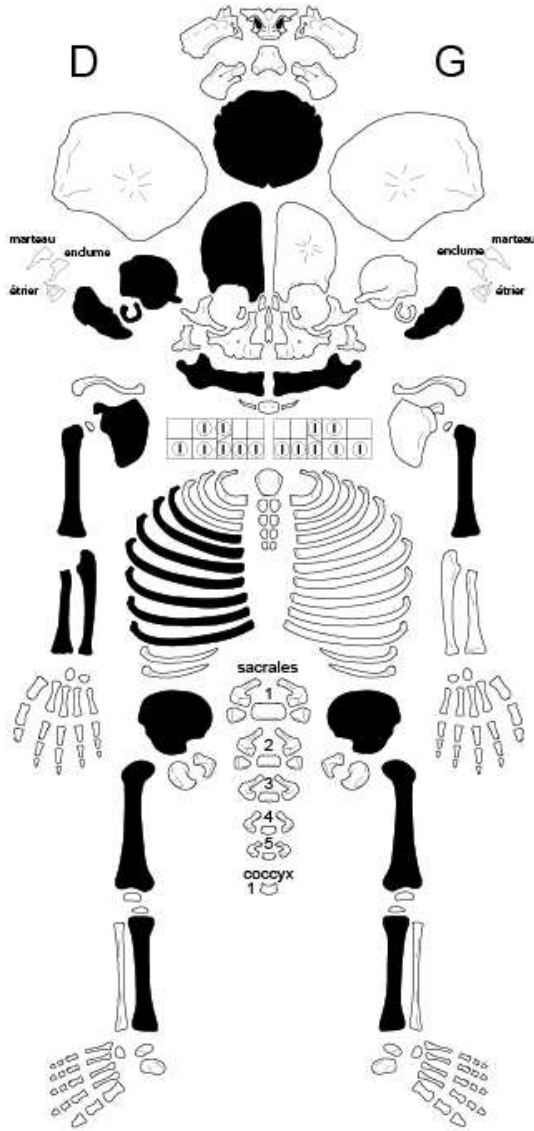
- Le crâne :
- Le rachis :
- La ceinture scapulaire :
- Le thorax :
- Le membre supérieur G :
- Le membre supérieur Dr :
- La ceinture pelvienne
- Le membre inférieur G :
- Le membre inférieur Dr :

Type d'architecture funéraire :

Inhumation abritant un individu adulte. Fosse aux limites relativement étroites de forme trapézoïdale et à fond plat directement taillé dans la roche mère. Seule une dalle est restée en place du côté est de la sépulture, le reste y compris le squelette a été perturbé par la tranchée d'époque soviétique.

Orientation : E-O.

SITE : Ereruyk 2013	Date : 06/09/13	Nourrisson entre 0,03 et 0,5 an	Secteur : SOND 6	N° Tombe : 89	
			N° US : 1291		
Sép. primaire		Esp. vide		Sign. externe	
Sép. second.		Espace colmaté		Str. interne	
Sép. détruite		Esp. ?		Mobilier	
Mobilier : US					



LEGENDE : Codes de conservation des os

	Région présente et identifiée avec certitude
	Région fragmentée
	ou Situation exacte Inconnue
	ou Niveau, rang, latéralisation Incertain

LEGENDE DES DIAGRAMMES DENTAIRES

	Germe présent in situ
	Germe présent mais isolé
	Un de ces élément est présent
	L'identification de l'élément isolé n'est que supposée

D'après Pasca/SELLIER UMR 5809 du CNRS, Laboratoire d'anthropologie des populations du passé, Université de Bordeaux I, avenue des Facultés, 33405 Talence cedex (adapté de TILLIER & DUDAY, 1990)

▣ SOND 6 - SEP 89 us 1291 :

Description anthropologique :

Age au décès : nourrisson entre 0,03 et 0,5 an.

Stade dentaire (cf. fig. 75) :

Les incisives déciduales centrales et latérales inférieures G et Dr (61-62) sont en cours d'éruption la racine est édifiée au 1/3.

Les canines déciduales supérieures et inférieures G et Dr (53-63-73-83) sont incluses et leur couronne est édifiée aux 2/3.

Les premières molaires déciduales supérieures et inférieures G et Dr (54-64-74-84) sont en cours d'éruption et ont leur couronne édifiée.

Les deuxièmes molaires déciduales inférieures G et Dr (75-85) sont incluses et leur couronne est édifiée aux 2/3.

Les premières molaires définitives inférieures G et Dr (36-46) sont à l'état de bourgeon seules les cuspides sont reliées par un liseré d'émail (coalescences).



Fig. 75 : formule dentaire de la mandibule

Les 2 héli-mandibules sont soudées.

Les lignes de synostoses des 3 éléments composants les os temporaux ne sont presque plus visibles.

Sexe : masculin possible

Type de sépulture : individuelle primaire

Altitude supérieure maximale :

Altitude supérieure minimale :

Position du squelette :

- Décubitus dorsal.

- Tête à l'ouest.

- Membres supérieurs en grande majorité disparus.

- Membres inférieurs :

- membre inférieur G semi fléchi : seuls le fémur et le tibia ont été trouvé en position primaire posés sur leur face latérale

Lésions pathologiques macroscopiques :

Aucune pathologie n'a été décelée.

Description taphonomique :

- Phase initiale de décomposition : espace colmaté probable.

- Le crâne
- le rachis :
- La ceinture scapulaire :
- Le thorax :
- Le membre supérieur G :
- Le membre supérieur Dr :
- La ceinture pelvienne :
- Le membre inférieur G :
- Le membre supérieur Dr :

Type d'architecture funéraire :

Inhumation abritant un nourrisson. Aucun indice ne subsiste de la sépulture extrêmement perturbée peut être directement en pleine terre. L'individu a été posé directement sur la dalle de la sépulture 44.

Orientation : E-O.

- Mensurations de l'os coxal Dr (cf. fig. 76) : masculin possible (courbe aile iliaque sinueuse - grande échancrure fermée autour de 90 °)

A-B (b2)	A-C	B-C	H-C (b1)	b3	b4
6.8 mm	5.3 mm	3.9 mm	3.5 mm	38.8 mm	



Fig. 76 : Mensurations sur l'os coxal Dr

SITE : Ereruyk 2013	Date : 11/09/13	Nourrison entre 0,3 et 1,2 an.	Secteur : Sond 6 N° US : 1334	N° Tombe : 96
Sép. primaire <input checked="" type="checkbox"/>	Sign. exteme <input type="checkbox"/>	Esp. vide <input checked="" type="checkbox"/>	Mobilier :	
Sép. second. <input type="checkbox"/>	Str. interne <input checked="" type="checkbox"/>	Espace colmaté <input type="checkbox"/>		
Sép. perturbée <input checked="" type="checkbox"/>	Mobilier <input type="checkbox"/>	Esp. ? <input type="checkbox"/>		

	E E E E			
N E N	E E E E	N E N	N	N

LEGENDE DES DIAGRAMMES DENTAIRES

- I Dent présente au niveau occlusal
- E Dent présente, en éruption
- N Dent présente mais non sortie
- Dent isolée et identifiée avec certitude
- L Element isolé et identifiée en cours de calcification
- ? Dent isolée dont l'identification n'est que supposée
- Agénésie dentaire
- Dent perdue ante mortem (Résorption alvéolaire)

Cervicales	Thoraciques	Lombaires
1	1	1
2	2	2
3	3	3
4	4	4
5	5	5
6	6	6
7	7	7
	8	
	9	
	10	
	11	
	12	

Région présente et identifiée avec certitude

Région fragmentée

Situation exacte inconnue

UMR 5805 CNRS d'après T.S. Coats et al. - Westermark et al. - Meleis et al. - modifié par P.Coats et al., H. Duda et M. Guillou. Info.mastiation M. Courreau (ARAN)

▣ SOND 6 - SEP 96 us 1334 :

Description anthropologique :

Age au décès : nourrisson entre 0,3 et 1,2 an.

Stade dentaire (cf. fig. 77) :

Les incisives déciduales centrales et latérales supérieures Dr et G (51-52-61-62) sont en cours d'éruption leur racine est édifiée au 1/3.

Les incisives déciduales centrales et latérales inférieures G et Dr (71-72-71-72) sont en cours d'éruption leur racine est édifiée au 1/3.

Les canines déciduales inférieures G et Dr (73-83) sont incluses et leur couronne est édifiée.

Les premières molaires déciduales inférieures G et Dr (74-84) sont en cours d'éruption et leur racine est édifiée au 1/3.

Les deuxièmes molaires déciduales inférieures G et Dr (75-85) sont incluses et leur couronne est édifiée.

Les premières molaires définitives inférieures G et Dr (36-46) sont incluses et leur couronne est édifiée à ½



Fig. 77 : formule dentaire de la mandibule

Sexe : indéterminé

Type de sépulture : individuelle primaire

Altitude supérieure maximale :

Altitude supérieure minimale :

Position du squelette :

- Décubitus dorsal.
- Tête à l'ouest, face supérieure.
- Membres supérieurs entièrement disloqués.
- Membres inférieurs entièrement disloqués.

Lésions pathologiques macroscopiques :

Aucune pathologie n'a été décelée.

Description taphonomique :

- Phase initiale de décomposition : espace vide probable

- Le crâne
- le rachis :
- La ceinture scapulaire :
- Le thorax :
- Le membre supérieur G :
- Le membre supérieur Dr :
- La ceinture pelvienne :
- Le membre inférieur G :
- Le membre supérieur Dr :

Type d'architecture funéraire :

Inhumation abritant un nourrisson. Seule ne subsiste que le tiers ouest de la tombe avec une dalle pour chacun des grands côtés (N/S). Fosse directement implanté dans l'encaissant aux limites étroites et à fond plat. Le reste de l'individu a été retrouvé dans le sédiment autour de la structure.

Orientation : E-O.

▣ SOND 6 - SEP 101 us 1359 :

Description anthropologique :

Age au décès : nourrisson entre 0,9 et 2,19 ans.

Stade dentaire (cf. fig. 78 & 79) :

Premières molaires déciduales supérieures Dr et G (54 - 64) et inférieures G et Dr (74 - 84) croissance terminée.

Deuxièmes molaires déciduales supérieures Dr et G (55 - 65) et inférieures G et Dr (75 - 85) croissance en cours, la partie occlusale est au niveau du bord alvéolaire.

Couronnes des premières molaires définitives inférieures G et Dr ½ .



Fig. 78 & 79 : stade d'évolution dentaire du maxillaire et de la mandibule.

Sexe : masculin possible

Type de sépulture : individuelle primaire

Altitude supérieure maximale :

Altitude supérieure minimale :

Position du squelette :

Squelette totalement perturbée et très peu représenté.

Lésions pathologiques macroscopiques :

Aucune pathologie n'a été décelée.

Description taphonomique :

- Phase initiale de décomposition : indéterminée.

Type d'architecture funéraire :

Inhumation abritant un nourrisson. L'ensemble de la sépulture a été détruite, les quelques éléments du coffrage et du squelette sont vraisemblablement restés à l'endroit où se trouvait la sépulture à l'origine.

Orientation probable : E-O.

- Mensurations de l'os coxal (cf. fig. 80) : masculin possible (courbe aile iliaque sinueuse - grande échancrure fermée autour de 90 °)

A-B (b2)	A-C	B-C	H-C (b1)	b3	b4
14.2 mm	12.4 mm	5 mm	3.9 mm	51.6 mm	60.8 mm



Fig. 80 : Mensurations sur l'os coxal Dr

SITE : Ereruyk 2013	Date : 18/09/13	Adulte Sexe indéterminé	Secteur : SOND 6
			N° Tombe : 106
			N° US : 1383

Sép. primaire <input type="checkbox"/>	Esp. vide <input type="checkbox"/>	Sign. externe <input type="checkbox"/>	Observation : Os dans le comblement de la SEP 106
Sép. second. <input type="checkbox"/>	Espace colmaté <input type="checkbox"/>	Str. interne <input type="checkbox"/>	
Sép. détruite <input checked="" type="checkbox"/>	Esp. ? <input checked="" type="checkbox"/>	mobilier <input type="checkbox"/>	

LEGENDE DES DIAGRAMMES D'ENTAIRES

- I Dent présente au niveau occlusal
- E Dent présente, en éruption
- N Dent présente mais non sortie
- L Dent isolée et identifiée avec certitude
- ? Dent isolée dont l'identification n'est que supposée
- X Agénésie dentaire
- X Dent perdue ante mortem (Résorption alvéolaire)

	Cervicales	Thoraciques	Lombaires
[Diagramme dentaire]	1	1	1
[Diagramme dentaire]	2	2	2
[Diagramme dentaire]	3	3	3
[Diagramme dentaire]	4	4	4
[Diagramme dentaire]	5	5	5
[Diagramme dentaire]	6	6	6
[Diagramme dentaire]	7	7	7
[Diagramme dentaire]	8	8	8
[Diagramme dentaire]	9	9	9
[Diagramme dentaire]	10	10	10
[Diagramme dentaire]	11	11	11
[Diagramme dentaire]	12	12	12

Commentaire :

Région présente et identifiée avec certitude

Région fragmentée

Situation exacte inconnue

Droite ou Gauche ?

UMR 800 CNRS chir de T.S. Costantini - Westermann et C. Makelajohn, modifié par M. Gaillon, P. Saller et P. Couraud. Information M. Couraud (M.FAN)

▣ SOND 6 - Comblement de SEP 106 us 1383 :

Description anthropologique :

Age au décès : Adulte

Sexe : Indéterminé

Stature estimée : 160 cm +/- 5 cm

Type de sépulture : secondaire

Altitude supérieure maximale :

Altitude supérieure minimale :

Position du squelette :

Inconnue.

Lésions pathologiques ou dégénératives macroscopiques :

Présence de facette de Poirier (cf. fig. 81) au niveau des faces antérieures des deux fémurs plus prononcée du côté Dr



Fig. 81 : Facettes de Poirier

Description taphonomique :

- Phase initiale de décomposition : indéterminée

Type d'architecture funéraire :

Ensemble d'os long appartenant à un sujet adulte essentiellement composé d'éléments des membres inférieurs. Ces ossements se trouvent dans le prolongement ouest de la sépulture 44. Ils peuvent faire partie de la réduction décrite dans le début du descriptif du sondage 6. Il est impossible de confirmer leur relation en revanche, il s'agit d'un individu supplémentaire puisque ceux qui ont été identifiés dans la sépulture 44A l'ont été notamment à partir de fémurs et tibias.

Tableaux de mensurations des adultes

SOND 3A - SEP 61 US 1303

MESURES DU NEUROCRANE									
Longueurs		Largeurs		Hauteurs		Arcs		Cordes	
Maxi. (1)	184 mm	Maxi. (8)	140 mm	BA-BR (17)	133 mm	Trans (24d)	350 mm	Frontale (29)	110 mm
GL-IN (2)	175 mm	Front. maxi. (10)	123 mm	PO-BR (20)		Sagittal (25)	358 mm	Pariétale (30)	112.7 mm
NA-BA (5)	105 mm	Front. mini. (9)	81 mm	Région mast.	38.3 mm	Frontal (26)	121 mm	Occipitale (31)	97.1 mm
For. mag. (7)	34.4 mm	Bi PO	114.2 mm	Calotte (22a)		Pariétal (27)	125 mm		
PO-AS	44.2 mm	For. mag. (16)	28.8 mm			Occipital (28)	112 mm		
Saillies		Périmètre		Profondeur		Epais. bosses frontales		Epais. bosses pariétales	
Arc. sourcil.	2.7 mm	Horiz. (23)		Pariét-occip	529 mm	Gauche			
Saillie mast	19.6 mm					Droite			

Tableau 1 : mensurations du neurocrâne de la sépulture 61

MESURES DU SPLANCHNOCRANE					
Largeurs		Longueurs		Hauteurs	
Bi-orb. (44)	90.6 mm	Totale (40)	97.1 mm	Supérieure (48)	72.4 mm
Inter-orb. (50)	19.6 mm	Palais (62)	56 mm	Spino/alv.	22.6 mm
Orbite G (51)	41.5 mm	Max./alv. (60)	44 mm	Nez (55)	50.4 mm
Orbite D (51)	40.2 mm	Nasaux (56)	21.2 mm	Orbite G (52)	33.4 mm
Bi-zyg. (45)	132.2 mm			Orbite D (52)	33.6 mm
Bi-ju (45.1)	109.5 mm				
Bi-zm (46)	89.7 mm				
Nez (54)	22.9 mm				
Nasaux maxi. (57.1)	18.1 mm				
Nasaux mini. (57)	10.6 mm				
Palais (63)	37.8 mm				
Max./alv. (61)	60.3 mm				

Tableau 2 : mensurations du splanchnocrâne de la sépulture 61

MESURES DE LA MANDIBULE									
Longueurs		Largeurs		Hauteurs		Epais. réelles		Epais. en proj.	
Totale (68)		Bi-co (65)		Br. mont. (70a)		Pm2/M1	12.1 mm	Pm2/M1	17.3 mm
Corps		Bi-go (66)		Symphyse (69)	33.1 mm	M1/M2	11.5 mm	M1/M2	17 mm
Condyle		Bi-mt (67)		Pm2/M1	31.1 mm				
		Br. mont. (71)		M1/M2	27.6 mm				
		Condyle							

Tableau 3 : mensurations de la mandibule de la sépulture 61

	G	D		
HUMERUS			INDICES	
Longueur maximum (1)	331 mm	342 mm	Robustesse (7/1) G	
Périmètre minimum (7)	64 mm	64 mm	Robustesse (7/1) D	
Diamètre maximum (5)	22.8 mm	23.3 mm	Diaphysaire (6/5) G	
Diamètre minimum (6)	18.1 mm	17.6 mm	Diaphysaire (6/5) D	
Diam. sagittal de la tête (10)	44.4 mm	46.3 mm		
Largeur extrémité distale	66.4 mm	68.5 mm		
RADIUS			INDICES	
Longueur maximum (1)	226.5 mm		Robustesse (3/2) G	
Longueur physiologique (2)	245 mm		Robustesse (3/2) D	
Périmètre minimum (3)	41 mm			
ULNA			INDICES	
Longueur maximum (1)			Robustesse (3/2) G	
Longueur physiologique (2)			Robustesse (3/2) D	
Périmètre minimum (3)			Aplatissement. sup. (13/14) G	
Diam. trans. sous sigm. (13)	21.1 mm	21.8 mm	Aplatissement. sup. (13/14) D	
Diam. sagit. sous sigm. (14)		23.7 mm		

Tableau 3 : mensurations et indices des membres supérieurs de la sépulture 61

	G	D		
FEMUR			INDICES	
Longueur en position (2)	454 mm	459 mm	Robustesse avec diam. (6+7/2) G	
Larg. de l'extrémité distale (21)	84.6 mm	84.7 mm	Robustesse avec diam. (6+7/2) D	
Diam. sagittal diaphyse (6)	28.8 mm	27.5 mm	Robustesse avec péri. (8/2) G	
Diamètre transv. diaphyse (7)	27.1 mm	27.2 mm	Robustesse avec péri. (8/2) D	
Périmètre (8)	87 mm	86 mm	Pilastrique (6/7) G	
Diam. sagittal ss-troch. (10)	25.1 mm	34.1 mm	Pilastrique (6/7) D	
Diamètre transv. ss-troch. (9)	34.8 mm	24.2 mm	Aplatissement sup. (12/13) G	
Diamètre vertical tête (18)	46.2 mm	46.3 mm	Aplatissement sup. (12/13) D	
PATELLA			INDICES	
Hauteur maximum (1)	44.6 mm	44.3 mm	hauteur/largeur (2/1) G	
Largeur maximum (2)	44.8 mm	44.9 mm	hauteur/largeur (2/1) D	
			Haut. G (1/ L. fémur+L. tib.)	
			Haut. D (1/ L. fémur+L. tib.)	
TIBIA			INDICES	
Longueur maximum (1)	385 mm	387 mm	Robustesse (10b/2) G	
Périmètre minimum (10b)	74 mm	74 mm	Robustesse (10b/2) D	
Largeur de l'extrem. prox.	77.7 mm	77.7 mm	Aplatissement sup. (9a/8a) G	
Diam. sagit. trou nour. (8a)	34.2 mm	33.3 mm	Aplatissement sup. (9a/8a) D	
Diam. trans. trou nour. (9a)	23 mm	22.3 mm		
FIBULA			INDICES	
Longueur maximum (1)	388 mm	386 mm	Robustesse (4a/1) G	
Périmètre minimum (4a)	36 mm	38 mm	Robustesse (4a/1) D	
Diamètre maximum (2)	16.2 mm	18.4 mm	Diaphysaire (3/2) G	
Diamètre minimum (3)	12 mm	12.8 mm	Diaphysaire (3/2) D	
TALUS			INDICES	
Longueur (1)	57 mm	59.9 mm	Largeur (2/1) G	
largeur (2)	46.1 mm	46 mm	Largeur (2/1) D	
Hauteur (3)	32 mm	33 mm	Hauteur (3/1) G	
Longueur poulie (4)	33.9 mm	35.7 mm	Hauteur (3/1) D	
CALCANEUM			INDICES	
Longueur maximum (1)	78.9 mm	78.3 mm	Largeur (3/1) G	
Largeur minimum (3)	29.2 mm	28.8 mm	Largeur (3/1) D	
Hauteur (4)	41.5 mm	43.3 mm	Hauteur (4/1) G	
Saillie sustentaculum tali (6)	9.5 mm	12.8	Hauteur (4/1) D	
Angle de Böhler				

Tableau 4 : mensurations et indices des membres inférieurs de la sépulture 61

		G	D		
SCAPULA			INDICES		
Hauteur (1)		156.7 mm	Indice scapulaire (2/1) G		
Largeur (2)		116.6 mm	Indice scapulaire (2/1) D		
Hauteur cavité glénoïde (12)		37 mm	Indice glénoïdien (13/12) G		
Largeur cavité glénoïde (13)		29 mm	Indice glénoïdien (13/12) D		
Longueur épine (7)		146.8 mm			
CLAVICULE			INDICES		
Longueur maximum (1)		146.4 mm	Robustesse (6/1) G		
Périmètre au milieu (6)			Robustesse (6/1) D		
Diamètre maximum			Largeur externe G		
Diamètre minimum			Largeur externe D		
Largeur externe		23.7 mm			

Tableau 5 : mensurations et indices de la ceinture scapulaire de la sépulture 61

ATLAS		INDICES	
Diamètre sagittal	44.4 mm	Indice de largeur (Diam sag/Diam transv.)	
Diamètre transversal	83.2 mm		
Épaisseur de l'arc antérieur	4.8 mm		
Épaisseur de l'arc postérieur	5.9 mm		
AXIS		INDICES	
Diamètre sagittal	46 mm	Indice de largeur (Diam sag/Diam transv.)	
Diamètre transversal	60.2 mm		
Hauteur apophyse odontoïde	15.6 mm		
Long. apophyse épineuse	16.3 mm		
LOMBAIRE		INDICES	
L1 Haut. antérieure corps	28.3 mm	Haut. post./haut. ant. (L1)	
L1 Haut. postérieure corps	28.3 mm		
L2 Haut. antérieure corps	29.4 mm	Haut. post./haut. ant. (L2)	
L2 Haut. postérieure corps	29.9 mm		
L3 Haut. antérieure corps	29.6 mm	Haut. post./haut. ant. (L3)	
L3 Haut. postérieure corps	30 mm		
L4 Haut. antérieure corps	29.7 mm	Haut. post./haut. ant. (L4)	
L4 Haut. postérieure corps	28.4 mm		
L5 Haut. antérieure corps	29.4 mm	Haut. post./haut. ant. (L5)	
L5 Haut. postérieure corps	24.6 mm	Cunningham (L1 à L5)	
SACRUM		INDICES	
Hauteur antérieure réelle (1)	108 mm	Haut.Larg. (3/2)	
Hauteur antérieure en project. (2)	96.5 mm	Courbure sagittale (2/1)	
Largeur supérieure maximum (3)	118.1 mm		

Tableau 6 : mensurations et indices du rachis de la sépulture 61

PREMIERE COTE	G	D	INDICES	
Corde interne	58.6 mm	58.6 mm	Indice d'élargissement (Larg. mini./larg. maxi.)	
Flèche interne	40.3 mm	40.6 mm	Indice retréc. sternal Larg. extrém. stern./larg. maxi.	
Long. de l'extrémité vertébrale	41.3 mm	42.5 mm	Indice extrém. vertéb. (Long. vert./corde externe)	
Corde externe	99.3 mm	99.3 mm	Indice flèche interne (Flèche int./corde int.)	
Largeur minimum	17.3 mm	17.6 mm		
Largeur maximum	22.8 mm	25.6 mm		
Largeur de l'extrémité sternale	20.7 mm	21.7 mm		
STERNUM			INDICES	
Longueur du corps	110.3 mm		Indice du corps Largeur max/Long. totale)	
Largeur maximum du corps	39.9 mm		Indice manubrium (Larg. manu./Long. manu.)	-
Largeur minimum du corps	24.4 mm			
Longueur du manubrium	57.7 mm			
Largeur du manubrium	66.5 mm			

Tableau 7 : mensurations et indices du thorax de la sépulture 61

INDICES	
Indice inter-membral G (Long. humérus + Long. radius/Long. fémur + Long. tibia)	
Indice inter-membral Dr (Long. humérus + Long. radius/Long. fémur + Long. tibia)	
Indice huméro-fémoral G (Long. humérus/long. fémur)	
Indice huméro-fémoral Dr (Long. humérus/long. fémur)	
Indice tibio-radial G (Long. radius/Long. tibia)	
Indice tibio-radial Dr (Long. radius/Long. tibia)	
Indice crural G (Long. tibia/Long. fémur)	
Indice crural Dr (Long. tibia/Long. fémur)	
Indice brachial G Long. radius/Long. humérus)	
Indice brachial Dr Long. radius/Long. humérus)	
Indice claviculo-huméral G (Long. clav./Long. humérus)	
Indice claviculo-huméral Dr (Long. clav./Long. humérus)	

Tableau 8 : indices inter-osseux de la sépulture 61

SOND 3A - SEP 84 US 1339

	G	D		
HUMERUS			INDICES	
Longueur maximum (1)	281 mm		Robustesse (7/1) G	
Périmètre minimum (7)	63 mm		Robustesse (7/1) D	
Diamètre maximum (5)	23.2 mm		Diaphysaire (6/5) G	
Diamètre minimum (6)	20 mm		Diaphysaire (6/5) D	
Diamètre sagittal de la tête (10)	44.8 mm	43.1 mm		
Largeur extrémité distale	60.4 mm			
RADIUS			INDICES	
Longueur maximum (1)	219.2 mm		Robustesse (3/2) G	
Longueur physiologique (2)	206 mm	206 mm	Robustesse (3/2) D	
Périmètre minimum (3)	43 mm			
ULNA			INDICES	
Longueur maximum (1)			Robustesse (3/2) G	
Longueur physiologique (2)	207 mm		Robustesse (3/2) D	
Périmètre minimum (3)	36 mm		Aplatissement. sup. (13/14) G	
Diamètre trans. sous sigm. (13)	20.2 mm	20.2 mm	Aplatissement. sup. (13/14) D	
Diamètre sagit. sous sigm. (14)	20.9 mm	23.1 mm		

Tableau 1 : mensurations et indices des membres supérieurs de la sépulture 84

	G	D		
FEMUR			INDICES	
Longueur en position (2)		365 mm	Robustesse avec diam. (6+7/2) G	
Larg. de l'extrémité distale (21)	80.5 mm	77.7 mm	Robustesse avec diam. (6+7/2) D	
Diamètre sagittal diaphyse (6)	27.2 mm	28.4 mm	Robustesse avec périm. (8/2) G	
Diamètre transv. diaphyse (7)	29.4 mm	29.4 mm	Robustesse avec périm. (8/2) D	
Périmètre (8)	90 mm	90 mm	Pilastrique (6/7) G	
Diamètre sagittal ss-troch. (10)	28.1 mm	26.7 mm	Pilastrique (6/7) D	
Diamètre transv. ss-troch. (9)	37.1 mm	34.1 mm	Aplatissement sup. (12/13) G	
Diamètre vertical tête (18)	42.5 mm	43.9 mm	Aplatissement sup. (12/13) D	
PATELLA			INDICES	
Hauteur maximum (1)	39 mm		hauteur/largeur (2/1) G	
Largeur maximum (2)	46.2 mm		hauteur/largeur (2/1) D	
			Haut. G (1/ L. fémur+L. tib.)	
			Haut. D (1/ L. fémur+L. tib.)	
TIBIA			INDICES	
Longueur maximum (1)	326 mm	333 mm	Robustesse (10b/2) G	
Périmètre minimum (10b)	75 mm	76 mm	Robustesse (10b/2) D	
Largeur de l'extrem. prox.	73.1 mm	73.9 mm	Aplatissement sup. (9a/8a) G	
Diam. sagit. trou nour. (8a)	31.7 mm	33.3 mm	Aplatissement sup. (9a/8a) D	
Diam. trans. au trou nour. (9a)	25.4 mm	24.8 mm		
FIBULA			INDICES	
Longueur maximum (1)	317 mm		Robustesse (4a/1) G	

Périmètre minimum (4a)	33 mm		Robustesse (4a/1) D	
Diamètre maximum (2)	14.9 mm		Diaphysaire (3/2) G	
Diamètre minimum (3)	10.4 mm		Diaphysaire (3/2) D	
TALUS			INDICES	
Longueur (1)	47.9 mm	47.4 mm	Largeur (2/1) G	
Largeur (2)	39.6 mm	40.3 mm	Largeur (2/1) D	
Hauteur (3)	28.3 mm	28.5 mm	Hauteur (3/1) G	
Longueur poulie (4)	30.6 mm	32.5 mm	Hauteur (3/1) D	
CALCANEUM			INDICES	
Longueur maximum (1)	73.4 mm	73.2 mm	Largeur (3/1) G	
Largeur minimum (3)	30 mm	28.5 mm	Largeur (3/1) D	
Hauteur (4)	33.4 mm	34.3 mm	Hauteur (4/1) G	
Saillie du sustentaculum tali (6)	9.7 mm	7.5 mm	Hauteur (4/1) D	
Angle de Böhler				

Tableau 2 : mensurations et indices des membres inférieurs de la sépulture 84

	G	D		
SCAPULA			INDICES	
Hauteur (1)			Indice scapulaire (2/1) G	
Largeur (2)			Indice scapulaire (2/1) D	
Hauteur cavité glénoïde (12)	38.5 mm		Indice glénoïdien (13/12) G	
Largeur cavité glénoïde (13)	24.7 mm		Indice glénoïdien (13/12) D	
Longueur épine (7)				
CLAVICULE			INDICES	
Longueur maximum (1)	147 mm		Robustesse (6/1) G	
Périmètre au milieu (6)			Robustesse (6/1) D	
Diamètre maximum			Largeur externe G	
Diamètre minimum			Largeur externe D	
Largeur externe	27 mm			

Tableau 3 : mensurations et indices de la ceinture scapulaire de la sépulture 84

STERNUM		INDICES	
Longueur du corps	94.7 mm	Indice du corps Largeur max/Long. totale)	
Largeur maximum du corps	37.4 mm	Indice manubrium (Larg. manu./Long. manu.)	-
Largeur minimum du corps	29.7 mm		
Longueur du manubrium	51.9 mm		
Largeur du manubrium	57.2 mm		

Tableau 4 : mensurations et indices du thorax de la sépulture 84

INDICES	
Indice inter-membral G (Long. humérus + Long. radius/Long. fémur + Long. tibia)	
Indice inter-membral Dr (Long. humérus + Long. radius/Long. fémur + Long. tibia)	
Indice huméro-fémoral G (Long. humérus/long. fémur)	
Indice huméro-fémoral Dr (Long. humérus/long. fémur)	
Indice tibio-radial G (Long. radius/Long. tibia)	
Indice tibio-radial Dr (Long. radius/Long. tibia)	
Indice crural G (Long. tibia/Long. fémur)	
Indice crural Dr (Long. tibia/Long. fémur)	
Indice brachial G Long. radius/Long. humérus)	
Indice brachial Dr Long. radius/Long. humérus)	
Indice claviculo-huméral G (Long. clav./Long. humérus)	
Indice claviculo-huméral Dr (Long. clav./Long. humérus)	

Tableau 5 : indices inter-osseux de la sépulture 84

SOND 3A - SEP 85 US 1302

MESURES DU NEUROCRANE									
Longueurs		Largeurs		Hauteurs		Arcs		Cordes	
Maxi. (1)	179 mm	Maxi. (8)	139 mm	BA-BR (17)	136 mm	Trans (24d)	323 mm	Frontale (29)	106.6 mm
GL-IN (2)	163 mm	Front. maxi. (10)	121 mm	PO-BR (20)		Sagittal (25)	383 mm	Pariétale (30)	126.1 mm
NA-BA (5)	102 mm	Front. mini. (9)	98 mm	Région mast.	37.7 mm	Frontal (26)	123 mm	Occipitale (31)	100.1 mm
For. mag. (7)	34 mm	Bi PO	115.1 mm	Calotte (22a)		Pariétal (27)	140 mm		
PO-AS	48.2 mm	For. mag. (16)	25.5 mm			Occipital (28)	120 mm		
Saillies		Périmètre		Profondeur		Epais. bosses frontales		Epais. bosses pariétales	
Arc. sourcil.	1.7 mm	Horiz. (23)	518 mm	Pariét-occip	0 mm	Gauche			
Saillie mast	12.6 mm					Droite			

Tableau 1 : mensurations du neurocrâne de la sépulture 85

MESURES DU SPLANCHNOCRANE					
Largeurs		Longueurs		Hauteurs	
Bi-orb. (44)	90.7 mm	Totale (40)		Supérieure (48)	
Inter-orb. (50)	20.4 mm	Palais (62)		Spino/alv.	
Orbite G (51)	39.3 mm	Max./alv. (60)		Nez (55)	50.7 mm
Orbite D (51)	41.4 mm	Nasaux (56)		Orbite G (52)	33.4 mm
Bi-zyg. (45)	130 mm			Orbite D (52)	33.9 mm
Bi-ju (45.1)	108.1 mm				
Bi-zm (46)	91 mm				
Nez (54)	23 mm				
Nasaux maxi. (57.1)	16.9 mm				
Nasaux mini. (57)	12.6 mm				
Palais (63)					
Max./alv. (61)					

Tableau 2 : mensurations du splanchnocrâne de la sépulture 85

MESURES DE LA MANDIBULE									
Longueurs		Largeurs		Hauteurs		Epais. réelles		Epais. en proj.	
Totale (68)		Bi-co (65)		Br. mont. (70a)		Pm2/M1		Pm2/M1	
Corps		Bi-go (66)	86.3 mm	Symphyse (69)	34.8 mm	M1/M2		M1/M2	
Condyle	16.3 mm	Bi-mt (67)	43.4 mm	Pm2/M1					
		Br. mont. (71)	28.8 mm	M1/M2					
		Condyle	7.8 mm						

Tableau 3 : mensurations de la mandibule de la sépulture 85

	G	D		
HUMERUS			INDICES	
Longueur maximum (1)	285 mm	292 mm	Robustesse (7/1) G	
Périmètre minimum (7)	64 mm	66 mm	Robustesse (7/1) D	
Diamètre maximum (5)	21.9 mm	23.3 mm	Diaphysaire (6/5) G	
Diamètre minimum (6)	18.8 mm	19.5 mm	Diaphysaire (6/5) D	
Diam. sagittal de la tête (10)	42.3 mm	42.3 mm		
Largeur extrémité distale	58.8 mm	60.8 mm		
ULNA			INDICES	
Longueur maximum (1)			Robustesse (3/2) G	
Longueur physiologique (2)			Robustesse (3/2) D	
Périmètre minimum (3)			Aplatissement. sup. (13/14) G	
Diam. trans. sous sigm. (13)	18.9 mm	22 mm	Aplatissement. sup. (13/14) D	
Diam. sagit. sous sigm. (14)	22.3 mm	24.6 mm		

Tableau 3 : mensurations et indices des membres supérieurs de la sépulture 85

	G	D		
FEMUR			INDICES	
Longueur en position (2)	389 mm	385 mm	Robustesse avec diam. (6+7/2) G	
Larg. de l'extrémité distale (21)	82.2 mm	81.8 mm	Robustesse avec diam. (6+7/2) D	
Diamètre sagittal diaphyse (6)	29.6 mm	29.9 mm	Robustesse avec périm. (8/2) G	
Diamètre transv. diaphyse (7)	28.1 mm	27.8 mm	Robustesse avec périm. (8/2) D	
Périmètre (8)	89 mm	91 mm	Pilastrique (6/7) G	
Diamètre sagittal ss-troch. (10)	26.7 mm	28.4 mm	Pilastrique (6/7) D	
Diamètre transv. ss-troch. (9)	34.9 mm	35.1 mm	Aplatissement sup. (12/13) G	
Diamètre vertical tête (18)	41.6 mm		Aplatissement sup. (12/13) D	
PATELLA			INDICES	
Hauteur maximum (1)	39 mm	39.4 mm	hauteur/largeur (2/1) G	
Largeur maximum (2)	49 mm	49.5 mm	hauteur/largeur (2/1) D	
			Haut. G (1/ L. fémur+L. tib.)	
			Haut. D (1/ L. fémur+L. tib.)	
TIBIA			INDICES	
Longueur maximum (1)	323 mm	323 mm	Robustesse (10b/2) G	
Périmètre minimum (10b)	72 mm	73 mm	Robustesse (10b/2) D	
Largeur de l'extrem. prox.	72.7 mm	75.4 mm	Aplatissement sup. (9a/8a) G	
Diam. sagit. trou nour. (8a)	33.7 mm	34.9 mm	Aplatissement sup. (9a/8a) D	
Diam. trans. trou nour. (9a)	23.4 mm	24.4 mm		
FIBULA			INDICES	
Longueur maximum (1)	324 mm	325 mm	Robustesse (4a/1) G	
Périmètre minimum (4a)	34 mm	34 mm	Robustesse (4a/1) D	
Diamètre maximum (2)	14.9 mm	15.5 mm	Diaphysaire (3/2) G	
Diamètre minimum (3)	11.2 mm	10.8 mm	Diaphysaire (3/2) D	
TALUS			INDICES	
Longueur (1)	47.8 mm	49.9 mm	Largeur (2/1) G	
largeur (2)	40.5 mm	40 mm	Largeur (2/1) D	
Hauteur (3)	27.3 mm	26.4 mm	Hauteur (3/1) G	
Longueur poulie (4)	29.6 mm	31.8 mm	Hauteur (3/1) D	
CALCANEUM			INDICES	
Longueur maximum (1)	68.9 mm	68.7 mm	Largeur (3/1) G	
Largeur minimum (3)	28.2 mm	28.7 mm	Largeur (3/1) D	
Hauteur (4)	35.9 mm	36 mm	Hauteur (4/1) G	
Saillie du sustentaculum tali (6)	8.2 mm	8.5 mm	Hauteur (4/1) D	
Angle de Böhler				

Tableau 4 : mensurations et indices des membres inférieurs de la sépulture 85

	G	D		
SCAPULA			INDICES	
Hauteur (1)	140 mm	138.5 mm	Indice scapulaire (2/1) G	
Largeur (2)	93.9 mm	94.1 mm	Indice scapulaire (2/1) D	
Hauteur cavité glénoïde (12)	32.9 mm	34.4 mm	Indice glénoïdien (13/12) G	
Largeur cavité glénoïde (13)	23.2 mm	22.4 mm	Indice glénoïdien (13/12) D	
Longueur épine (7)	124.2 mm	125.5 mm		
CLAVICULE			INDICES	
Longueur maximum (1)	135.8 mm	140.2 mm	Robustesse (6/1) G	
Périmètre au milieu (6)	36 mm	37 mm	Robustesse (6/1) D	
Diamètre maximum	13 mm	13.1 mm	Largeur externe G	
Diamètre minimum	10.4 mm	9.8 mm	Largeur externe D	
Largeur externe	27.2 mm	28.3 mm		

Tableau 5 : mensurations et indices de la ceinture scapulaire de la sépulture 85

ATLAS		INDICES	
Diamètre sagittal	46.6 mm	Indice de largeur (Diam sag/Diam transv.)	
Diamètre transversal	68.2 mm		
Épaisseur de l'arc antérieur	4.9 mm		
Épaisseur de l'arc postérieur	6.6 mm		
AXIS		INDICES	
Diamètre sagittal	48.4 mm	Indice de largeur (Diam sag/Diam transv.)	
Diamètre transversal	53 mm		
Hauteur apophyse odontoïde	13 mm		
Long. apophyse épineuse	15.3 mm		
LOMBAIRE		INDICES	
L1 Haut. antérieure corps	25.5 mm	Haut. post./haut. ant. (L1)	
L1 Haut. postérieure corps	28.1 mm		
L2 Haut. antérieure corps	29.1 mm	Haut. post./haut. ant. (L2)	
L2 Haut. postérieure corps	29.1 mm		
L3 Haut. antérieure corps	29.8 mm	Haut. post./haut. ant. (L3)	
L3 Haut. postérieure corps	29.3 mm		
L4 Haut. antérieure corps	29.5 mm	Haut. post./haut. ant. (L4)	
L4 Haut. postérieure corps	25.4 mm		
L5 Haut. antérieure corps	28.4 mm	Haut. post./haut. ant. (L5)	
L5 Haut. postérieure corps	29.6 mm	Cunningham (L1 à L5)	
SACRUM		INDICES	
Hauteur antérieure réelle (1)	106 mm	Haut.Larg. (3/2)	
Hauteur antérieure en project. (2)	97.3 mm	Courbure sagittale (2/1)	
Largeur supérieure maximum (3)	100.9 mm		

Tableau 6 : mensurations et indices du rachis de la sépulture 85

PREMIERE COTE	G	D	INDICES	
Corde interne	58.4 mm	58.6 mm	Indice d'élargissement (Larg. mini./larg. maxi.)	
Flèche interne	28.8 mm	27.9 mm	Indice retréc. sternal Larg. extrém. stern./larg. maxi.	
Long. de l'extrémité vertébrale	37.7 mm	37.7 mm	Indice extrém. vertéb. (Long. vert./corde externe)	
Corde externe	90.9 mm	93.1 mm	Indice flèche interne (Flèche int./corde int.)	
Largeur minimum	18 mm	17 mm		
Largeur maximum	25.4 mm	25.3 mm		
Largeur de l'extrémité sternale	27.8 mm	23.4 mm		
STERNUM			INDICES	
Longueur du corps	89.3 mm		Indice du corps Largeur max/Long. totale)	
Largeur maximum du corps	48.1 mm		Indice manubrium (Larg. manu./Long. manu.)	-
Largeur minimum du corps	32.5 mm			
Longueur du manubrium	57.7 mm			
Largeur du manubrium	51.7 mm			

Tableau 7 : mensurations et indices du thorax de la sépulture 85

INDICES	
Indice inter-membral G (Long. humérus + Long. radius/Long. fémur + Long. tibia)	
Indice inter-membral Dr (Long. humérus + Long. radius/Long. fémur + Long. tibia)	
Indice huméro-fémoral G (Long. humérus/long. fémur)	
Indice huméro-fémoral Dr (Long. humérus/long. fémur)	
Indice tibio-radial G (Long. radius/Long. tibia)	
Indice tibio-radial Dr (Long. radius/Long. tibia)	
Indice crural G (Long. tibia/Long. fémur)	
Indice crural Dr (Long. tibia/Long. fémur)	
Indice brachial G Long. radius/Long. humérus)	
Indice brachial Dr Long. radius/Long. humérus)	
Indice claviculo-huméral G (Long. clav./Long. humérus)	
Indice claviculo-huméral Dr (Long. clav./Long. humérus)	

Tableau 8 : indices inter-osseux de la sépulture 85

SOND 3A - SEP 88 US 1299

HUMERUS			INDICES	
Longueur maximum (1)			Robustesse (7/1) G	
Périmètre minimum (7)			Robustesse (7/1) D	
Diamètre maximum (5)			Diaphysaire (6/5) G	
Diamètre minimum (6)			Diaphysaire (6/5) D	
Diamètre sagittal de la tête (10)				
Largeur extrémité distale		58.4 mm		
RADIUS			INDICES	
Longueur maximum (1)			Robustesse (3/2) G	
Longueur physiologique (2)			Robustesse (3/2) D	
Périmètre minimum (3)				
ULNA			INDICES	
Longueur maximum (1)			Robustesse (3/2) G	
Longueur physiologique (2)			Robustesse (3/2) D	
Périmètre minimum (3)			Aplatissement. sup. (13/14) G	
Diamètre trans. sous sigm. (13)			Aplatissement. sup. (13/14) D	
Diamètre sagit. sous sigm. (14)				

Tableau 1 : mensurations et indices des membres supérieurs de la sépulture 88

	G	D		
FEMUR			INDICES	
Longueur en position (2)			Robustesse avec diam. (6+7/2) G	
Larg. de l'extrémité distale (21)	78.7 mm	80.6 mm	Robustesse avec diam. (6+7/2) D	
Diamètre sagittal diaphyse (6)		38.8 mm	Robustesse avec périm. (8/2) G	
Diamètre transv. diaphyse (7)		21.1 mm	Robustesse avec périm. (8/2) D	
Périmètre (8)		99 mm	Pilastrique (6/7) G	
Diamètre sagittal ss-troch. (10)		27.4 mm	Pilastrique (6/7) D	
Diamètre transv. ss-troch. (9)		36.4 mm	Aplatissement sup. (12/13) G	
Diamètre vertical tête (18)			Aplatissement sup. (12/13) D	
TIBIA			INDICES	
Longueur maximum (1)			Robustesse (10b/2) G	
Périmètre minimum (10b)			Robustesse (10b/2) D	
Largeur de l'extrem. prox. (8a)	73.8 mm	76.7 mm	Aplatissement sup. (9a/8a) G	
Diam. sagit. au trou nour. (8a)	37.3 mm	40.3 mm	Aplatissement sup. (9a/8a) D	
Diam. trans. au trou nour. (9a)	26.6 mm	26.6 mm		
TALUS			INDICES	
Longueur (1)		56.7 mm	Largeur (2/1) G	
largeur (2)		41.4 mm	Largeur (2/1) D	
Hauteur (3)		33.1 mm	Hauteur (3/1) G	
Longueur poulie (4)		30.6 mm	Hauteur (3/1) D	
CALCANEUM			INDICES	
Longueur maximum (1)	73.4 mm	75.9 mm	Largeur (3/1) G	
Largeur minimum (3)	27.6 mm	25.5 mm	Largeur (3/1) D	
Hauteur (4)	36.1 mm	36.9 mm	Hauteur (4/1) G	
Saillie du sustentaculum tali (6)	11.2 mm		Hauteur (4/1) D	
Angle de Böhler				

Tableau 2 : mensurations et indices des membres inférieurs de la sépulture 88

SOND 3B - SEP 70 US 1364

MESURES DU NEUROCRANE									
Longueurs		Largeurs		Hauteurs		Arcs		Cordes	
Maxi. (1)		Maxi. (8)		BA-BR (17)		Trans (24d)		Frontale (29)	114.8 mm
GL-IN (2)		Front. maxi. (10)		PO-BR (20)		Sagittal (25)		Pariétale (30)	
NA-BA (5)		Front. mini. (9)		Région mast.		Frontal (26)	122 mm	Occipitale (31)	
For. mag. (7)		Bi PO		Calotte (22a)		Pariétal (27)			
PO-AS	41 mm	For. mag. (16)				Occipital (28)			
Saillies		Périmètre		Profondeur		Epais. bosses frontales		Epais. bosses pariétales	
Arc. sourcil.		Horiz. (23)		Pariét-occip		Gauche			
Saillie mast						Droite			

Tableau 1 : mensurations du neurocrâne de la sépulture 70

MESURES DU SPLANCHNOCRANE					
Largeurs		Longueurs		Hauteurs	
Bi-orb. (44)	87.5 mm 16.1 mm	Totale (40)		Supérieure (48)	75.9 mm
Inter-orb. (50)		Palais (62)	49.6 mm	Spino/alv.	20.4 mm
Orbite G (51)	39.4 mm	Max./alv. (60)	42 mm	Nez (55)	55.4 mm
Orbite D (51)	38.2 mm	Nasaux (56)	21.6 mm	Orbite G (52)	
Bi-zyg. (45)	130.7 mm			Orbite D (52)	34.4 mm
Bi-ju (45.1)	111 mm				
Bi-zm (46)	94.4 mm				
Nez (54)	23.3 mm				
Nasaux maxi. (57.1)	15.9 mm				
Nasaux mini. (57)	5.8 mm				
Palais (63)	38.6 mm				
Max./alv. (61)	62.6 mm				

Tableau 2 : mensurations du splanchnocrâne de la sépulture 70

		G	D		
HUMERUS			INDICES		
Longueur maximum (1)				Robustesse (7/1) G	
Périmètre minimum (7)				Robustesse (7/1) D	
Diamètre maximum (5)				Diaphysaire (6/5) G	
Diamètre minimum (6)				Diaphysaire (6/5) D	
Diam. sagittal de la tête (10)	47.2 mm		44.9 mm		
Largeur extrémité distale	59.7 mm				
RADIUS			INDICES		
Longueur maximum (1)				Robustesse (3/2) G	
Longueur physiologique (2)				Robustesse (3/2) D	
Périmètre minimum (3)					
ULNA			INDICES		
Longueur maximum (1)				Robustesse (3/2) G	
Longueur physiologique (2)				Robustesse (3/2) D	
Périmètre minimum (3)				Aplatissement. sup. (13/14) G	
Diam. trans. sous sigm. (13)	21.4 mm			Aplatissement. sup. (13/14) D	
Diam. sagit. sous sigm. (14)	21 mm				

Tableau 3 : mensurations et indices des membres supérieurs de la sépulture 70

	G	D		
FEMUR			INDICES	
Longueur en position (2)	473 mm	476 mm	Robustesse avec diam. (6+7/2) G	
Larg. de l'extrémité distale (21)	80.7 mm	82.3 mm	Robustesse avec diam. (6+7/2) D	
Diamètre sagittal diaphyse (6)	33.7 mm	30.4 mm	Robustesse avec périm. (8/2) G	
Diamètre transv. diaphyse (7)	31.3 mm	28.6 mm	Robustesse avec périm. (8/2) D	
Périmètre (8)		97 mm	Pilastrique (6/7) G	
Diamètre sagittal ss-troch. (10)	31.1 mm	28.3 mm	Pilastrique (6/7) D	
Diamètre transv. ss-troch. (9)	35.8 mm	34.8 mm	Aplatissement sup. (12/13) G	
Diamètre vertical tête (18)	46.7 mm	47.3 mm	Aplatissement sup. (12/13) D	
PATELLA			INDICES	
Hauteur maximum (1)	41.5 mm	40.6 mm	hauteur/largeur (2/1) G	
Largeur maximum (2)	44.3 mm	46.7 mm	hauteur/largeur (2/1) D	
			Haut. G (1/ L. fémur+L. tib.)	
			Haut. D (1/ L. fémur+L. tib.)	
TIBIA			INDICES	
Longueur maximum (1)	375 mm	377 mm	Robustesse (10b/2) G	
Périmètre minimum (10b)	80 mm	80 mm	Robustesse (10b/2) D	
Largeur de l'extrem. prox.	79.8 mm	78.9 mm	Aplatissement sup. (9a/8a) G	
Diam. sagit. au trou nour. (8a)	34.3 mm	35.1 mm	Aplatissement sup. (9a/8a) D	
Diam. trans. au trou nour. (9a)	25.8 mm	25.9 mm		
FIBULA			INDICES	
Longueur maximum (1)	364 mm	362 mm	Robustesse (4a/1) G	
Périmètre minimum (4a)	34 mm	36 mm	Robustesse (4a/1) D	
Diamètre maximum (2)	15.9 mm	16.9 mm	Diaphysaire (3/2) G	
Diamètre minimum (3)	11.9 mm	11.8 mm	Diaphysaire (3/2) D	
TALUS			INDICES	
Longueur (1)	57.3 mm	56.8 mm	Largeur (2/1) G	
largeur (2)	44 mm	43.9 mm	Largeur (2/1) D	
Hauteur (3)	33	32.1 mm	Hauteur (3/1) G	
Longueur poulie (4)	34.5 mm	33.6 mm	Hauteur (3/1) D	
CALCANEUM			INDICES	
Longueur maximum (1)	82.9 mm	84.5 mm	Largeur (3/1) G	
Largeur minimum (3)	29.3 mm	29.3 mm	Largeur (3/1) D	
Hauteur (4)	42.6 mm	44.1 mm	Hauteur (4/1) G	
Saillie du sustentaculum tali (6)	14 mm	12 mm	Hauteur (4/1) D	
Angle de Böhler				

Tableau 4 : mensurations et indices des membres inférieurs de la sépulture 70

	G	D		
SCAPULA			INDICES	
Hauteur (1)	152.5 mm		Indice scapulaire (2/1) G	
Largeur (2)	103 mm		Indice scapulaire (2/1) D	
Hauteur cavité glénoïde (12)	36.5 mm	37 mm	Indice glénoïdien (13/12) G	
Largeur cavité glénoïde (13)	27.9 mm	29.7 mm	Indice glénoïdien (13/12) D	
Longueur épine (7)	136.4 mm	139.2 mm		
CLAVICULE			INDICES	
Longueur maximum (1)	147.3 mm		Robustesse (6/1) G	
Périmètre au milieu (6)	43 mm		Robustesse (6/1) D	
Diamètre maximum	15.4 mm		Largeur externe G	
Diamètre minimum	11.6 mm		Largeur externe D	
Largeur externe	24.1 mm	26.7 mm		

Tableau 5 : mensurations et indices de la ceinture scapulaire de la sépulture 70

LOMBAIRE		INDICES	
L1 Haut. antérieure corps	28.3 mm	Haut. post./haut. ant. (L1)	
L1 Haut. postérieure corps	29 mm		
L2 Haut. antérieure corps	27 mm	Haut. post./haut. ant. (L2)	
L2 Haut. postérieure corps	28.5 mm		
L3 Haut. antérieure corps	28.4 mm	Haut. post./haut. ant. (L3)	
L3 Haut. postérieure corps	28.8 mm		
L4 Haut. antérieure corps	26.7 mm	Haut. post./haut. ant. (L4)	
L4 Haut. postérieure corps	27.9 mm		
L5 Haut. antérieure corps		Haut. post./haut. ant. (L5)	
L5 Haut. postérieure corps		Cunningham (L1 à L5)	
SACRUM		INDICES	
Hauteur antérieur réelle (1)	117 mm	Haut.Larg. (3/2)	
Hauteur antérieure en project. (2)	105.1 mm	Courbure sagittale (2/1)	
Largeur supérieure maximum (3)	116.7 mm		

Tableau 6 : mensurations et indices du rachis de la sépulture 70

STERNUM		INDICES	
Longueur du corps	99.6 mm	Indice du corps Largeur max/Long. totale)	
Largeur maximum du corps	38.9 mm	Indice manubrium (Larg. manu./Long. manu.)	-
Largeur minimum du corps	31.5 mm		
Longueur du manubrium			
Largeur du manubrium			

Tableau 7 : mensurations et indices du thorax de la sépulture 70

INDICES	
Indice inter-membral G (Long. humérus + Long. radius/Long. fémur + Long. tibia)	
Indice inter-membral Dr (Long. humérus + Long. radius/Long. fémur + Long. tibia)	
Indice huméro-fémoral G (Long. humérus/long. fémur)	
Indice huméro-fémoral Dr (Long. humérus/long. fémur)	
Indice tibio-radial G (Long. radius/Long. tibia)	
Indice tibio-radial Dr (Long. radius/Long. tibia)	
Indice crural G (Long. tibia/Long. fémur)	
Indice crural Dr (Long. tibia/Long. fémur)	
Indice brachial G Long. radius/Long. humérus)	
Indice brachial Dr Long. radius/Long. humérus)	
Indice claviculo-huméral G (Long. clav./Long. humérus)	
Indice claviculo-huméral Dr (Long. clav./Long. humérus)	

Tableau 8 : indices inter-osseux de la sépulture 70

SOND 3B - SEP 75 US 1362

MESURES DU NEUROCRANE									
Longueurs		Largeurs		Hauteurs		Arcs		Cordes	
Maxi. (1)	183 mm	Maxi. (8)	140 mm	BA-BR (17)		Trans (24d)	321 mm	Frontale (29)	113.6 mm
GL-IN (2)	-	Front. maxi. (10)	114 mm	PO-BR (20)		Sagittal (25)		Pariétale (30)	127 mm
NA-BA (5)	-	Front. mini. (9)	93 mm	Région mast.	33.2 mm	Frontal (26)	125 mm	Occipitale (31)	
For. mag. (7)	-	Bi PO	119.8 mm	Calotte (22a)		Pariétal (27)	142 mm		
PO-AS	48.7 mm	For. mag. (16)				Occipital (28)			
Saillies		Périmètre		Profondeur		Epais. bosses frontales		Epais. bosses pariétales	
Arc. sourcil.	1.4 mm	Horiz. (23)	526 mm	Pariét-occip	*	Gauche	-	-	-
Saillie mast	8.8 mm					Droite	-	-	-

Tableau 1 : mensurations du neurocrâne de la sépulture 75

MESURES DU SPLANCHNOCRANE					
Largeurs		Longueurs		Hauteurs	
Bi-orb. (44)	90.8 mm	Totale (40)		Supérieure (48)	
Inter-orb. (50)	19.9 mm	Palais (62)		Spino/alv.	
Orbite G (51)	40.4 mm	Max./alv. (60)		Nez (55)	53.2 mm
Orbite D (51)	41.5 mm	Nasaux (56)	28.1 mm	Orbite G (52)	34.2 mm
Bi-zyg. (45)	129.7 mm			Orbite D (52)	33.5 mm
Bi-ju (45.1)	112.3 mm				
Bi-zm (46)	92.8 mm				
Nez (54)	24.4 mm				
Nasaux maxi. (57.1)	17.5 mm				
Nasaux mini. (57)	10.3 mm				
Palais (63)					
Max./alv. (61)					

Tableau 2 : mensurations du splanchnocrâne de la sépulture 75

MESURES DE LA MANDIBULE									
Longueurs		Largeurs		Hauteurs		Epais. réelles		Epais. en proj.	
Totale (68)	106.8 mm	Bi-co (65)	126 mm	Br. mont. (70a)		Pm2/M1		Pm2/M1	
Corps		Bi-go (66)	97.7 mm	Symphyse (69)		M1/M2		M1/M2	
Condyle	18.5 mm	Bi-mt (67)	47.6 mm	Pm2/M1					
		Br. mont. (71)	34.2 mm	M1/M2					
		Condyle	9 mm						

Tableau 3 : mensurations de la mandibule de la sépulture 75

	G	D		
HUMERUS			INDICES	
Longueur maximum (1)	328 mm	333 mm	Robustesse (7/1) G	
Périmètre minimum (7)	72 mm	70 mm	Robustesse (7/1) D	
Diamètre maximum (5)	25.1 mm	25.5 mm	Diaphysaire (6/5) G	
Diamètre minimum (6)	21.2 mm	21 mm	Diaphysaire (6/5) D	
Diamètre sagittal de la tête (10)	51.5 mm	52 mm		
Largeur extrémité distale	64.3 mm	63.5 mm		
RADIUS			INDICES	
Longueur maximum (1)	242.7 mm	246.3 mm	Robustesse (3/2) G	
Longueur physiologique (2)	227 mm	232 mm	Robustesse (3/2) D	
Périmètre minimum (3)	48 mm	48 mm		
ULNA			INDICES	
Longueur maximum (1)	264 mm	267.1 mm	Robustesse (3/2) G	
Longueur physiologique (2)	225 mm	230 mm	Robustesse (3/2) D	
Périmètre minimum (3)	39 mm	40 mm	Aplatissement. sup. (13/14) G	
Diamètre trans. sous sigm. (13)	21.2 mm	21.3 mm	Aplatissement. sup. (13/14) D	
Diamètre sagit. sous sigm. (14)	24.5 mm	21.8 mm		

Tableau 4 : mensurations et indices des membres supérieurs de la sépulture 75

	G	D		
FEMUR			INDICES	
Longueur en position (2)	422 mm	426 mm	Robustesse avec diam. (6+7/2) G	
Larg. de l'extrémité distale (21)	83.2 mm	84.3 mm	Robustesse avec diam. (6+7/2) D	
Diamètre sagittal diaphyse (6)	32.2 mm	33.9 mm	Robustesse avec périm. (8/2) G	
Diamètre transv. diaphyse (7)	30.2 mm	30.4 mm	Robustesse avec périm. (8/2) D	
Périmètre (8)	101 mm	102 mm	Pilastrique (6/7) G	
Diamètre sagittal ss-troch. (10)	30.7 mm	28.4 mm	Pilastrique (6/7) D	
Diamètre transv. ss-troch. (9)	35.9 mm	34.4 mm	Aplatissement sup. (12/13) G	
Diamètre vertical tête (18)	49.2 mm	48.9 mm	Aplatissement sup. (12/13) D	
PATELLA			INDICES	
Hauteur maximum (1)	43.7 mm	42.1 mm	hauteur/largeur (2/1) G	
Largeur maximum (2)	46.6 mm	47.3 mm	hauteur/largeur (2/1) D	
			Haut. G (1/ L. fémur+L. tib.)	
			Haut. D (1/ L. fémur+L. tib.)	
TIBIA			INDICES	
Longueur maximum (1)	348 mm	342 mm	Robustesse (10b/2) G	
Périmètre minimum (10b)	80 mm	82 mm	Robustesse (10b/2) D	
Largeur de l'extrem. prox.	79.2 mm	81.1 mm	Aplatissement sup. (9a/8a) G	
Diam. sagit. au trou nour. (8a)	36.3 mm	36.9 mm	Aplatissement sup. (9a/8a) D	
Diam. trans. au trou nour. (9a)	26.5 mm	26 mm		
FIBULA			INDICES	
Longueur maximum (1)	356 mm	351 mm	Robustesse (4a/1) G	
Périmètre minimum (4a)	38 mm	40 mm	Robustesse (4a/1) D	
Diamètre maximum (2)	16.4 mm	18 mm	Diaphysaire (3/2) G	
Diamètre minimum (3)	13.5 mm	13.2 mm	Diaphysaire (3/2) D	
TALUS			INDICES	

Longueur (1)	57 mm	57.9 mm	Largeur (2/1) G	
largeur (2)	46.6 mm	44.6 mm	Largeur (2/1) D	
Hauteur (3)	33.6 mm	33.1 mm	Hauteur (3/1) G	
Longueur poulie (4)	32.2 mm	33.8 mm	Hauteur (3/1) D	
CALCANEUM			INDICES	
Longueur maximum (1)	78.4 mm	78.9 mm	Largeur (3/1) G	
Largeur minimum (3)	28 mm	27.1 mm	Largeur (3/1) D	
Hauteur (4)	39.6 mm	40.3 mm	Hauteur (4/1) G	
Saillie du sustentaculum tali (6)	13.5 mm	15 mm	Hauteur (4/1) D	
Angle de Böhler				

Tableau 4 : mensurations et indices des membres inférieurs de la sépulture 75

	G	D		
SCAPULA			INDICES	
Hauteur (1)	175.5 mm	168.3 mm	Indice scapulaire (2/1) G	
Largeur (2)	114.6 mm	112.3 mm	Indice scapulaire (2/1) D	
Hauteur cavité glénoïde (12)	39.6 mm	42 mm	Indice glénoïdien (13/12) G	
Largeur cavité glénoïde (13)	27.4 mm	28.5 mm	Indice glénoïdien (13/12) D	
Longueur épine (7)	145.8 mm	149.2 mm		
CLAVICULE			INDICES	
Longueur maximum (1)	163.2 mm	159.5 mm	Robustesse (6/1) G	
Périmètre au milieu (6)	41 mm	43 mm	Robustesse (6/1) D	
Diamètre maximum	14.3 mm	15.4 mm	Largeur externe G	
Diamètre minimum	11.8 mm	12.1 mm	Largeur externe D	
Largeur externe	24.2 mm	28.2 mm		

Tableau 5 : mensurations et indices de la ceinture scapulaire de la sépulture 75

ATLAS		INDICES	
Diamètre sagittal		Indice de largeur (Diam sag/Diam transv.)	
Diamètre transversal	78.2 mm		
Epaisseur de l'arc antérieur	4.8 mm		
Epaisseur de l'arc postérieur			
AXIS		INDICES	
Diamètre sagittal	56.7 mm	Indice de largeur (Diam sag/Diam transv.)	
Diamètre transversal	57.2 mm		
Hauteur apophyse odontoïde			
Long. apophyse épineuse	24.6 mm		
LOMBAIRE		INDICES	
L1 Haut. antérieure corps	24.5 mm	Haut. post./haut. ant. (L1)	
L1 Haut. postérieure corps	27.1 mm		
L2 Haut. antérieure corps	28.1 mm	Haut. post./haut. ant. (L2)	
L2 Haut. postérieure corps	28 mm		
L3 Haut. antérieure corps	27 mm	Haut. post./haut. ant. (L3)	
L3 Haut. postérieure corps	29 mm		
L4 Haut. antérieure corps	26.3 mm	Haut. post./haut. ant. (L4)	
L4 Haut. postérieure corps	24.6 mm		
L5 Haut. antérieure corps	25.2 mm	Haut. post./haut. ant. (L5)	
L5 Haut. postérieure corps	25.5 mm	Cunningham (L1 à L5)	
SACRUM		INDICES	
Hauteur antérieur réelle (1)	115 mm	Haut.Larg. (3/2)	
Hauteur antérieure en project. (2)	100 mm	Courbure sagittale (2/1)	
Largeur supérieure maximum (3)	119.1 mm		

Tableau 6 : mensurations et indices du rachis de la sépulture 75

PREMIERE COTE	G	D	INDICES	
Corde interne	54.5 mm	59.8 mm	Indice d'élargissement (Larg. mini./larg. maxi.)	
Flèche interne	28.2 mm	31 mm	Indice retréc. sternal Larg. extrém. stern./larg. maxi.	
Long. de l'extrémité vertébrale	43.3 mm	44 mm	Indice extrém. vertéb. (Long. vert./corde externe)	
Corde externe	88.2 mm	91.7 mm	Indice flèche interne (Flèche int./corde int.)	
Largeur minimum	17.3 mm	15.8 mm		
Largeur maximum	22.1 mm	22.8 mm		
Largeur de l'extrémité sternale	24.7 mm	23.6 mm		
STERNUM			INDICES	
Longueur du corps	111.5 mm		Indice du corps Largeur max/Long. totale)	
Largeur maximum du corps	51.6 mm		Indice manubrium (Larg. manu./Long. manu.)	-
Largeur minimum du corps	32 mm			
Longueur du manubrium	53.5 mm			
Largeur du manubrium	70.3 mm			

Tableau 7 : mensurations et indices du thorax de la sépulture 75

INDICES	
Indice inter-membral G (Long. humérus + Long. radius/Long. fémur + Long. tibia)	
Indice inter-membral Dr (Long. humérus + Long. radius/Long. fémur + Long. tibia)	
Indice huméro-fémoral G (Long. humérus/long. fémur)	
Indice huméro-fémoral Dr (Long. humérus/long. fémur)	
Indice tibio-radial G (Long. radius/Long. tibia)	
Indice tibio-radial Dr (Long. radius/Long. tibia)	
Indice crural G (Long. tibia/Long. fémur)	
Indice crural Dr (Long. tibia/Long. fémur)	
Indice brachial G Long. radius/Long. humérus)	
Indice brachial Dr Long. radius/Long. humérus)	
Indice claviculo-huméral G (Long. clav./Long. humérus)	
Indice claviculo-huméral Dr (Long. clav./Long. humérus)	

Tableau 8 : indices inter-osseux de la sépulture 75

SOND 3B - SEP 100 US 1355

	G	D		
FEMUR			INDICES	
Longueur en position (2)	447 mm	446 mm	Robustesse avec diam. (6+7/2) G	
Larg. de l'extrémité distale (21)	79.8 mm	81.4 mm	Robustesse avec diam. (6+7/2) D	
Diamètre sagittal diaphyse (6)	27 mm	30.3 mm	Robustesse avec périm. (8/2) G	
Diamètre transv. diaphyse (7)	33.8 mm	31.9 mm	Robustesse avec périm. (8/2) D	
Périmètre (8)			Pilastrique (6/7) G	
Diamètre sagittal ss-troch. (10)	28.6 mm	28.8 mm	Pilastrique (6/7) D	
Diamètre transv. ss-troch. (9)	38.3 mm	38 mm	Aplatissement sup. (12/13) G	
Diamètre vertical tête (18)	49.3 mm	48.8 mm	Aplatissement sup. (12/13) D	
PATELLA			INDICES	
Hauteur maximum (1)		44.2 mm	hauteur/largeur (2/1) G	
Largeur maximum (2)		45.5 mm	hauteur/largeur (2/1) D	
			Haut. G (1/ L. fémur+L. tib.)	
			Haut. D (1/ L. fémur+L. tib.)	
TIBIA			INDICES	
Longueur maximum (1)		358 mm	Robustesse (10b/2) G	
Périmètre minimum (10b)			Robustesse (10b/2) D	
Largeur de l'extrem. prox. (8a)		77 mm	Aplatissement sup. (9a/8a) G	
Diam. sagit. au trou nour. (8a)		24.4 mm	Aplatissement sup. (9a/8a) D	
Diam. trans. au trou nour. (9a)		36.9 mm		
FIBULA			INDICES	
Longueur maximum (1)	366 mm	362 mm	Robustesse (4a/1) G	
Périmètre minimum (4a)			Robustesse (4a/1) D	
Diamètre maximum (2)		18.2 mm	Diaphysaire (3/2) G	
Diamètre minimum (3)		14.5 mm	Diaphysaire (3/2) D	
TALUS			INDICES	
Longueur (1)		55.9 mm	Largeur (2/1) G	
largeur (2)		43.4 mm	Largeur (2/1) D	
Hauteur (3)		31.1 mm	Hauteur (3/1) G	
Longueur poulie (4)		35.3 mm	Hauteur (3/1) D	
CALCANEUM			INDICES	
Longueur maximum (1)		82.8 mm	Largeur (3/1) G	
Largeur minimum (3)		29.9 mm	Largeur (3/1) D	
Hauteur (4)		42.6 mm	Hauteur (4/1) G	
Saillie du sustentaculum tali (6)		8.7 mm	Hauteur (4/1) D	
Angle de Böhler				

Tableau 1 : mensurations et indices des membres inférieurs de la sépulture 100

SACRUM			INDICES	
Hauteur antérieure réelle (1)	113 mm		Haut.Larg. (3/2)	
Hauteur antérieure en project. (2)	99.3 mm		Courbure sagittale (2/1)	
Largeur supérieure maximum (3)	119.9 mm			

Tableau 2 : mensurations et indices du rachis de la sépulture 100

	G	D		
RADIUS			INDICES	
Longueur maximum (1)	246.1 mm		Robustesse (3/2) G	
Longueur physiologique (2)	233 mm		Robustesse (3/2) D	
Périmètre minimum (3)	43 mm			
ULNA			INDICES	
Longueur maximum (1)	265 mm		Robustesse (3/2) G	
Longueur physiologique (2)	227 mm		Robustesse (3/2) D	
Périmètre minimum (3)	37 mm		Aplatissement. sup. (13/14) G	
Diamètre trans. sous sigm. (13)	21.6 mm		Aplatissement. sup. (13/14) D	
Diamètre sagit. sous sigm. (14)	26.7 mm			

Tableau 3 : mensurations et indices des membres supérieurs de la sépulture 100

INDICES	
Indice inter-membral G (Long. humérus + Long. radius/Long. fémur + Long. tibia)	
Indice inter-membral Dr (Long. humérus + Long. radius/Long. fémur + Long. tibia)	
Indice huméro-fémoral G (Long. humérus/long. fémur)	
Indice huméro-fémoral Dr (Long. humérus/long. fémur)	
Indice tibio-radial G (Long. radius/Long. tibia)	
Indice tibio-radial Dr (Long. radius/Long. tibia)	
Indice crural G (Long. tibia/Long. fémur)	
Indice crural Dr (Long. tibia/Long. fémur)	
Indice brachial G Long. radius/Long. humérus)	
Indice brachial Dr Long. radius/Long. humérus)	
Indice claviculo-huméral G (Long. clav./Long. humérus)	
Indice claviculo-huméral Dr (Long. clav./Long. humérus)	

Tableau 4 : indices inter-osseux de la sépulture 100

SOND 3B - SEP 103 US 1373

MESURES DU NEUROCRANE									
Longueurs		Largeurs		Hauteurs		Arcs		Cordes	
Maxi. (1)	180 mm	Maxi. (8)	139 mm	BA-BR (17)		Trans (24d)	320 mm	Frontale (29)	115.1 mm
GL-IN (2)	162 mm	Front. maxi. (10)	121 mm	PO-BR (20)		Sagittal (25)		Pariétale (30)	112.2 mm
NA-BA (5)		Front. mini. (9)	93 mm	Région mast.	29.7 mm	Frontal (26)	129 mm	Occipitale (31)	
For. mag. (7)		Bi PO	120.1 mm	Calotte (22a)		Pariétal (27)	130 mm		
PO-AS	50 mm	For. mag. (16)				Occipital (28)			
Saillies		Périmètre		Profondeur		Epais. bosses frontales		Epais. bosses pariétales	
Arc. sourcil.	1.5 mm	Horiz. (23)	521 mm	Pariét-occip	0 mm	Gauche			
Saillie mast	7.3 mm					Droite			

Tableau 1 : mensurations du neurocrâne de la sépulture 103

MESURES DU SPLANCHNOCRANE					
Largeurs		Longueurs		Hauteurs	
Bi-orb. (44)	94.9 mm	Totale (40)		Supérieure (48)	
Inter-orb. (50)	16.8 mm	Palais (62)		Spino/alv.	
Orbite G (51)	42.3 mm	Max./alv. (60)		Nez (55)	51.7 mm
Orbite D (51)	44.1 mm	Nasaux (56)	18.2 mm	Orbite G (52)	33.7 mm
Bi-zyg. (45)				Orbite D (52)	32.6 mm
Bi-ju (45.1)	107.9 mm				
Bi-zm (46)	90.5 mm				
Nez (54)	26.1 mm				
Nasaux max. (57.1)	16.4 mm				
Nasaux mini. (57)	7.8 mm				
Palais (63)					
Max./alv. (61)					

Tableau 2 : mensurations du splanchnocrâne de la sépulture 103

	G	D		
HUMERUS			INDICES	
Longueur maximum (1)	313 mm	320 mm	Robustesse (7/1) G	
Périmètre minimum (7)	70 mm	68	Robustesse (7/1) D	
Diamètre maximum (5)	23.7 mm	25.9 mm	Diaphysaire (6/5) G	
Diamètre minimum (6)	20 mm	19.9 mm	Diaphysaire (6/5) D	
Diam. sagittal de la tête (10)	45.9 mm	49 mm		
Largeur extrémité distale	63.2 mm	65.5 mm		
RADIUS			INDICES	
Longueur maximum (1)		254.2 mm	Robustesse (3/2) G	
Longueur physiologique (2)		240 mm	Robustesse (3/2) D	
Périmètre minimum (3)		44 mm		
ULNA			INDICES	
Longueur maximum (1)			Robustesse (3/2) G	
Longueur physiologique (2)			Robustesse (3/2) D	
Périmètre minimum (3)			Aplatissement. sup. (13/14) G	
Diam. trans. sous sigm. (13)	22.6 mm	22.2 mm	Aplatissement. sup. (13/14) D	
Diam. sagit. sous sigm. (14)	24.6 mm	24.4 mm		

Tableau 3 : mensurations et indices des membres supérieurs de la sépulture 103

	G	D		
FEMUR			INDICES	
Longueur en position (2)	457 mm	456 mm	Robustesse avec diam. (6+7/2) G	
Larg. de l'extrémité distale (21)	85 mm	85.8 mm	Robustesse avec diam. (6+7/2) D	
Diamètre sagittal diaphyse (6)	30.1 mm	29.7 mm	Robustesse avec périm. (8/2) G	
Diamètre transv. diaphyse (7)	29.1 mm	29 mm	Robustesse avec périm. (8/2) D	
Périmètre (8)	92 mm	94 mm	Pilastrique (6/7) G	
Diamètre sagittal ss-troch. (10)	27.2 mm	26.9 mm	Pilastrique (6/7) D	
Diamètre transv. ss-troch. (9)	35.5 mm	34.4 mm	Aplatissement sup. (12/13) G	
Diamètre vertical tête (18)	49.6 mm	48.9 mm	Aplatissement sup. (12/13) D	
PATELLA			INDICES	
Hauteur maximum (1)	43.7 mm	39.7 mm	hauteur/largeur (2/1) G	
Largeur maximum (2)	47.6 mm	47.7 mm	hauteur/largeur (2/1) D	
			Haut. G (1/ L. fémur+L. tib.)	
			Haut. D (1/ L. fémur+L. tib.)	
TIBIA			INDICES	
Longueur maximum (1)	374 mm	380 mm	Robustesse (10b/2) G	
Périmètre minimum (10b)	79 mm	81 mm	Robustesse (10b/2) D	
Largeur de l'extrem. prox. (8a)	83.1 mm	84 mm	Aplatissement sup. (9a/8a) G	
Diam. sagit. au trou nour. (8a)	35.5 mm	35.4 mm	Aplatissement sup. (9a/8a) D	
Diam. trans. au trou nour. (9a)	27.2 mm	26.5 mm		
FIBULA			INDICES	
Longueur maximum (1)		382 mm	Robustesse (4a/1) G	
Périmètre minimum (4a)		35 mm	Robustesse (4a/1) D	
Diamètre maximum (2)		16.4 mm	Diaphysaire (3/2) G	
Diamètre minimum (3)		11.8 mm	Diaphysaire (3/2) D	
TALUS			INDICES	
Longueur (1)		60.1 mm	Largeur (2/1) G	
largeur (2)		43.8 mm	Largeur (2/1) D	
Hauteur (3)		32.3 mm	Hauteur (3/1) G	
Longueur poulie (4)		35.8 mm	Hauteur (3/1) D	
CALCANEUM			INDICES	
Longueur maximum (1)	86.9 mm	86.9 mm	Largeur (3/1) G	
Largeur minimum (3)	30.3 mm	27.2 mm	Largeur (3/1) D	
Hauteur (4)	41.3 mm	41.3 mm	Hauteur (4/1) G	
Saillie du sustentaculum tali (6)	12.3 mm	10.6 mm	Hauteur (4/1) D	
Angle de Böhler				

Tableau 4 : mensurations et indices des membres inférieurs de la sépulture 103

	G	D		
SCAPULA			INDICES	
Hauteur (1)	164.3 mm	-	Indice scapulaire (2/1) G	
Largeur (2)	109.2 mm	111.5 mm	Indice scapulaire (2/1) D	
Hauteur cavité glénoïde (12)	38.3 mm	40.7 mm	Indice glénoïdien (13/12) G	
Largeur cavité glénoïde (13)	26.7 mm	28.5 mm	Indice glénoïdien (13/12) D	
Longueur épine (7)	145.6 mm	146.7 mm		
CLAVICULE			INDICES	
Longueur maximum (1)	151.7 mm	151.3 mm	Robustesse (6/1) G	
Périmètre au milieu (6)	39 mm	41 mm	Robustesse (6/1) D	
Diamètre maximum	13.8 mm	15.4 mm	Largeur externe G	
Diamètre minimum	9.9 mm	10.6 mm	Largeur externe D	
Largeur externe	32.3 mm	34 mm		

Tableau 5 : mensurations et indices de la ceinture scapulaire de la sépulture 103

LOMBAIRE		INDICES	
L1 Haut. antérieure corps	27.3 mm	Haut. post./haut. ant. (L1)	
L1 Haut. postérieure corps	28.6 mm		
L2 Haut. antérieure corps	28 mm	Haut. post./haut. ant. (L2)	
L2 Haut. postérieure corps	29.5 mm		
L3 Haut. antérieure corps	28.6 mm	Haut. post./haut. ant. (L3)	
L3 Haut. postérieure corps	28.7 mm		
L4 Haut. antérieure corps	29.3 mm	Haut. post./haut. ant. (L4)	
L4 Haut. postérieure corps	29 mm		
L5 Haut. antérieure corps	28 mm	Haut. post./haut. ant. (L5)	
L5 Haut. postérieure corps	22.4 mm	Cunningham (L1 à L5)	
SACRUM		INDICES	
Hauteur antérieur réelle (1)		Haut.Larg. (3/2)	
Hauteur antérieure en project. (2)		Courbure sagittale (2/1)	
Largeur supérieure maximum (3)			

Tableau 6 : mensurations et indices du rachis de la sépulture 103

STERNUM		INDICES	
Longueur du corps	112 mm	Indice du corps Largeur max/Long. totale)	
Largeur maximum du corps	35.9 mm	Indice manubrium (Larg. manu./Long. manu.)	-
Largeur minimum du corps	25.9 mm		
Longueur du manubrium	56.9 mm		
Largeur du manubrium	52.4 mm		

Tableau 7 : mensurations et indices du thorax de la sépulture 103

INDICES	
Indice inter-membral G (Long. humérus + Long. radius/Long. fémur + Long. tibia)	
Indice inter-membral Dr (Long. humérus + Long. radius/Long. fémur + Long. tibia)	
Indice huméro-fémoral G (Long. humérus/long. fémur)	
Indice huméro-fémoral Dr (Long. humérus/long. fémur)	
Indice tibio-radial G (Long. radius/Long. tibia)	
Indice tibio-radial Dr (Long. radius/Long. tibia)	
Indice crural G (Long. tibia/Long. fémur)	
Indice crural Dr (Long. tibia/Long. fémur)	
Indice brachial G Long. radius/Long. humérus)	
Indice brachial Dr Long. radius/Long. humérus)	
Indice claviculo-huméral G (Long. clav./Long. humérus)	
Indice claviculo-huméral Dr (Long. clav./Long. humérus)	

Tableau 8 : indices inter-osseux de la sépulture 103

SOND 6 - SEP 44A US 1385 Adulte 1 regroupement EST

MESURES DU NEUROCRANE									
Longueurs		Largeurs		Hauteurs		Arcs		Cordes	
Maxi. (1)	191 mm	Maxi. (8)	137 mm	BA-BR (17)	137 mm	Trans (24d)	318 mm	Frontale (29)	117.4 mm
GL-IN (2)	101 mm	Front. maxi. (10)	114 mm	PO-BR (20)		Sagittal (25)	378 mm	Pariétale (30)	108.4 mm
NA-BA (5)	32.6 mm	Front. mini. (9)	94 mm	Région mast.	43.4 mm	Frontal (26)	126 mm	Occipitale (31)	113.9 mm
For. mag. (7)	30.3 mm	Bi PO	120.2 mm	Calotte (22a)		Pariétal (27)	121 mm		
PO-AS	47.8 mm	For. mag. (16)	30.6 mm			Occipital (28)	131 mm		
Saillies		Périmètre		Profondeur		Epais. bosses frontales		Epais. bosses pariétales	
Arc. sourcil.	1.7 mm	Horiz. (23)	530 mm	Pariét-occip	0	Gauche			
Saillie mast	13.7 mm					Droite			

Tableau 1 : mensurations du neurocrâne de la sépulture 44A

MESURES DU SPLANCHNOCRANE					
Largeurs		Longueurs		Hauteurs	
Bi-orb. (44)	95.2 mm	Totale (40)	97.9 mm	Supérieure (48)	76.5 mm
Inter-orb. (50)	21.3 mm	Palais (62)	58.8 mm	Spino/alv.	23.8 mm
Orbite G (51)	42 mm	Max./alv. (60)	47.9 mm	Nez (55)	54.9 mm
Orbite D (51)	42 mm	Nasaux (56)	21.2 mm	Orbite G (52)	34.2 mm
Bi-zyg. (45)	140.6 mm			Orbite D (52)	33.1 mm
Bi-ju (45.1)	117.2 mm				
Bi-zm (46)	99.9 mm				
Nez (54)	26.5 mm				
Nasaux maxi. (57.1)	21 mm				
Nasaux mini. (57)	14 mm				
Palais (63)	42.1 mm				
Max./alv. (61)	63.4 mm				

Tableau 2 : mensurations du splanchnocrâne de la sépulture 44A

MESURES DE LA MANDIBULE									
Longueurs		Largeurs		Hauteurs		Epais. réelles		Epais. en proj.	
Totale (68)	108.8 mm	Bi-co (65)	134.2 mm	Br. mont. (70a)		Pm2/M1	13.5 mm	Pm2/M1	20.1 mm
Corps		Bi-go (66)	104.5 mm	Symphyse (69)	34.2 mm	M1/M2	14.6 mm	M1/M2	21.1 mm
Condyle	22.5 mm	Bi-mt (67)	51 mm	Pm2/M1	34.6 mm				
		Br. mont. (71)	32.5 mm	M1/M2	32.8 mm				
		Condyle	9.3 mm						

Tableau 3 : mensurations de la mandibule de la sépulture 44A

		G	D		
HUMERUS			INDICES		
Longueur maximum (1)		342 mm	Robustesse (7/1) G		
Périmètre minimum (7)			Robustesse (7/1) D		
Diamètre maximum (5)		28.1 mm	Diaphysaire (6/5) G		
Diamètre minimum (6)		23 mm	Diaphysaire (6/5) D		
Diamètre sagittal de la tête (10)	48.3 mm	48.9 mm			
Largeur extrémité distale	66.6 mm	65.2 mm			
RADIUS			INDICES		
Longueur maximum (1)	249.4 mm	254.8 mm	Robustesse (3/2) G		
Longueur physiologique (2)	238 mm	240 mm	Robustesse (3/2) D		
Périmètre minimum (3)	46 mm	48 mm			
ULNA			INDICES		
Longueur maximum (1)	273.2 mm	275 mm	Robustesse (3/2) G		
Longueur physiologique (2)	234 mm	237 mm	Robustesse (3/2) D		
Périmètre minimum (3)	43 mm	45 mm	Aplatissement. sup. (13/14) G		
Diamètre trans. sous sigm. (13)	23.4 mm	23.5 mm	Aplatissement. sup. (13/14) D		
Diamètre sagit. sous sigm. (14)	25 mm	24.6 mm			

Tableau 3 : mensurations et indices des membres supérieurs de la sépulture 44A

		G	D		
FEMUR			INDICES		
Longueur en position (2)			Robustesse avec diam. (6+7/2) G		
Larg. de l'extrémité distale (21)	88.1 mm	88.6 mm	Robustesse avec diam. (6+7/2) D		
Diamètre sagittal diaphyse (6)			Robustesse avec périm. (8/2) G		
Diamètre transv. diaphyse (7)			Robustesse avec périm. (8/2) D		
Périmètre (8)			Pilastrique (6/7) G		
Diamètre sagittal ss-troch. (10)			Pilastrique (6/7) D		
Diamètre transv. ss-troch. (9)			Aplatissement sup. (12/13) G		
Diamètre vertical tête (18)	50.8 mm	50.2 mm	Aplatissement sup. (12/13) D		
TIBIA			INDICES		
Longueur maximum (1)		363 mm	Robustesse (10b/2) G		
Périmètre minimum (10b)	87 mm	84 mm	Robustesse (10b/2) D		
Largeur de l'extrem. prox. (8a)	79.4 mm	80.8 mm	Aplatissement sup. (9a/8a) G		
Diam. sagit. au trou nour. (8a)	42.8 mm	38.1 mm	Aplatissement sup. (9a/8a) D		
Diam. trans. au trou nour. (9a)	28.9 mm	26.8 mm			
FIBULA			INDICES		
Longueur maximum (1)		362 mm	Robustesse (4a/1) G		
Périmètre minimum (4a)		36 mm	Robustesse (4a/1) D		
Diamètre maximum (2)		14.9 mm	Diaphysaire (3/2) G		
Diamètre minimum (3)		12.7 mm	Diaphysaire (3/2) D		
CALCANEUM			INDICES		
Longueur maximum (1)		82 mm	Largeur (3/1) G		
Largeur minimum (3)		321 mm	Largeur (3/1) D		
Hauteur (4)		40.6 mm	Hauteur (4/1) G		
Saillie du sustentaculum tali (6)		11.6 mm	Hauteur (4/1) D		
Angle de Böhler					

Tableau 4 : mensurations et indices des membres inférieurs de la sépulture 44A

		G	D		
SCAPULA			INDICES		
Hauteur (1)	170.3 mm			Indice scapulaire (2/1) G	
Largeur (2)	105.6 mm			Indice scapulaire (2/1) D	
Hauteur cavité glénoïde (12)	34 mm			Indice glénoïdien (13/12) G	
Largeur cavité glénoïde (13)	27.2 mm			Indice glénoïdien (13/12) D	
Longueur épine (7)	139.8 mm				
CLAVICULE			INDICES		
Longueur maximum (1)	152.7 mm			Robustesse (6/1) G	
Périmètre au milieu (6)	39 mm			Robustesse (6/1) D	
Diamètre maximum	13.9 mm			Largeur externe G	
Diamètre minimum	11.6 mm			Largeur externe D	
Largeur externe	31.5 mm				

Tableau 5 : mensurations et indices de la ceinture scapulaire de la sépulture 44A

LOMBAIRE		INDICES	
L1 Haut. antérieure corps	25.9 mm	Haut. post./haut. ant. (L1)	
L1 Haut. postérieure corps	29.1 mm		
L2 Haut. antérieure corps	26.7 mm	Haut. post./haut. ant. (L2)	
L2 Haut. postérieure corps	30.2 mm		
L3 Haut. antérieure corps	29 mm	Haut. post./haut. ant. (L3)	
L3 Haut. postérieure corps	29.8 mm		
L4 Haut. antérieure corps	29.2 mm	Haut. post./haut. ant. (L4)	
L4 Haut. postérieure corps	29 mm		
L5 Haut. antérieure corps	30.4 mm	Haut. post./haut. ant. (L5)	
L5 Haut. postérieure corps	23.1 mm	Cunningham (L1 à L5)	
SACRUM		INDICES	
Hauteur antérieur réelle (1)	120 mm	Haut.Larg. (3/2)	
Hauteur antérieure en project. (2)	103.7 mm	Courbure sagittale (2/1)	
Largeur supérieure maximum (3)	127.7 mm		

Tableau 6 : mensurations et indices du rachis de la sépulture 44A

INDICES	
Indice inter-membral G (Long. humérus + Long. radius/Long. fémur + Long. tibia)	
Indice inter-membral Dr (Long. humérus + Long. radius/Long. fémur + Long. tibia)	
Indice huméro-fémoral G (Long. humérus/long. fémur)	
Indice huméro-fémoral Dr (Long. humérus/long. fémur)	
Indice tibio-radial G (Long. radius/Long. tibia)	
Indice tibio-radial Dr (Long. radius/Long. tibia)	
Indice crural G (Long. tibia/Long. fémur)	
Indice crural Dr (Long. tibia/Long. fémur)	
Indice brachial G Long. radius/Long. humérus)	
Indice brachial Dr Long. radius/Long. humérus)	
Indice claviculo-huméral G (Long. clav./Long. humérus)	
Indice claviculo-huméral Dr (Long. clav./Long. humérus)	

Tableau 8 : indices inter-osseux de la sépulture 44A

SOND 6 - SEP 72 US 1370

MESURES DU NEUROCRANE									
Longueurs		Largeurs		Hauteurs		Arcs		Cordes	
Maxi. (1)	184 mm	Maxi. (8)	130 mm	BA-BR (17)	125 mm	Trans (24d)	394 mm	Frontale (29)	106 mm
GL-IN (2)	168 mm	Front. maxi. (10)	109 mm	PO-BR (20)		Sagittal (25)	368 mm	Pariétale (30)	113.4 mm
NA-BA (5)	100 mm	Front. mini. (9)	93 mm	Région mast.	38.6 mm	Frontal (26)	117 mm	Occipitale (31)	103.6 mm
For. mag. (7)	35.5 mm	Bi PO	117.8 mm	Calotte (22a)		Pariétal (27)	130 mm		
PO-AS	50.2 mm	For. mag. (16)	32.8 mm			Occipital (28)	121 mm		
Saillies		Périmètre		Profondeur		Epais. bosses frontales		Epais. bosses pariétales	
Arc. sourcil.	1.1 mm	Horiz. (23)	521 mm	Pariét-occip	0	Gauche			
Saillie mast	12.4 mm					Droite			

Tableau 1 : mensurations du neurocrâne de la sépulture 72

MESURES DU SPLANCHNOCRANE					
Largeurs		Longueurs		Hauteurs	
Bi-orb. (44)	92.2 mm	Totale (40)	91.6 mm	Supérieure (48)	72 mm
Inter-orb. (50)	17.2 mm	Palais (62)	55 mm	Spino/alv.	21.1 mm
Orbite G (51)	42.3 mm	Max./alv. (60)	41.2 mm	Nez (55)	54.3 mm
Orbite D (51)	40.2 mm	Nasaux (56)	25.3 mm	Orbite G (52)	35 mm
Bi-zyg. (45)	131.3 mm			Orbite D (52)	34.1 mm
Bi-ju (45.1)	110.9 mm				
Bi-zm (46)	98.2 mm				
Nez (54)	21 mm				
Nasaux maxi. (57.1)	17.2 mm				
Nasaux mini. (57)	10 mm				
Palais (63)	31 mm				
Max./alv. (61)	62.6 mm				

Tableau 2 : mensurations du splanchnocrâne de la sépulture 72

MESURES DE LA MANDIBULE									
Longueurs		Largeurs		Hauteurs		Epais. réelles		Epais. en proj.	
Totale (68)		Bi-co (65)		Br. mont. (70a)		Pm2/M1	12.1 mm	Pm2/M1	19.4 mm
Corps		Bi-go (66)		Symphyse (69)		M1/M2	12.9 mm	M1/M2	20.4 mm
Condyle	23.3 mm	Bi-mt (67)		Pm2/M1	29.9 mm				
		Br. mont. (71)	30.1 mm	M1/M2	27.2 mm				
		Condyle	8.1 mm						

Tableau 3 : mensurations de la mandibule de la sépulture 72

		G	D		
HUMERUS			INDICES		
Longueur maximum (1)				Robustesse (7/1) G	
Périmètre minimum (7)	64 mm			Robustesse (7/1) D	
Diamètre maximum (5)	21.5 mm			Diaphysaire (6/5) G	
Diamètre minimum (6)	19.2 mm			Diaphysaire (6/5) D	
Diamètre sagittal de la tête (10)	45.5 mm	46.9 mm			
Largeur extrémité distale	62.3 mm				
RADIUS			INDICES		
Longueur maximum (1)		241.1 mm		Robustesse (3/2) G	
Longueur physiologique (2)		228 mm		Robustesse (3/2) D	
Périmètre minimum (3)		42 mm			
ULNA			INDICES		
Longueur maximum (1)				Robustesse (3/2) G	
Longueur physiologique (2)				Robustesse (3/2) D	
Périmètre minimum (3)				Aplatissement. sup. (13/14) G	
Diamètre trans. sous sigm. (13)	23.1 mm	23.1 mm		Aplatissement. sup. (13/14) D	
Diamètre sagit. sous sigm. (14)	22.8 mm	23.6 mm			

Tableau 4 : mensurations et indices des membres supérieurs de la sépulture 72

		G	D		
FEMUR			INDICES		
Longueur en position (2)	436 mm	437 mm		Robustesse avec diam. (6+7/2) G	
Larg. de l'extrémité distale (21)	84.4 mm	85.7 mm		Robustesse avec diam. (6+7/2) D	
Diamètre sagittal diaphyse (6)	25.3 mm	25.3 mm		Robustesse avec périm. (8/2) G	
Diamètre transv. diaphyse (7)	25.8 mm	25.5 mm		Robustesse avec périm. (8/2) D	
Périmètre (8)	79 mm	81 mm		Pilastrique (6/7) G	
Diam. sagittal ss-troch. (10)	31.8 mm	30.4 mm		Pilastrique (6/7) D	
Diamètre transv. ss-troch. (9)	24.2 mm	24 mm		Aplatissement sup. (12/13) G	
Diamètre vertical tête (18)	47.2 mm	48.4 mm		Aplatissement sup. (12/13) D	
TIBIA			INDICES		
Longueur maximum (1)	347 mm	345 mm		Robustesse (10b/2) G	
Périmètre minimum (10b)	68 mm	69 mm		Robustesse (10b/2) D	
Largeur de l'extrem. prox.	75.8 mm	75 mm		Aplatissement sup. (9a/8a) G	
Diam. sagit. trou nour. (8a)	29.4 mm	31.7 mm		Aplatissement sup. (9a/8a) D	
Diam. trans. au trou nour. (9a)	21.8 mm	23 mm			
FIBULA			INDICES		
Longueur maximum (1)	346 mm	349 mm		Robustesse (4a/1) G	
Périmètre minimum (4a)	39 mm	40 mm		Robustesse (4a/1) D	
Diamètre maximum (2)	14.3 mm	14 mm		Diaphysaire (3/2) G	
Diamètre minimum (3)	12.4 mm	12.2 mm		Diaphysaire (3/2) D	
TALUS			INDICES		
Longueur (1)	58.4 mm	59 mm		Largeur (2/1) G	
largeur (2)	46.4 mm	45.6 mm		Largeur (2/1) D	
Hauteur (3)	33.2 mm	33 mm		Hauteur (3/1) G	
Longueur poulie (4)	36.6 mm	37.7 mm		Hauteur (3/1) D	
CALCANEUM			INDICES		
Longueur maximum (1)	78.5 mm	76.9 mm		Largeur (3/1) G	
Largeur minimum (3)	27.8 mm	29 mm		Largeur (3/1) D	
Hauteur (4)	40.5 mm	40.9 mm		Hauteur (4/1) G	

Saillie du sustentaculum tali (6)	14.5 mm	13.3 mm	Hauteur (4/1) D	
Angle de Böhler				

Tableau 4 : mensurations et indices des membres inférieurs de la sépulture 72

	G	D		
SCAPULA			INDICES	
Hauteur (1)	156.5 mm		Indice scapulaire (2/1) G	
Largeur (2)			Indice scapulaire (2/1) D	
Hauteur cavité glénoïde (12)	36.7 mm	38.1 mm	Indice glénoïdien (13/12) G	
Largeur cavité glénoïde (13)	27.2 mm	29.3 mm	Indice glénoïdien (13/12) D	
Longueur épine (7)				
CLAVICULE			INDICES	
Longueur maximum (1)	139.2 mm	142 mm	Robustesse (6/1) G	
Périmètre au milieu (6)	37 mm	38 mm	Robustesse (6/1) D	
Diamètre maximum	12.6 mm	13.1 mm	Largeur externe G	
Diamètre minimum	10 mm	10.3 mm	Largeur externe D	
Largeur externe	24.4 mm	24.7 mm		

Tableau 5 : mensurations et indices de la ceinture scapulaire de la sépulture 72

ATLAS		INDICES	
Diamètre sagittal	50.4 mm	Indice de largeur (Diam sag/Diam transv.)	
Diamètre transversal	82 mm		
Epaisseur de l'arc antérieur	5.1 mm		
Epaisseur de l'arc postérieur	6.8 mm		
AXIS		INDICES	
Diamètre sagittal	52.7 mm	Indice de largeur (Diam sag/Diam transv.)	
Diamètre transversal	59.7 mm		
Hauteur apophyse odontoïde			
Long. apophyse épineuse	17.9 mm		
LOMBAIRE		INDICES	
L1 Haut. antérieure corps	27.4 mm	Haut. post./haut. ant. (L1)	
L1 Haut. postérieure corps	27.8 mm		
L2 Haut. antérieure corps	28.9 mm	Haut. post./haut. ant. (L2)	
L2 Haut. postérieure corps	28.6 mm		
L3 Haut. antérieure corps	28.2 mm	Haut. post./haut. ant. (L3)	
L3 Haut. postérieure corps	27.2 mm		
L4 Haut. antérieure corps	29.7 mm	Haut. post./haut. ant. (L4)	
L4 Haut. postérieure corps	26.3 mm		
L5 Haut. antérieure corps	27.8 mm	Haut. post./haut. ant. (L5)	
L5 Haut. postérieure corps	23.8 mm	Cunningham (L1 à L5)	
SACRUM		INDICES	
Hauteur antérieure réelle (1)	110 mm	Haut.Larg. (3/2)	
Hauteur antérieure en project. (2)	94.6 mm	Courbure sagittale (2/1)	
Largeur supérieure maximum (3)	115 mm		

Tableau 6 : mensurations et indices du rachis de la sépulture 72

PREMIERE COTE	G	D	INDICES	
Corde interne		52.9 mm	Indice d'élargissement (Larg. mini./larg. maxi.)	
Flèche interne		32.5 mm	Indice retréc. sternal Larg. extrém. stern./larg. maxi.	
Long. de l'extrémité vertébrale		41 mm	Indice extrém. vertéb. (Long. vert./corde externe)	
Corde externe		94.9 mm	Indice flèche interne (Flèche int./corde int.)	
Largeur minimum		23.9 mm		
Largeur maximum		13.9 mm		
Largeur de l'extrémité sternale		20.7 mm		
STERNUM			INDICES	
Longueur du corps		110.6 mm	Indice du corps Largeur max/Long. totale)	
Largeur maximum du corps		47.4 mm	Indice manubrium (Larg. manu./Long. manu.)	-
Largeur minimum du corps		29.8 mm		
Longueur du manubrium		56.2 mm		
Largeur du manubrium		72.8 mm		

Tableau 7 : mensurations et indices du thorax de la sépulture 72

INDICES	
Indice inter-membral G (Long. humérus + Long. radius/Long. fémur + Long. tibia)	
Indice inter-membral Dr (Long. humérus + Long. radius/Long. fémur + Long. tibia)	
Indice huméro-fémoral G (Long. humérus/long. fémur)	
Indice huméro-fémoral Dr (Long. humérus/long. fémur)	
Indice tibio-radial G (Long. radius/Long. tibia)	
Indice tibio-radial Dr (Long. radius/Long. tibia)	
Indice crural G (Long. tibia/Long. fémur)	
Indice crural Dr (Long. tibia/Long. fémur)	
Indice brachial G Long. radius/Long. humérus)	
Indice brachial Dr Long. radius/Long. humérus)	
Indice claviculo-huméral G (Long. clav./Long. humérus)	
Indice claviculo-huméral Dr (Long. clav./Long. humérus)	

Tableau 8 : indices inter-osseux de la sépulture 72

SOND 6 - SEP 106 US 1383

	G	D		
FEMUR			INDICES	
Longueur en position (2)	413 mm	414 mm	Robustesse avec diam. (6+7/2) G	13.58
Larg. de l'extrémité distale (21)	79.2 mm	79.8 mm	Robustesse avec diam. (6+7/2) D	13.77
Diamètre sagittal diaphyse (6)	27 mm	28.7 mm	Robustesse avec périm. (8/2) G	20.1
Diamètre transv. diaphyse (7)	29.1 mm	29.2 mm	Robustesse avec périm. (8/2) D	20.29
Périmètre (8)	83 mm	84 mm	Pilastrique (6/7) G	92.78
Diamètre sagittal ss-troch. (10)	24.9 mm	26 mm	Pilastrique (6/7) D	95.21
Diamètre transv. ss-troch. (9)	34.3 mm	33 mm	Aplatissement sup. (12/13) G	72.59
Diamètre vertical tête (18)	43.4 mm	43.6 mm	Aplatissement sup. (12/13) D	78.79
PATELLA			INDICES	
Hauteur maximum (1)			hauteur/largeur (2/1) G	
Largeur maximum (2)			hauteur/largeur (2/1) D	
			Haut. G (1/ L. fémur+L. tib.)	
			Haut. D (1/ L. fémur+L. tib.)	
TIBIA			INDICES	
Longueur maximum (1)		339 mm	Robustesse (10b/2) G	
Périmètre minimum (10b)		75 mm	Robustesse (10b/2) D	22.12
Largeur de l'extrem. prox.	76 mm	75.2 mm	Aplatissement sup. (9a/8a) G	
Diam. sagit. au trou nour. (8a)		32.8 mm	Aplatissement sup. (9a/8a) D	74.70
Diam. trans. au trou nour. (9a)		24.5 mm		
FIBULA			INDICES	
Longueur maximum (1)		335 mm	Robustesse (4a/1) G	
Périmètre minimum (4a)		31 mm	Robustesse (4a/1) D	9.25
Diamètre maximum (2)		15.2 mm	Diaphysaire (3/2) G	
Diamètre minimum (3)		12.4 mm	Diaphysaire (3/2) D	81.58
TALUS			INDICES	
Longueur (1)			Largeur (2/1) G	
largeur (2)			Largeur (2/1) D	
Hauteur (3)			Hauteur (3/1) G	
Longueur poulie (4)			Hauteur (3/1) D	
CALCANEUM			INDICES	
Longueur maximum (1)			Largeur (3/1) G	
Largeur minimum (3)			Largeur (3/1) D	
Hauteur (4)			Hauteur (4/1) G	
Saillie du sustentaculum tali (6)			Hauteur (4/1) D	
Angle de Böhler				

Tableau 1 : mensurations et indices des membres inférieurs de la sépulture 106

Tableaux de mensurations des immatures

N° Sép	44B	55	71	76	87	89	90	91	94	95	96	97	99	101
Temporal G														
Hauteur de l'écaille				25,3	28,6	30		26	26,9		34,6	22,1		
Longueur de l'écaille		50,3		35	38,3			32,4	35,3		42	34,3		
Largeur de l'écaille								28,5	33,9					
Longueur du pétreux				39	41,3	44,8		37,3	42,6			40,9	40	
Hauteur du pétreux				15,5	17	18,2		15,8	15,1		17	18,1	15,5	
Diamètre anneau tympanal				11,6	12,3			11,8	11,7		12,8	12,2		
Temporal D														
Hauteur de l'écaille				25,2				26,1	27,9		34,6	23,1		
Longueur de l'écaille				35,9				32,2	34,9		43	33,1		
Largeur de l'écaille								36,1	35,2			37,1		
Longueur du pétreux				38,6	42,9			37,6	41,8			40,5	38,7	
Hauteur du pétreux				15,1	17,1	18		15,8	15		15,6	16,2	16,2	
Diamètre anneau tympanal				12,1	12,8			11,8	10,9		12	12,2		
Occipital														
Largeur maxi de la base				12,7			16,2	12	12,1		16,4	15,9		
longueur sagittale de la base				15,7			21,5	15,8	17,5		19,8	11,9		
Longueur maxi de la base				15,7				15,7	18,6		18,7	16,3		
Longueur maxi écaille G				28,4	30			25,5	32,1			27,7	28,9	
Largeur maxi écaille G				15	21			17,2	17,9			16,2	16,1	
Longueur maxi écaille D				28,9	31,8			26,1	30,9			27,1	28,9	
Largeur maxi écaille D				16,3	23,5			16,5	18,3			16,3		
Frontal														
Hauteur frontal G				66				60	64			59,9		
Largeur frontal G				40				35,6				32,7		
Hauteur frontal D				66,8	68,3			60,2	62,7			60,3	59,7	
Largeur frontal D				38,6				36,1				35,3	36,9	
Pariétal														
Hauteur pariétal G				75				76,5				81,2		
Largeur pariétal G				56,4								50,3		
Hauteur pariétal D				73,8				75				81,5		
Largeur pariétal D				51,2								48,1		
Sphénoïde														
Hauteur du corps				11,2				13,3				11	13	
Largeur du corps				11,7				14				11,2	10,9	
Longueur petite aile G				21,8				19	17,7			17,6	16,7	
Hauteur petite aile G				13,2				31,7	12			12,7	12,9	
Longueur grande aile G				34,8	39,5			21,3	39,6			33,3	36,8	
Hauteur grande aile G				22,4	22,8			13	20,9			23,6	23,9	
Longueur petite aile D				22,2				18,3				17,6	17,9	
Hauteur petite aile D				12,8				13				12,9	11,7	
Longueur grande aile D				36			51	31,1	38,9		43,9	31,7	36,2	
Hauteur grande aile D				22,2			31,5	21,2	23,2			22,1	25	
Zygomatique														
Longueur G	33		36,6	24,9			39,2	26,2	27,5		33,5	26,3		
Hauteur en oblique G	27,9		28,1	20,6			30	22,3	18,6		28,2	21,9		
Longueur D	34,4	44,4	37	27,3	29,8			25,6	27,4		31,9	26		
Hauteur en oblique D	29	38,7	30	21,7	25		31,3	22,1	20,9		27,1	21,5		

N° Sép	44B	55	71	76	87	89	90	91	94	95	96	97	99	101	103 (4)
Maxillaire G															
Longueur	36,1			32,5	33,6		41,9	29,9	32,8			32,4	31,6		
Hauteur	35,5		44,8	27,8	30,5		43,2	25,5	24,9			24,3	27,8		
Largeur	30,7		33	28,1	27,5		32,6	25,1				25,3	26	32,1	
Longueur en oblique	39,2		39,7	36,3	35,3		38,8	33,2	33,9			34,7	33,8		
Maxillaire D															
Longueur	36,1			32			40,6	30	33			31,5	32,3	34,7	
Hauteur	37,1		44,9	27,7			43,7	25,9	25			25,1	27,5		
Largeur	30,8		30,2	28,5			32,1	25	25,8			27	26,2	33,6	
Longueur en oblique	36,1		40,4	36			38,8	34,4	34,4			35,9	32,8	43,5	
Mandibule															
Longueur du corps G				36,7	39,5			34,5	38,6			36,8			
hauteur postérieure G	25,1		28,3	18,9	18		29,7	17,4	20,2			19,7			
longueur en oblique G				50,5	53,4			46,3	48,6			47,9	49,6		
Longueur du corps D				35,8	39,2			34,6				33,7			
hauteur postérieure D	26,4		30,7	19,3			30,2	17,2	19,5			19,5		26,7	
longueur en oblique D				50,7	53,3			47,3				49,5			

Tableau 1 : mesures crâniennes pour les immatures

N° Sép	44A 2	44B	55	70	71	76	87	89	90	91	94	95	96	97	99	101	103 (1)	103 (2)
Clavicule G																		
Longueur maximum		62,6			67,4	44,9	48,8		69,3	42,9	44,8			45	46,2	61,8	47,2	
Clavicule D																		
Longueur maximum		62,6			45,4	47,7			70,5	42,1	44,4			44,2		61	46,6	
Scapula G																		
Longueur surf gléno	12,4		21,3	26,1	15,7	10	11,3		15,4	8,9	10	17,9	15,5	9,2		13,2	9,8	9
diamètre milieu surf gléno	9,2		15,5	18,5	11,8	6,5	7,9		11,2	5,8	7,3	13,1	10,2	7,1		10,9	6,7	5,8
Longueur totale masse gléno	16,8		32,5	32,6	21,3	13	14,4		24,6	12,3	12	26,1	20,4	13,5		10	13,1	12,1
Longueur de l'épine			74,2	86,4	51,4	33,2	36,8		53,5	30,2	36,6		45,9	35,6		46	34,7	31,2
Largeur de l'aile	35,8		61,3	72,9	48,2	29,3	31,7		45,6	27,6	30,8		40	29,3		41,2	31,1	28,3
Longueur de l'aile	41,3		91,4	114,2	69,4		36,7		66	32,7	40,7		57,4	34,1		58	36,9	33,3
Hauteur sup de l'aile			25	42,9	24,1		11,1		23,5	13,3	14,6		20	13,9		21,6	15,3	12,7
Hauteur inf de l'aile			73,7	90,6	59	31,3	32,8		52,9	27	34,7		47,5	31		49,7	31,9	28,1
Hauteur acromion			12,4	19	8,5	6,2	7		10,7	6,1	6,3		9,6	6,5		9,7	7	5,2
Scapula D																		
Longueur surf gléno		15,4	20,6	26,2	17,1	10,2	11,1	14,1	16,7	9,4	10,4			10,1				10,2
diamètre milieu surf gléno		11,3	15,5	20,9	11,1	6,5	7,7	8,9	11,8	6	7,4			6,3				6,7
Longueur totale masse gléno		21,8	30,8	38,5	22,7	12,3	14,4		24,3	11,6	11,9			13,2				12,5
Longueur de l'épine		48,5			53,6	32,5	35,5	35	52	27,9	36,9			32,1	33,3			34
Largeur de l'aile		42,3		74,1	48,5	30,3	30,7	30,5	44,6	27,6	30			29,3	29,3			30,7
Longueur de l'aile		57,2		112,9	68,5	36,9	39,4		66	33,5	41,2			35,5	37,9			36,2
Hauteur sup de l'aile		23,4		38,4	21,8	13	14,4		26,1	13,7	15,9			13,5	16,2			16,8
Hauteur inf de l'aile		47,3		90,5	59,2	31,1	35,9		51,4	26,7	33,8			29,8	31,1			30,8
Hauteur acromion		8,5			10	6,2	7,7	8,3	10,6	6,3	6,4			6,4	6,8			6,7

Tableau 2 : mesures des ceintures scapulaires pour les immatures

N° Sép	44A 2	44B	55	70	71	76	87	89	90	91	94	95	96	97	99	101	103 (1)	103 (2)	103 (3)	103 (4)
Humérus G																				
Longueur maximum	82,1	106,4	179,3		122,5	66,8			120,3	61,8	73	135	85,7	67,7	69,7	104	72,2	69,2		
Largeur épip distale		24,5	32,8		25,9	17,8			29,3	16,1	17,1	28	21,5	18,2	17,9	25,5		17,5		
Humérus D																				
Longueur maximum		106,5			124,3	66,8	69,4		121,2	62,7	72,2			68,1		104,6	69,9	69,1	59,9	
Largeur épip distale					27,9	17,7	18,7	21,5	29,7	15,6	17			18,4		25,5	19,4	17,5	15,2	
Radius G																				
Longueur maximum	64,4	78,3	131,6		92,2		54,7		85,8	49				53,8	55			54,7	53,3	
Radius D																				
Longueur maximum		79,6		167,9	94		55		85,1	48,6	59,3			53,7	55,1	78,7		54,5		32,1
Ulna G																				
Longueur maximum		86,1		182	100		60,9		98,6	57,2		105,5	84,7	60,7	62,5			62,3		
Ulna D																				
Longueur maximum		88	145,3	182,8	101,8	62,4	61,9		98	57,4	67,6			61,2	62,5			62,1		

Tableau 3 : mesures des membres supérieurs des immatures

N° Sép	44A 1	44 B	55	70	71	87	89	90	91	94	95	96	97	99	101	102	103 (2)	
Aile iliaque G																		
Longueur maximum			57,3		113,4	69,9	39,3		62,8	33	38,7	67,7		34,7	35,5		68,4	33,5
Hauteur maximum			53,3		96,9	62,5	34,4		56,6	27,6	32,3	65,6		32	30,5		67,8	30,6
Aile iliaque D																		
Longueur maximum	119,8	57,9	95,7	114,5	70,2	39,5	38,8	63,2	33,3	38,8	66,8		34	35,3	60,8	72,1		
Hauteur maximum	106,2	48,6	77,8	92,9	61,5	33,4		55,6	29,1	30,4	63		30,1	27,8	51,6	68,6		
Ischion G																		
Longueur maximum				67	39,8	21,8		37,2	18,5	20,6	41,8		18,3	19,4			18,6	
Largeur maximum				46	25,1	13,8		25,5	12,2	13	26,7		12,1	13			12,7	
Ischion D																		
Longueur maximum		33,1		66,1	40,3	21		38	18,1	20,8	41,3	26,3	18,9	19,3				
Largeur maximum		21,9		45,4	24,1	13,6		25	11,8	12,6	26,7	17,4	12,9	13,4				
Pubis G																		
Longueur maximum				49,4	33,1	17		30,7	16,4	17,2	31		15,9	17,1				
Pubis D																		
Longueur maximum			27,7		50,6	32	17,1		30,7	15,7	16,8	31,5		16				

Tableau 4 : mesures des ceintures pelviennes des immatures

N° Sép	44A 2	44B	55	70	71	87	89	90	91	94	95	96	97	99	101	102	103 (1)	103 (3)
Fémur G																		
Longueur maximum	100,5	133	246,9	317	157,1	83,9	72,7	150,6	70,7	82,2	166,5		75,8	78,1				77,4
Largeur épip distale	27,8	35,9	49,5	60,8	39	23,7		4,9	20,5	21,6	42,3		20,1	21,9				21,8
Fémur D																		
Longueur maximum	101,8	132,9	242,6	323	157,8	84,8	73,4	150,2		82,5	166,6	103,3	76	78,1				78,1
Largeur épip distale	27,7	37,1	50,7	60,1	40,1	24,2		40,4		21,4	44,7	27,6	21,2	21,5				22,7
Tibia G																		
Longueur maximum	82,3	108,8		260	134	69,7	63,4	120	58,9	72	137,3		64,9				158,7	56,1
Tibia D																		
Longueur maximum		108,8		258	135,6	69,6		119,5	58,6	71,4	138,6		65,9	68,2			158,8	68
Fibula G																		
Longueur maximum		106		254	130,8	68,5		118,2	55,3	69,7	135,7		63				156,2	61,2
Fibula D																		
Longueur maximum				252	129,7	68		118	55,8	69,1	137		63				155,7	61,8
MTT 1 G																		
Longueur maximum				41				22,8	12,9	13,3	27		14,9					
MTT 1 D																		
Longueur maximum				40,6	25,1	14,7		23,3	13,1	14,3	27,1		14,8					
Talus G																		
Longueur maximum				45,5	21	11,6		23,6	12,4		23,6							
Talus D																		
Longueur maximum		20,2		44,5	21,8	11,5		12	11,7									
Calca G																		
Longueur maximum				58,1	29,3	14,6		31,2										
Calca D																		
Longueur maximum		26,7								14								

Tableau 5 : mesures des membres inférieurs des immatures